

Progetto - Projet

SPlasH! - Stop alle Plastiche in H2O!



PRODOTTO T2.2.2: Mappe degli scenari climatologici e di rischio

LIVRABLE T2.2.2: Cartes des scénarios climatiques et des risques

Partner responsabile - Partner responsable: Università di Genova

Partner contributori - Partenaires contributeurs: Université de Toulon, European Research Institute

Nome del prodotto	Redatto da:	Verificato da:	Validato da:
T2.2. - Report sullo studio dei possibili impatti delle microplastiche sugli ecosistemi limitrofi alle aree portuali	<u>F. Enrile</u> <u>G. Cremonini</u>	<u>G. Besio</u>	<u>A. Stocchino</u>
Data:	<u>25/05/2020</u>	<u>27/05/2020</u>	04/06/2020

Descrizione del Prodotto: Report illustrativo degli scenari climatologici di forzanti ambientali e delle relative simulazioni dei processi di dispersione delle micro-plastiche in ambito portuale e nelle acque circostanti.

Description du livrable : Rapport illustratif des scénarios climatologiques des forçages environnementaux et des simulations connexes des processus de dispersion des microplastiques dans le port et les eaux environnantes.

Sintesi

La realizzazione di simulazioni numeriche della dinamica della dispersione delle microplastiche nelle acque portuali e nelle aree circostanti i porti considerati nell'area di progetto, richiede l'identificazione di specifiche condizioni meteo-marine (forzanti). In questo documento vengono riportati i grafici relativi agli scenari climatologici ottenuti applicando la metodologia ampiamente descritta nel prodotto T2.2.1 del presente progetto.

Inoltre, vengono mostrati i risultati delle simulazioni (illustrata nel prodotto T2.3.1) numeriche effettuate a partire dalle condizioni meteo-marine suggerite dagli stessi scenari: in particolare, vengono riportati i campi di velocità che si generano conseguentemente alle forzanti imposte nelle aree portuali di Genova e di Olbia.

Synthèse

La réalisation de simulations numériques de la dynamique de la dispersion des microplastiques dans les eaux portuaires et dans les zones entourant les ports considérés dans la zone du projet, nécessite l'identification des conditions météorologiques et maritimes spécifiques (de forçage). Dans ce document sont reportés les graphiques relatifs aux scénarios climatologiques obtenus en appliquant la méthodologie largement décrite dans le produit T2.2.1 de ce projet.

En outre, les résultats des simulations numériques (illustrées dans le produit T2.3.1) réalisées à partir des conditions météo marines suggérées par les mêmes scénarios sont présentés : en particulier, les plages de vitesse générées par les forces de forçage imposées dans les zones portuaires de Gênes et d'Olbia sont rapportées.

Indice - Index

<i>1 Scenari Climatologici -- Scénarios climatologiques</i>	7
Scenario n. 1 – Genova -- Scénario n. 1 – Gênes	7
Scenario n. 4 - Genova -- Scénario n. 4 – Gênes	8
Scenario n. 5 – Genova -- Scénario n. 5 – Gênes	9
Scenario n. 6 – Genova -- Scénario n. 6 – Gênes	10
Scenario n. 9 - Genova -- Scénario n. 9 – Gênes	11
Scenario n. 10 - Genova -- Scénario n. 10 – Gênes	12
Scenario n. 14 - Genova -- Scénario n. 14 – Gênes	13
Scenario n. 16 - Genova -- Scénario n. 16 – Gênes	14
Scenario n. 18 - Genova -- Scénario n. 18 – Gênes	15
Scenario n. 22 - Genova -- Scénario n. 22 – Gênes	16
Scenario n. 1 – Olbia -- Scénario n. 1 – Olbia	17
Scenario n. 2 – Olbia -- Scénario n. 2 – Olbia	18
Scenario n. 3 – Olbia -- Scénario n. 3 – Olbia	19
Scenario n. 6 – Olbia -- Scénario n. 6 – Olbia	20
Scenario n. 7 – Olbia -- Scénario n. 7 – Olbia	21
Scenario n. 9 – Olbia -- Scénario n. 9 – Olbia	22
Scenario n. 10 – Olbia -- Scénario n. 10 – Olbia	23
Scenario n. 11 – Olbia -- Scénario n. 11 – Olbia	24
Scenario n. 14 – Olbia -- Scénario n. 14 – Olbia	25
Scenario n. 16 – Olbia -- Scénario n. 16 – Olbia	26
<i>2 Mappe della circolazione -- Cartes de circulation</i>	27
Scenario n. 1 – Genova -- Scénario n. 1 – Gênes	27
Scenario n. 4 – Genova -- Scénario n. 4 – Gênes	31
Scenario n. 5 - Genova -- Scénario n. 5 – Gênes	35
Scenario n. 6 – Genova -- Scénario n. 6 – Gênes	39
Scenario n. 9 – Genova -- Scénario n. 9 – Gênes	43
Scenario n. 10 - Genova -- Scénario n. 10 – Gênes	47

Scenario n. 14 - Genova -- Scénario n. 14 – Gênes.....	51
Scenario n. 16 - Genova -- Scénario n. 16 – Gênes.....	55
Scenario n. 18 - Genova -- Scénario n. 18 – Gênes.....	59
Scenario n. 22 - Genova -- Scénario n. 22 – Gênes.....	63
Scenario n. 1 - Olbia -- Scénario n. 1 – Olbia.....	67
Scenario n. 2 - Olbia -- Scénario n. 2 – Olbia.....	71
Scenario n. 3 – Olbia -- Scénario n. 3 – Olbia	75
Scenario n. 6 – Olbia -- Scénario n. 6 – Olbia	79
Scenario n. 7 - Olbia -- Scénario n. 7 – Olbia.....	83
Scenario n. 9 - Olbia -- Scénario n. 9 – Olbia.....	87
Scenario n. 10 – Olbia -- Scénario n. 10 – Olbia.....	91
Scenario n. 11 – Olbia -- Scénario n. 11 – Olbia	95
Scenario n. 14 – Olbia -- Scénario n. 14 – Olbia.....	99
Scenario n. 16 – Olbia -- Scénario n. 16 – Olbia.....	103

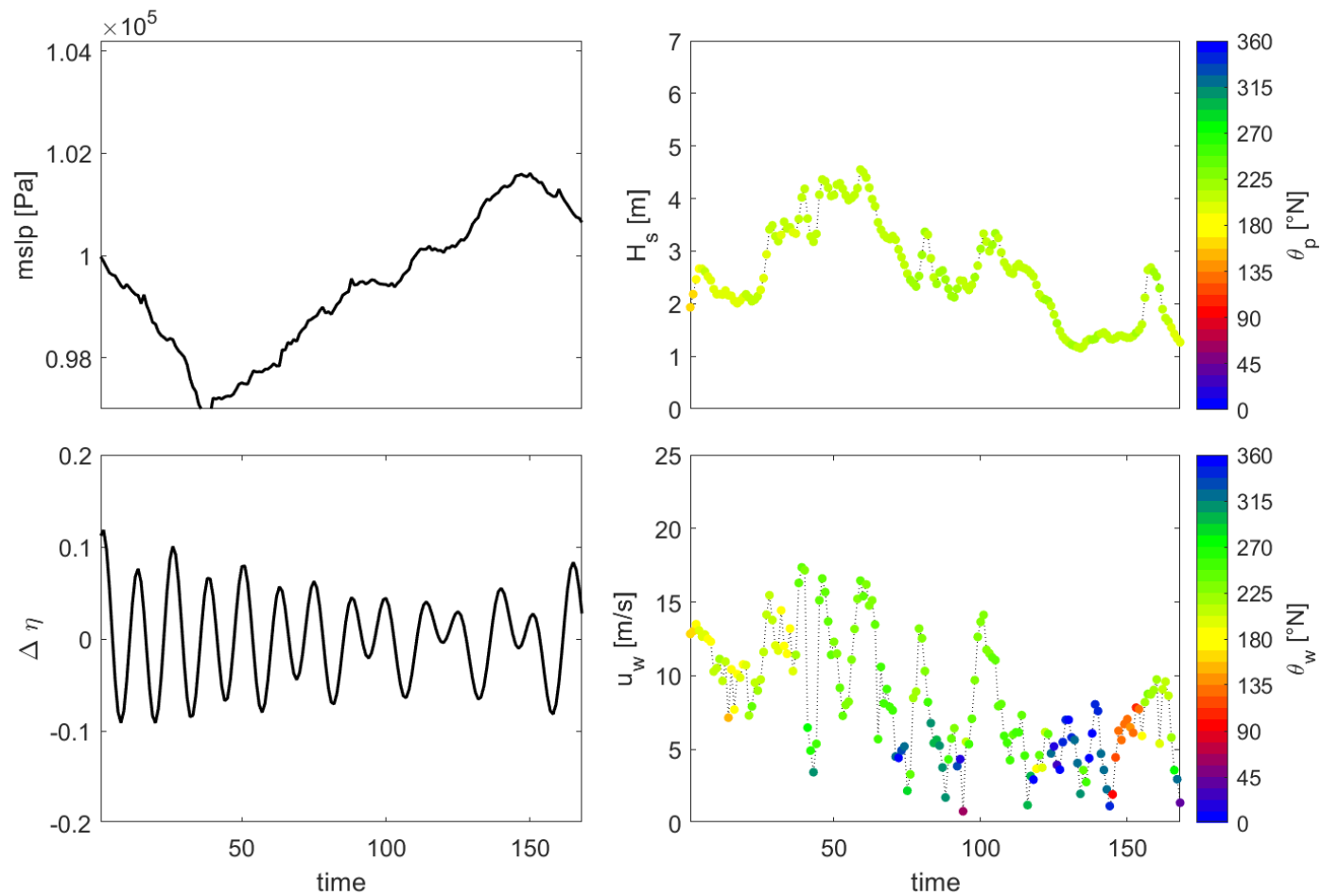
Figura 1: Scenari climatologici selezionati per il porto di Genova, ottenuti tramite l'algoritmo MDA. – Figure 1: Scénarios climatologiques sélectionnés pour le port de Gênes, obtenus grâce à l'algorithme MDA.....	16
Figura 2: Scenari climatologici selezionati per il porto di Olbia, ottenuti tramite l'algoritmo MDA – Figure 2: Scénarios climatologiques sélectionnés pour le port d'Olbia, obtenus grâce à l'algorithme MDA.....	26
Figura 3: Rappresentazione del campo di velocità in corrispondenza di 4 istanti (6 - 12 - 18 - 24 - h) successive allo sversamento del tracciante [Scenario n. 1]. -- Figure 3: Représentation de la plage de vitesse à 4 instants (6 - 12 - 18 - 24 - h) après le déversement du traceur [Scénario n. 1].	30
Figura 4 - Rappresentazione del campo di velocità in corrispondenza di 4 istanti (6 - 12 - 18 - 24 - h) successive allo sversamento del tracciante [Scenario n. 4]. – Figure 4: Représentation de la plage de vitesse à 4 instants (6 - 12 - 18 - 24 - h) après le déversement du traceur [Scénario n° 4].	34
Figura 5: Rappresentazione del campo di velocità in corrispondenza di 4 istanti (6 - 12 - 18 - 24 - h) successive allo sversamento del tracciante [Scenario n. 5]. – Figure 5: Représentation de la plage de vitesse à 4 instants (6 - 12 - 18 - 24 - h) après le déversement du traceur [Scénario n° 5].....	38
Figura 6: Rappresentazione del campo di velocità in corrispondenza di 4 istanti (6 - 12 - 18 - 24 - h) successive allo sversamento del tracciante [Scenario n. 6]. – Figure 6: Représentation de la plage de vitesse à 4 instants (6 - 12 - 18 - 24 - h) après le déversement du traceur [Scénario n° 6].....	42

Figura 7: - Rappresentazione del campo di velocità in corrispondenza di 4 istanti (6 - 12 - 18 - 24 - h) successive allo sversamento del tracciante [Scenario n. 9]. – Figure 7: Représentation de la plage de vitesse à 4 instants (6 - 12 - 18 - 24 - h) après le déversement du traceur [Scénario n° 9].	46
Figura 8: Rappresentazione del campo di velocità in corrispondenza di 4 istanti (6 - 12 - 18 - 24 - h) successive allo sversamento del tracciante [Scenario n. 10]. – Figure 8: Représentation de la plage de vitesse à 4 instants (6 - 12 - 18 - 24 - h) après le déversement du traceur [Scénario n° 10].	50
Figura 9: - Rappresentazione del campo di velocità in corrispondenza di 4 istanti (6 - 12 - 18 - 24 - h) successive allo sversamento del tracciante [Scenario n. 14]. - Figure 9 : Représentation de la plage de vitesse à 4 instants (6 - 12 - 18 - 24 - h) après le déversement du traceur [Scénario n° 14].	54
Figura 10: Rappresentazione del campo di velocità in corrispondenza di 4 istanti (6 - 12 - 18 - 24 - h) successive allo sversamento del tracciante [Scenario n. 16]. – Figure 10: Représentation de la plage de vitesse à 4 instants (6 - 12 - 18 - 24 - h) après le déversement du traceur [Scénario n° 16].	58
Figura 11: Rappresentazione del campo di velocità in corrispondenza di 4 istanti (6 - 12 - 18 - 24 - h) successive allo sversamento del tracciante [Scenario n. 18]. - Figure 11 : Représentation de la plage de vitesse à 4 instants (6 - 12 - 18 - 24 - h) après le déversement du traceur [Scénario n° 18].	62
Figura 12: Rappresentazione del campo di velocità in corrispondenza di 4 istanti (6 - 12 - 18 - 24 - h) successive allo sversamento del tracciante [Scenario n. 22]. – Figure 12 : Représentation de la plage de vitesse à 4 instants (6 - 12 - 18 - 24 - h) après le déversement du traceur [Scénario n° 4].	66
Figura 13: Rappresentazione del campo di velocità in corrispondenza di 4 istanti (6 - 12 - 18 - 24 - h) successive allo sversamento del tracciante [Scenario n. 1]. - Figure 13 : Représentation de la plage de vitesse à 4 instants (6 - 12 - 18 - 24 - h) après le déversement du traceur [Scénario n° 1].	70
Figura 14: Rappresentazione del campo di velocità in corrispondenza di 4 istanti (6 - 12 - 18 - 24 - h) successive allo sversamento del tracciante [Scenario n. 2]. – Figure 14: Représentation de la plage de vitesse à 4 instants (6 - 12 - 18 - 24 - h) après le déversement du traceur [Scénario n° 2].	74
Figura 15: - Rappresentazione del campo di velocità in corrispondenza di 4 istanti (6 - 12 - 18 - 24 - h) successive allo sversamento del tracciante [Scenario n. 3]. – Figure 15 : Représentation de la plage de vitesse à 4 instants (6 - 12 - 18 - 24 - h) après le déversement du traceur [Scénario n° 3].	78
Figura 16: Rappresentazione del campo di velocità in corrispondenza di 4 istanti (6 - 12 - 18 - 24 - h) successive allo sversamento del tracciante [Scenario n. 6]. – Figure 16: Représentation de la plage de vitesse à 4 instants (6 - 12 - 18 - 24 - h) après le déversement du traceur [Scénario n° 6].	82
Figura 17: Rappresentazione del campo di velocità in corrispondenza di 4 istanti (6 - 12 - 18 - 24 - h) successive allo sversamento del tracciante [Scenario n. 7]. – Figure 17: Représentation de la plage de vitesse à 4 instants (6 - 12 - 18 - 24 - h) après le déversement du traceur [Scénario n° 7].	86
Figura 18: Rappresentazione del campo di velocità in corrispondenza di 4 istanti (6 - 12 - 18 - 24 - h) successive allo sversamento del tracciante [Scenario n. 9]. – Figure 18: Représentation de la plage de vitesse à 4 instants (6 - 12 - 18 - 24 - h) après le déversement du traceur [Scénario n° 9].	90
Figura 19: Rappresentazione del campo di velocità in corrispondenza di 4 istanti (6 - 12 - 18 - 24 - h) successive allo sversamento del tracciante [Scenario n. 10]. – Figure 19: Représentation de la plage de vitesse à 4 instants (6 - 12 - 18 - 24 - h) après le déversement du traceur [Scénario n° 10].	94

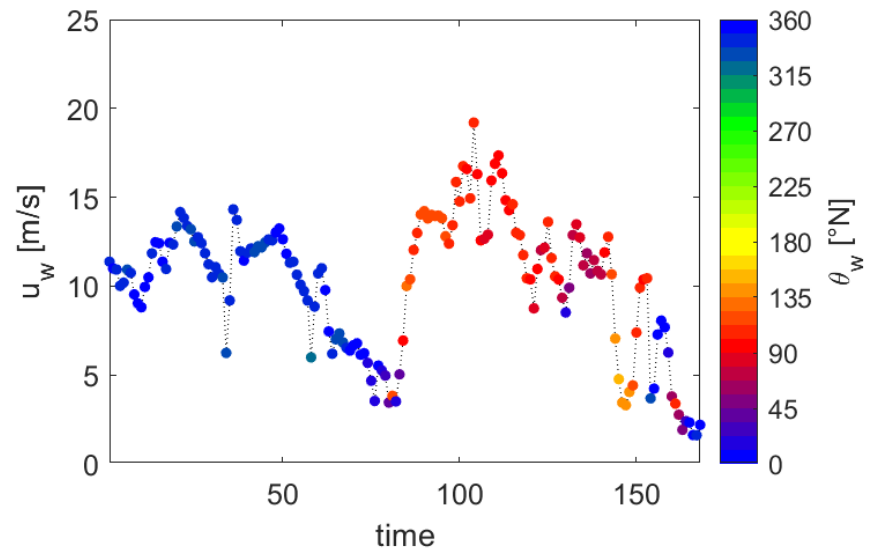
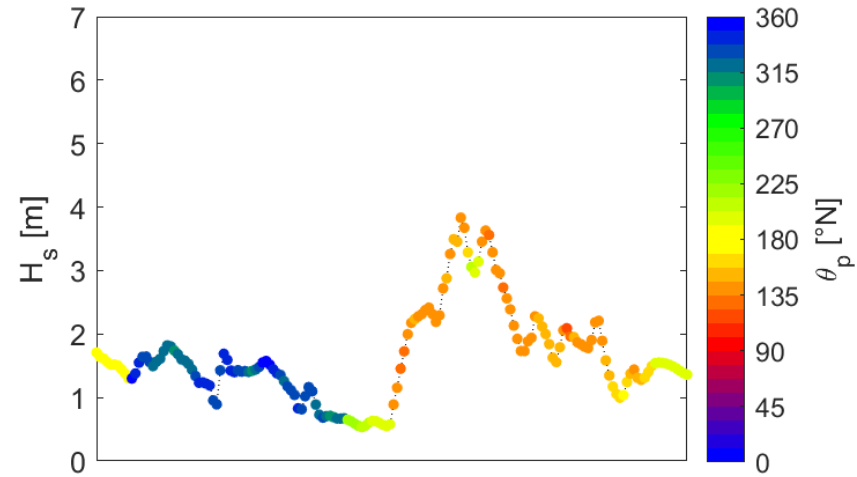
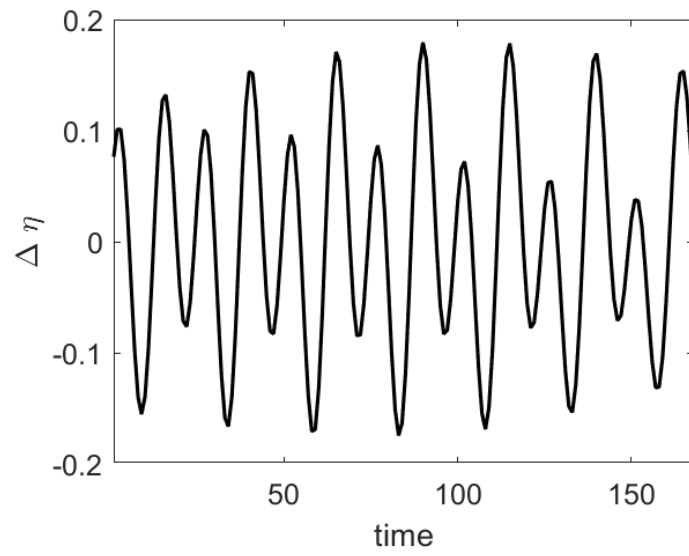
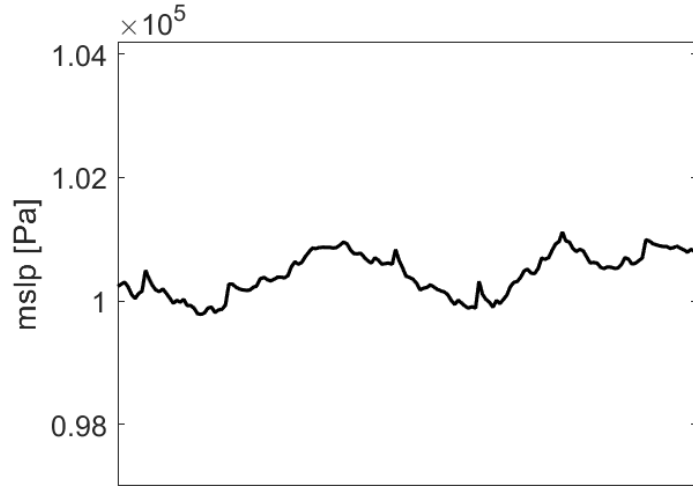
Figura 20: Rappresentazione del campo di velocità in corrispondenza di 4 istanti (6 - 12 - 18 - 24 - h) successive allo sversamento del tracciante [Scenario n. 11] – Figure 20: Représentation de la plage de vitesse à 4 instants (6 - 12 - 18 - 24 - h) après le déversement du traceur [Scénario n° 11].	98
Figura 21: Rappresentazione del campo di velocità in corrispondenza di 4 istanti (6 - 12 - 18 - 24 - h) successive allo sversamento del tracciante [Scenario n. 14] – Figure 21: Représentation de la plage de vitesse à 4 instants (6 - 12 - 18 - 24 - h) après le déversement du traceur [Scénario n° 14].	102
Figura 22: Rappresentazione del campo di velocità in corrispondenza di 4 istanti (6 - 12 - 18 - 24 - h) successive allo sversamento del tracciante [Scenario n. 16] – Figure 22: Représentation de la plage de vitesse à 4 instants (6 - 12 - 18 - 24 - h) après le déversement du traceur [Scénario n° 16].	104

1 Scenari Climatologici -- Scénarios climatologiques

Scenario n. 1 – Genova -- Scénario n. 1 – Gênes

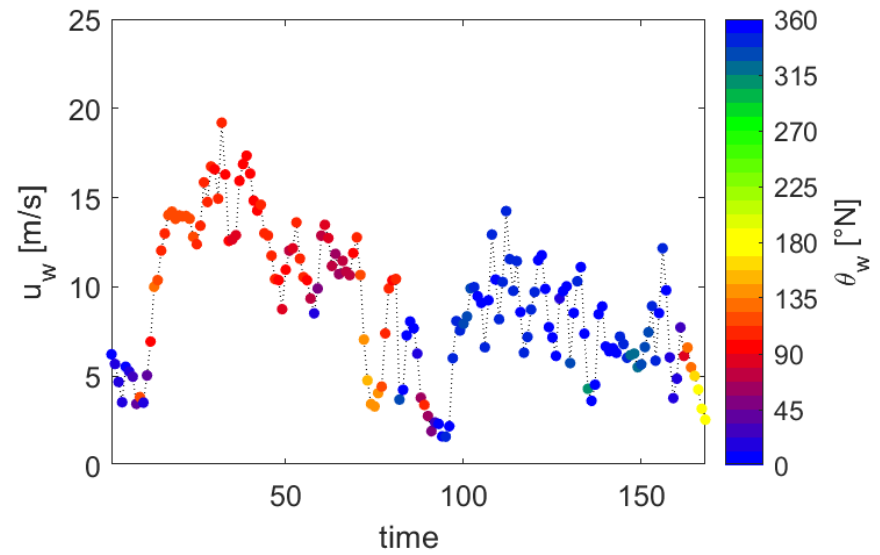
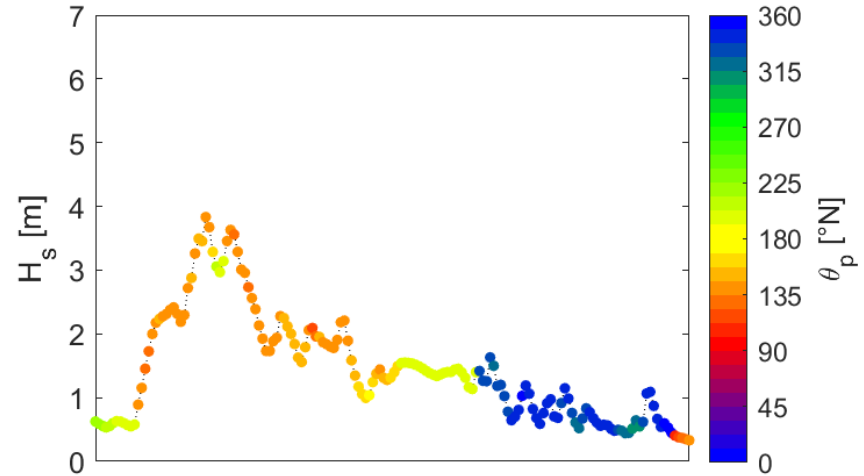
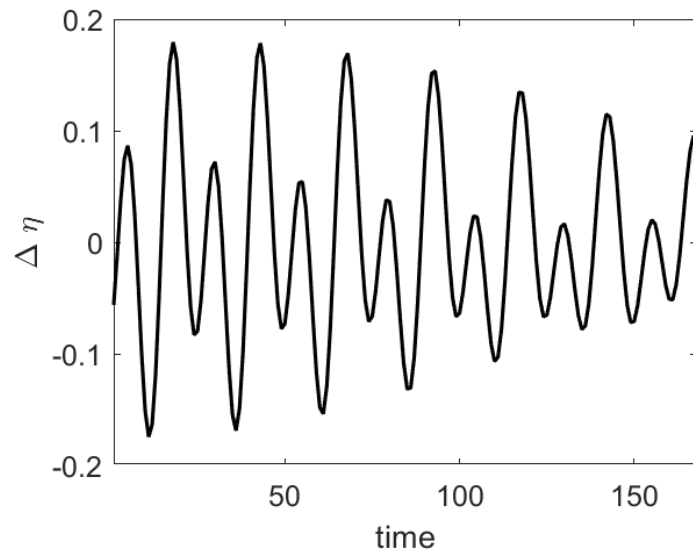
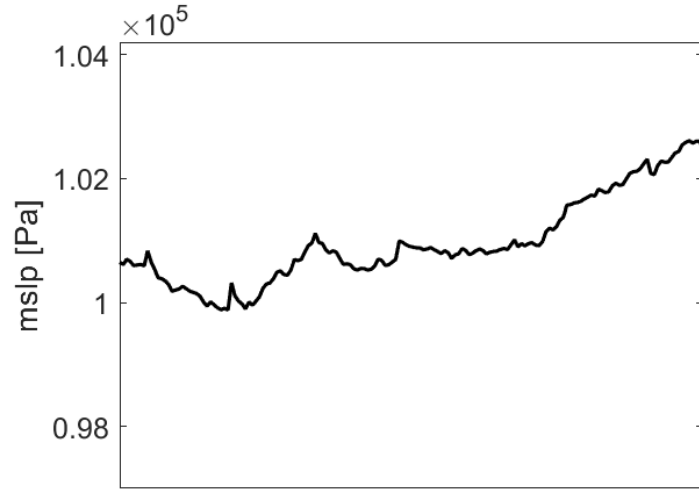


Scenario n. 4 - Genova -- Scénario n. 4 - Gênes



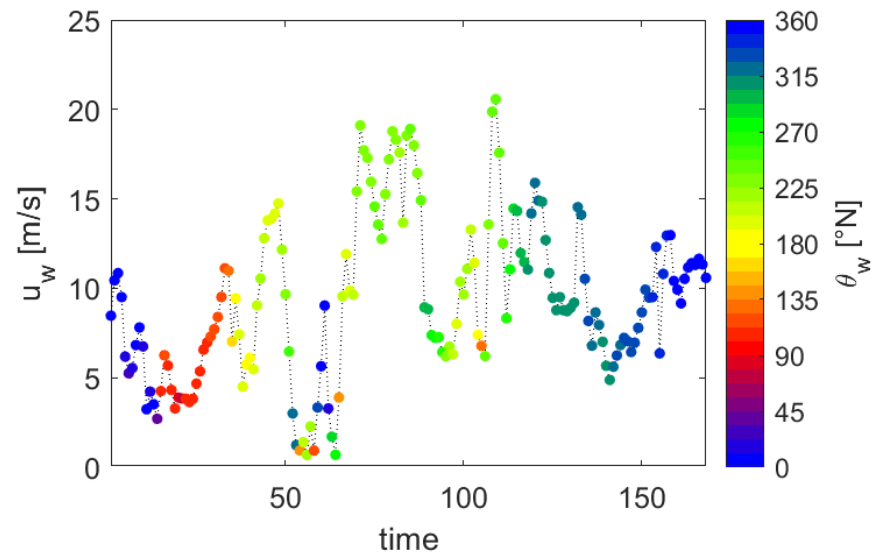
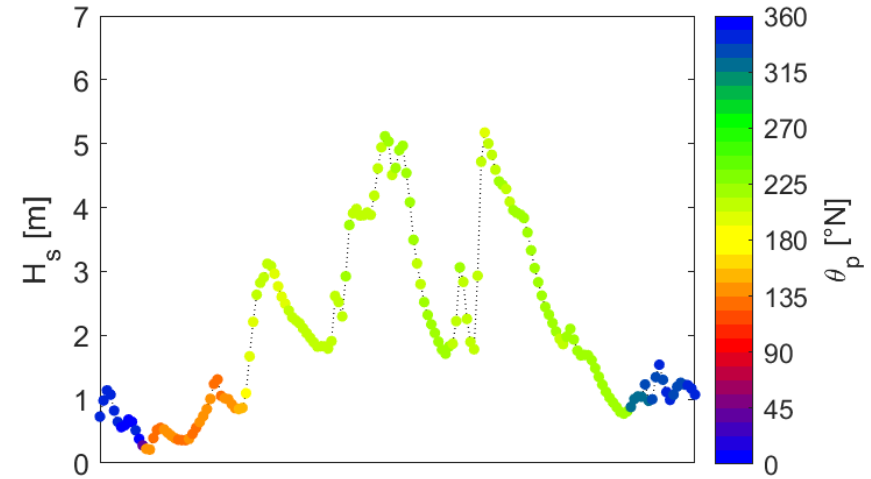
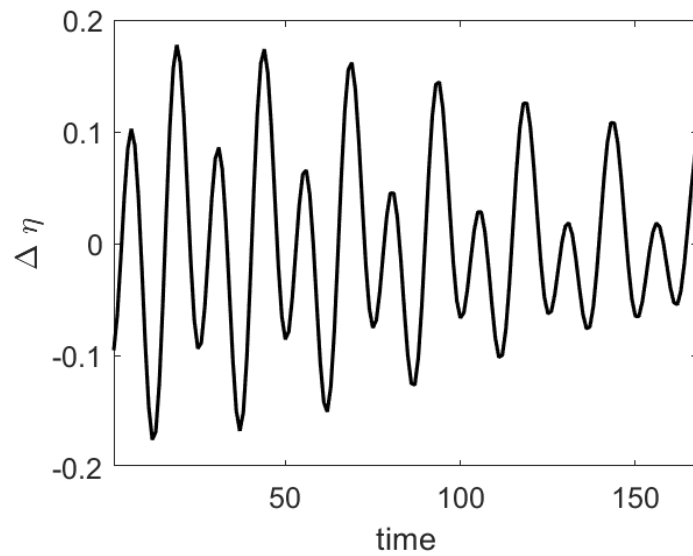
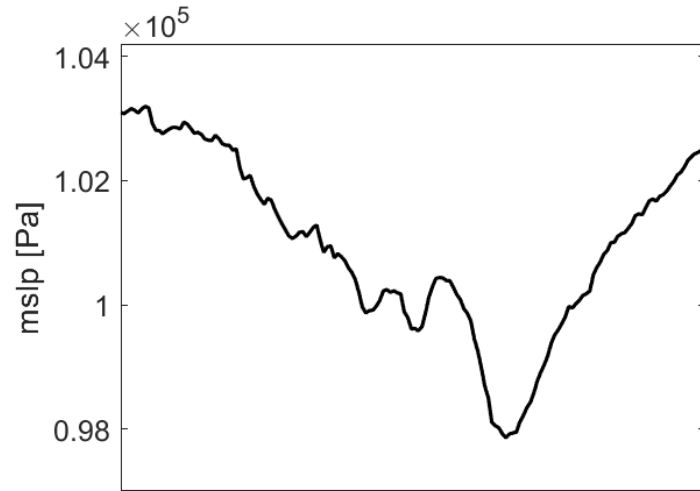
Scenario n. 5 – Genova -- Scénario n. 5 – Gênes

Prodotto n. T2.2.2



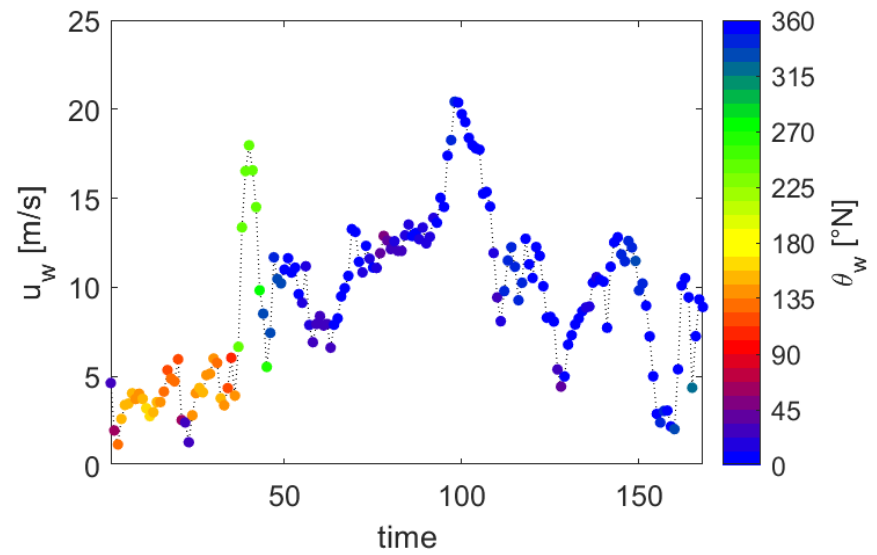
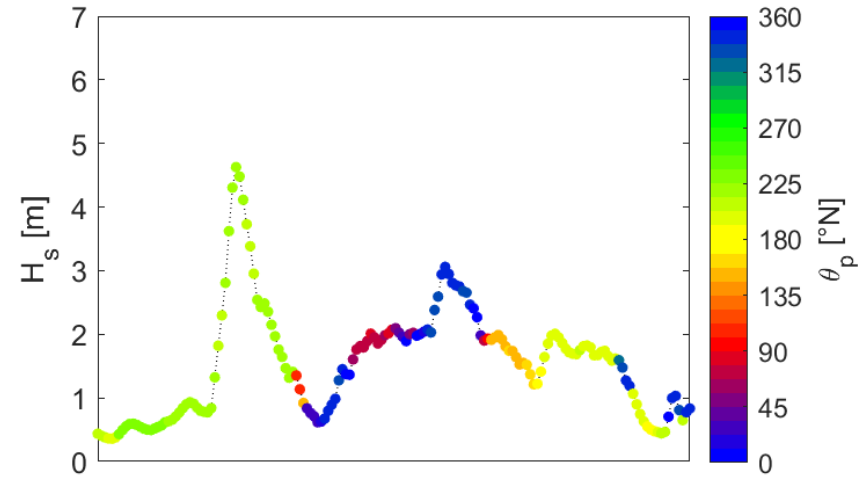
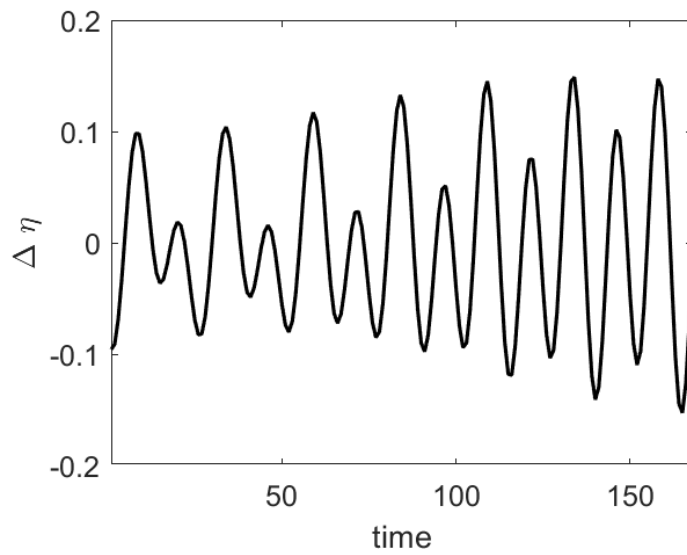
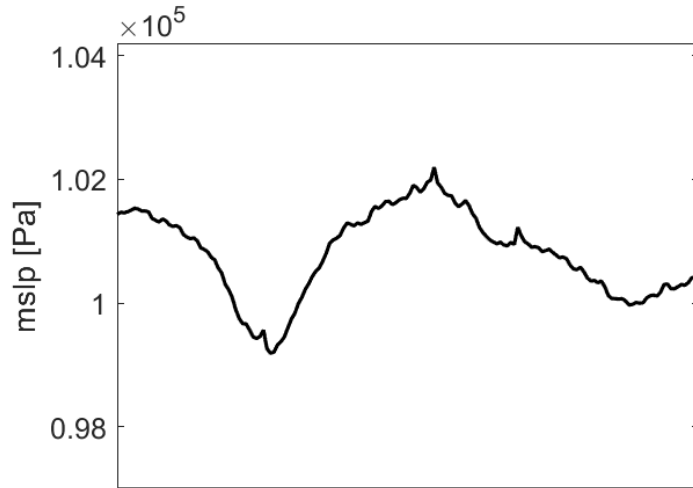
Scenario n. 6 – Genova -- Scénario n. 6 – Gênes

Prodotto n. T2.2.2



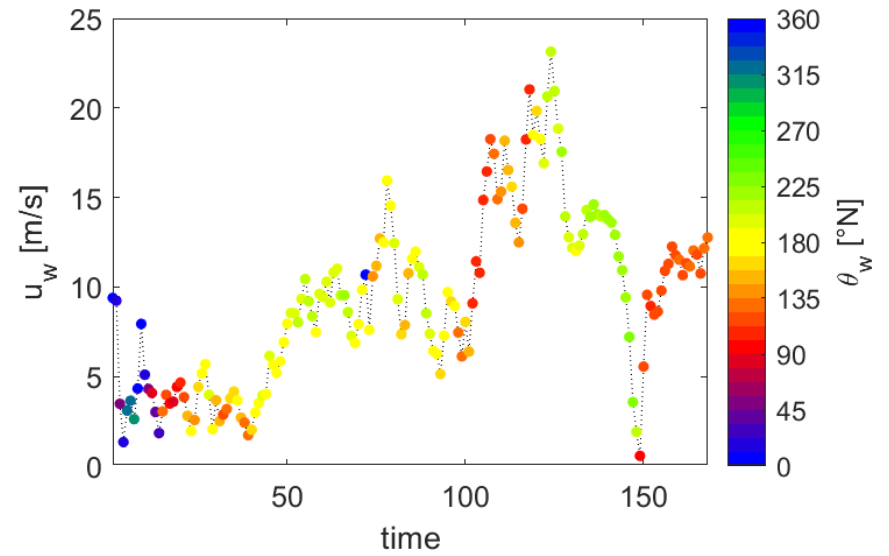
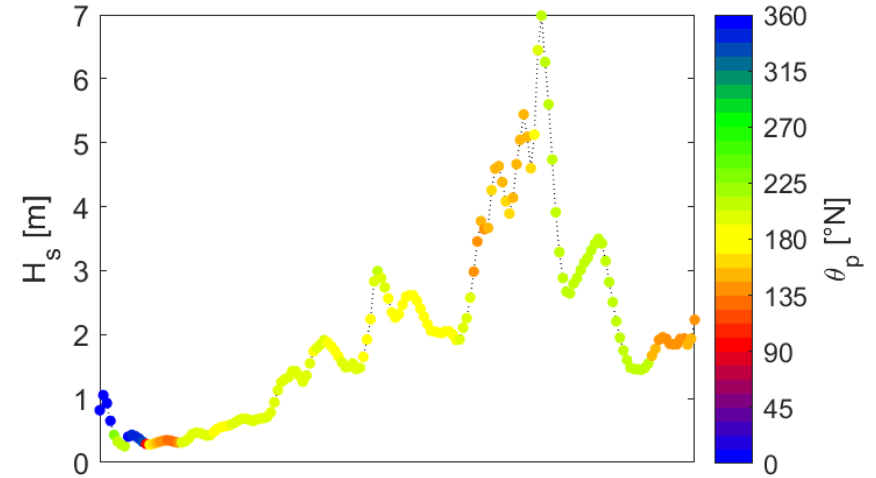
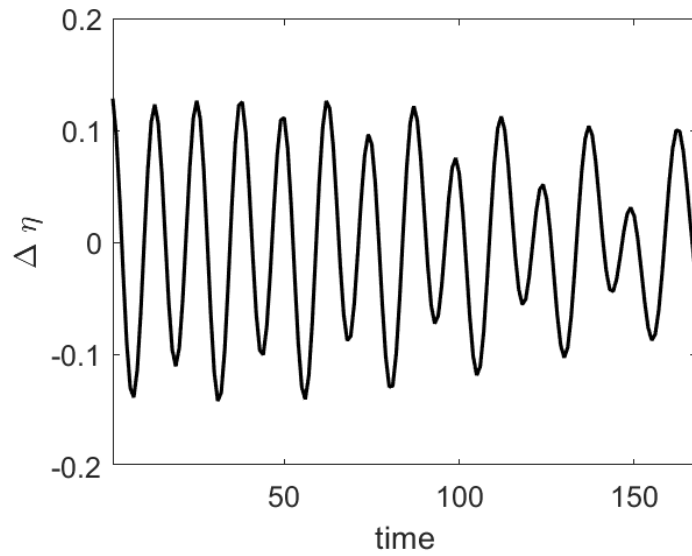
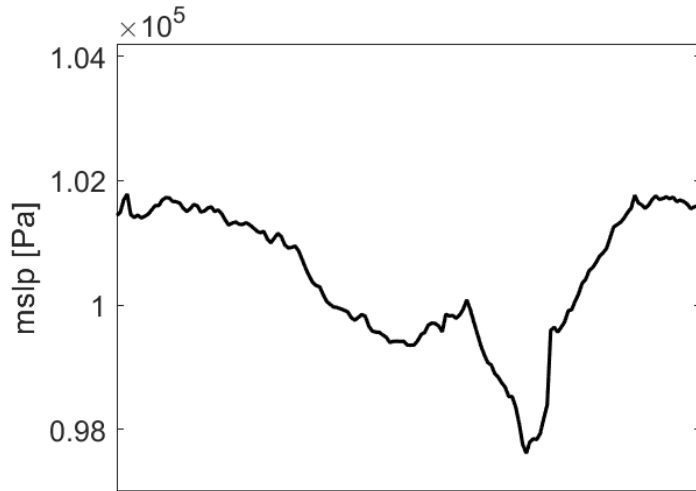
Scenario n. 9 - Genova -- Scénario n. 9 – Gênes

Prodotto n. T2.2.2

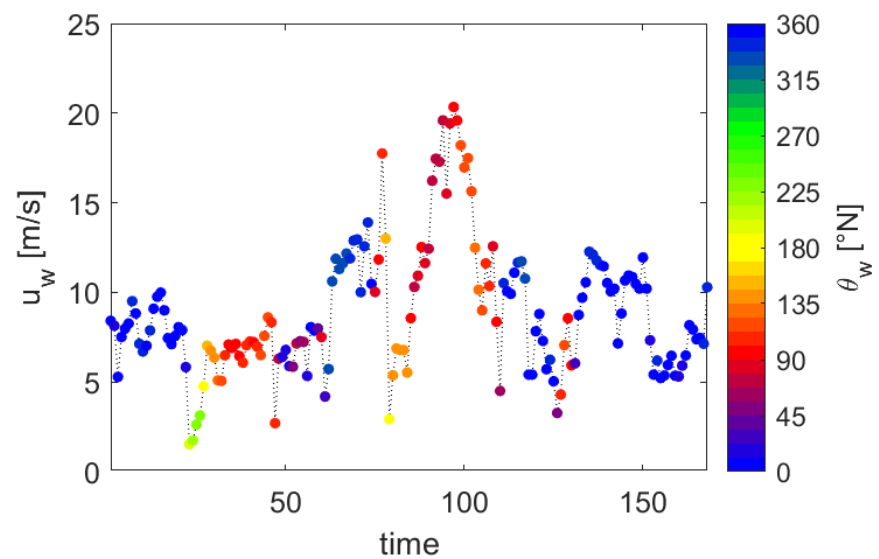
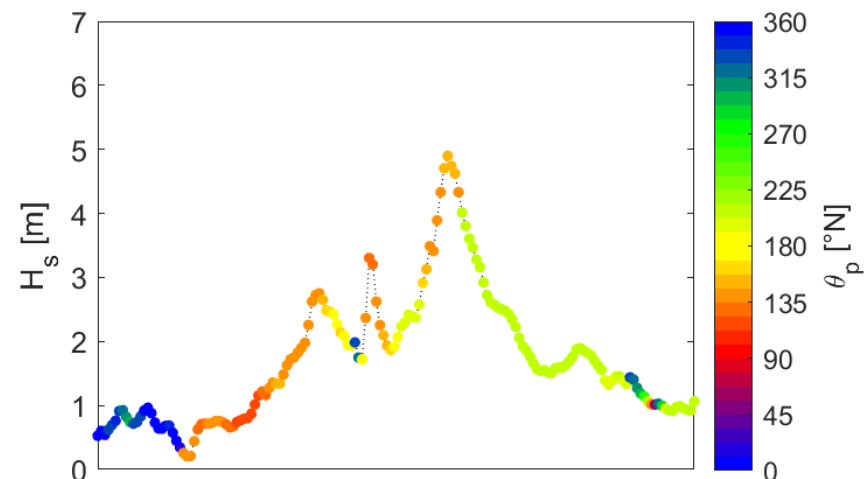
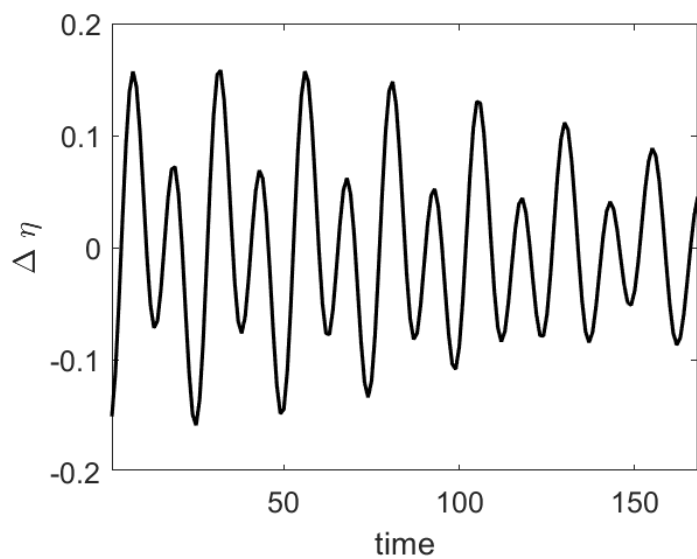
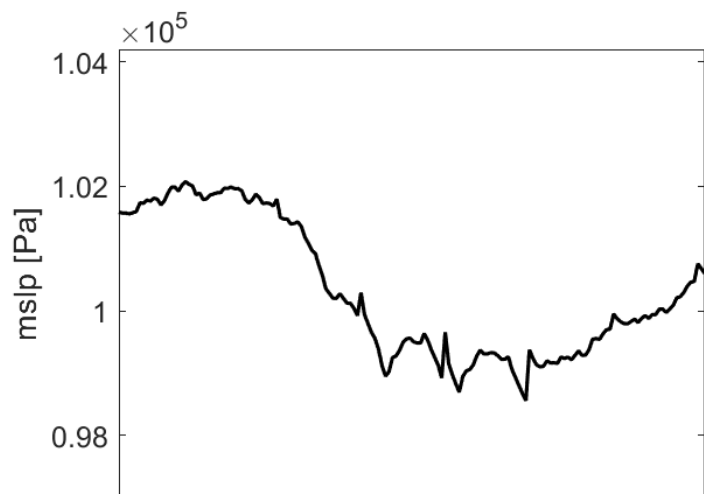


Scenario n. 10 - Genova -- Scénario n. 10 – Gênes

Prodotto n. T2.2.2

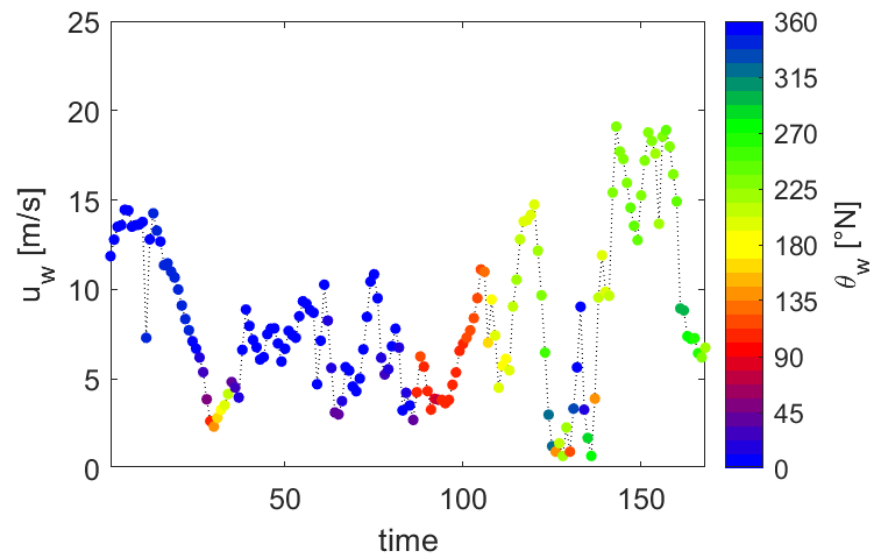
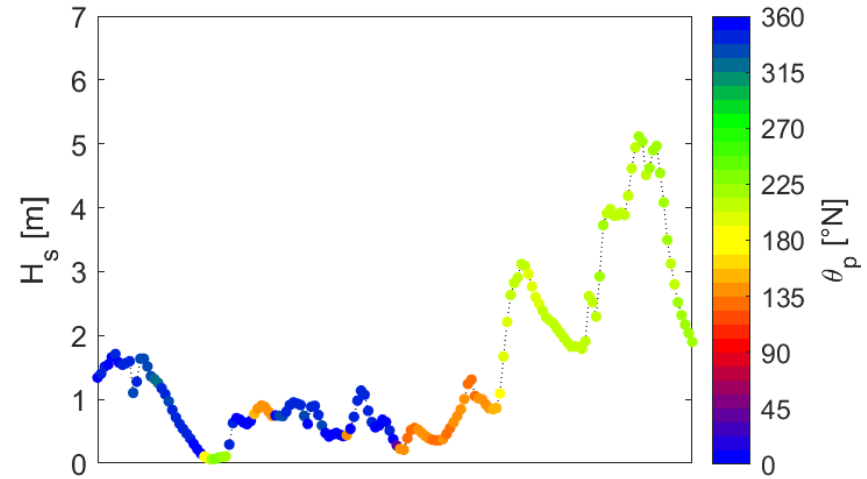
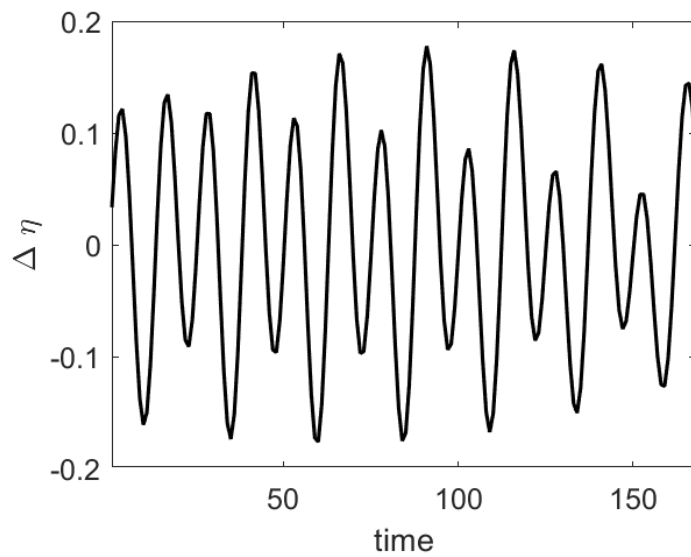
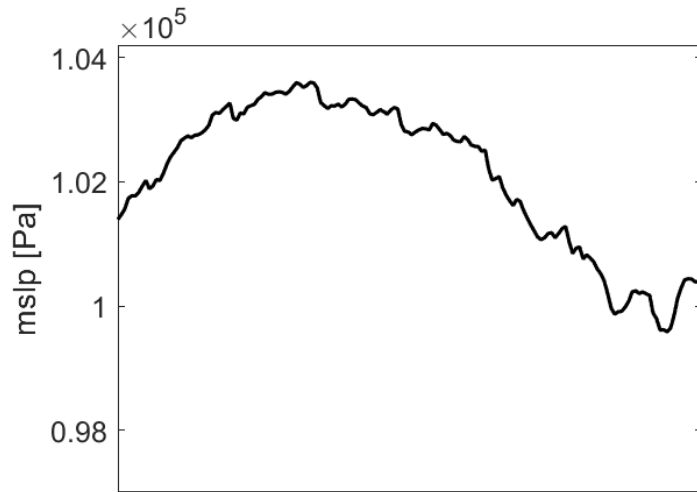


Scenario n. 14 - Genova -- Scénario n. 14 – Gênes



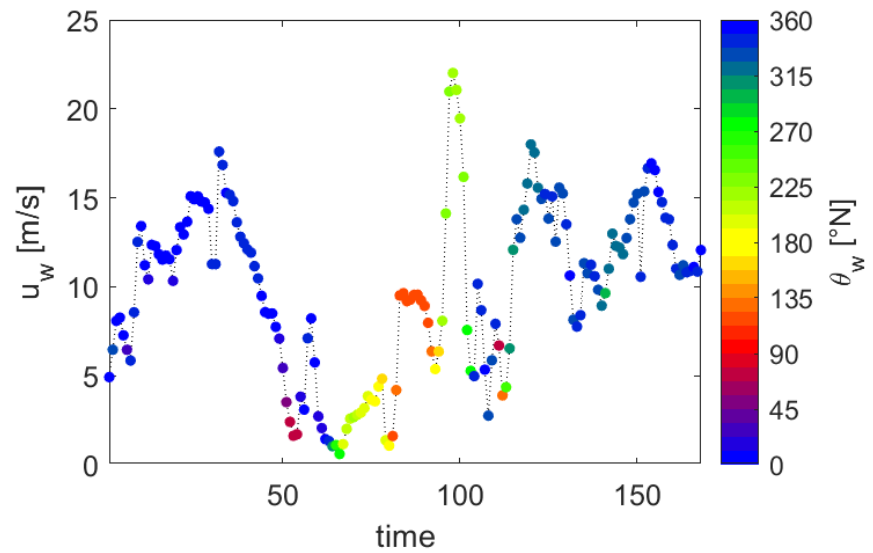
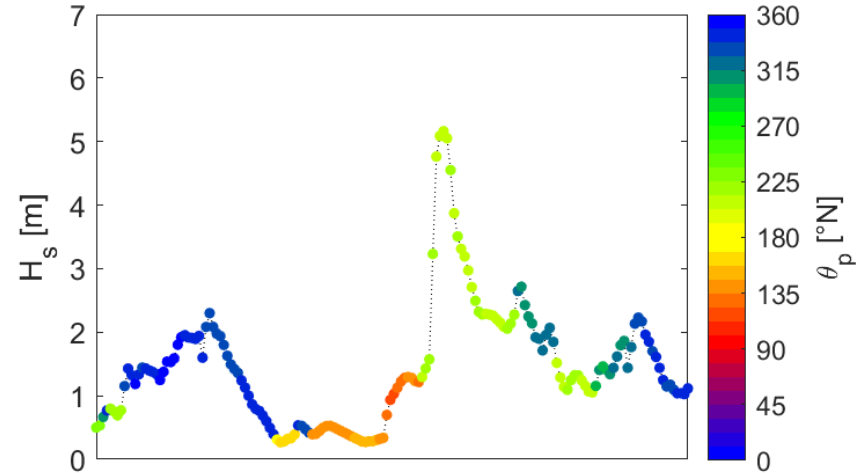
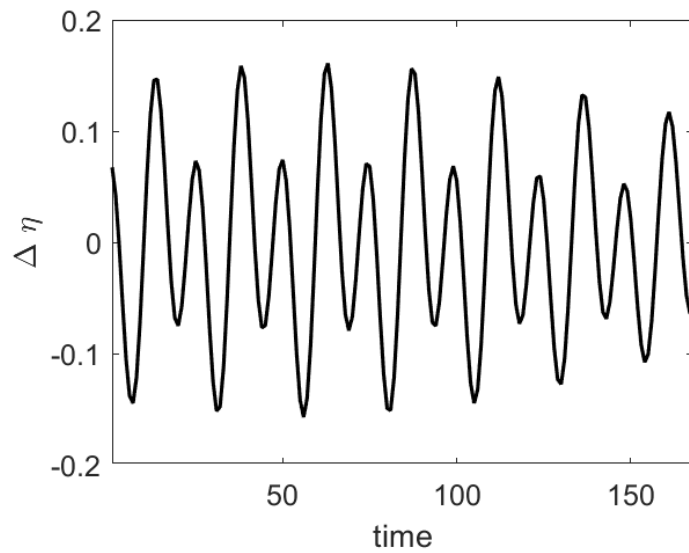
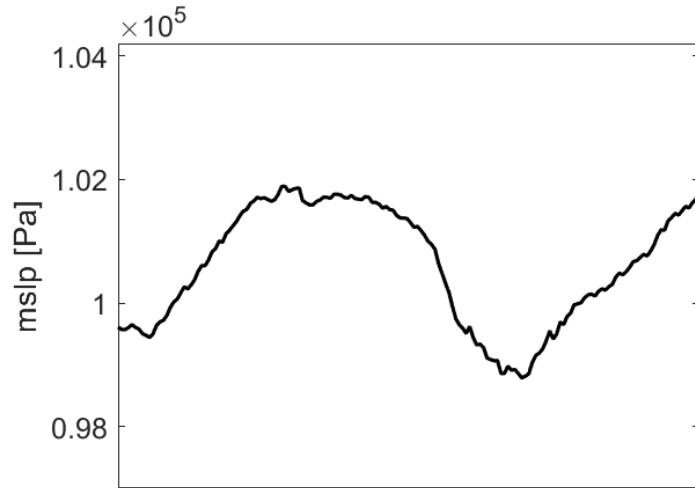
Scenario n. 16 - Genova -- Scénario n. 16 – Gênes

Prodotto n. T2.2.2



Scenario n. 18 - Genova -- Scénario n. 18 – Gênes

Prodotto n. T2.2.2



Scenario n. 22 - Genova -- Scénario n. 22 – Gênes

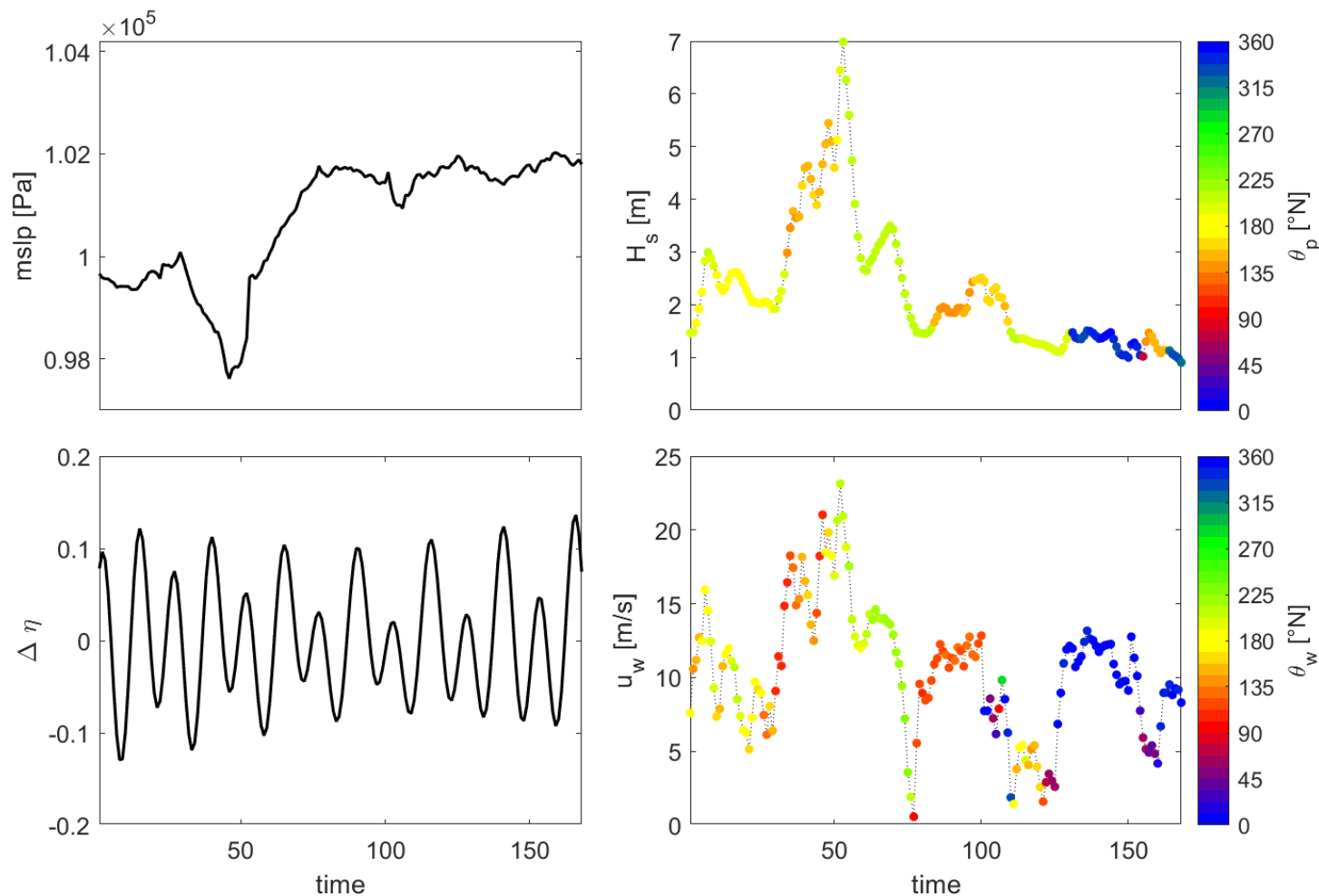
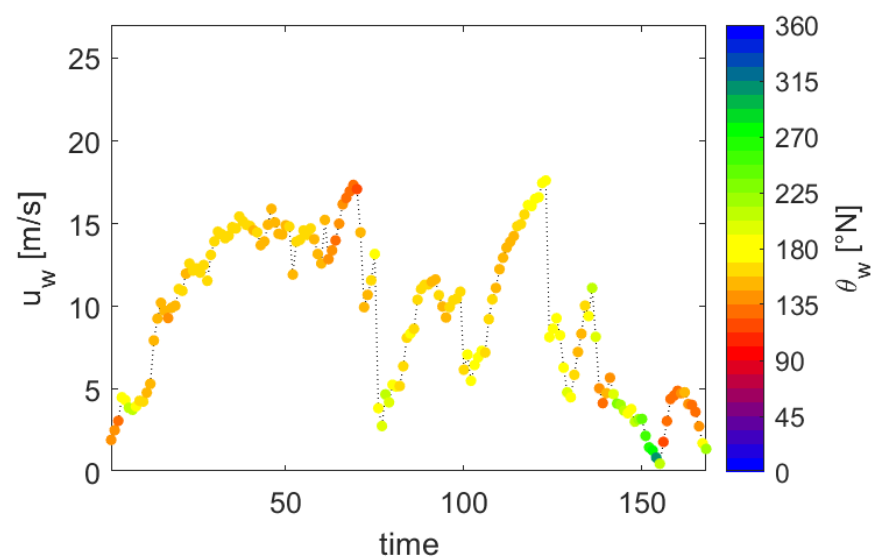
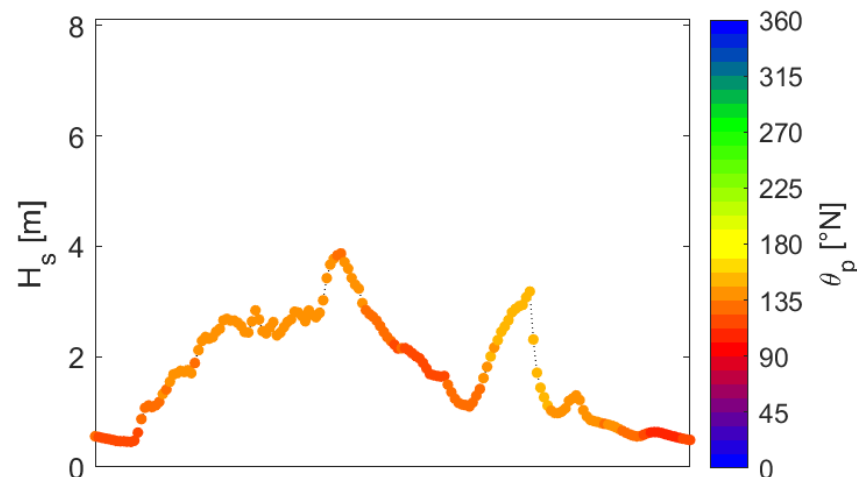
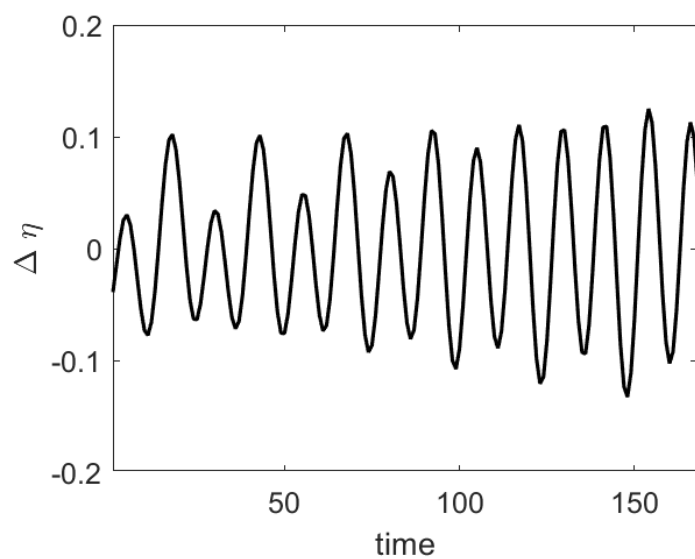
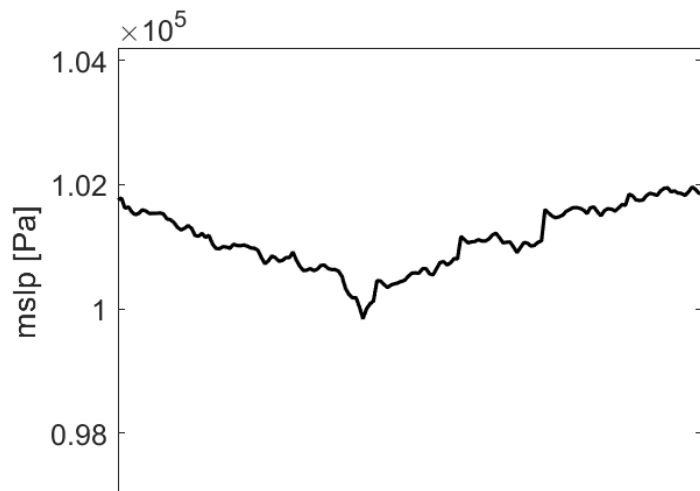
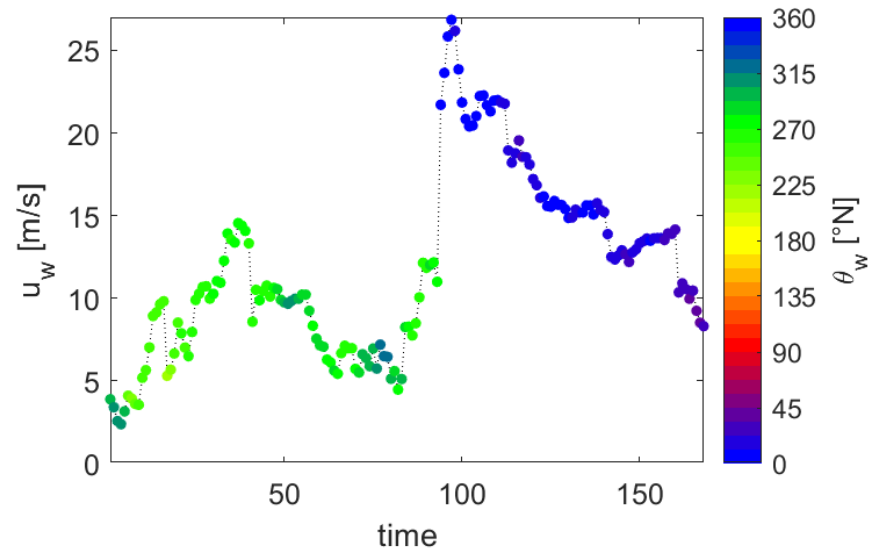
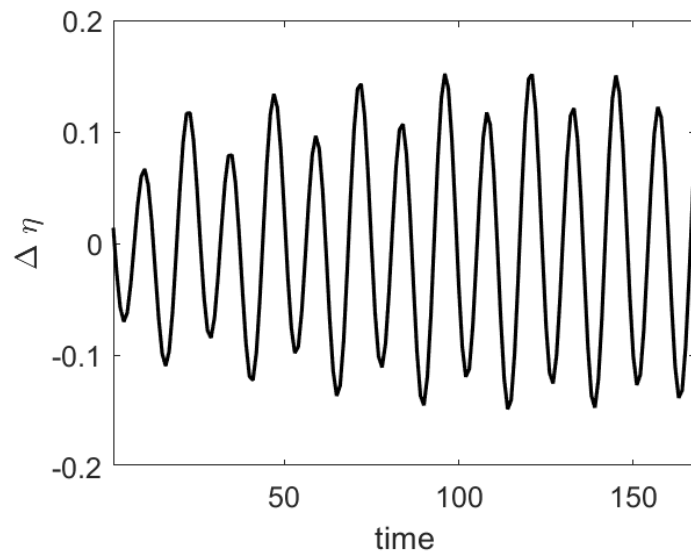
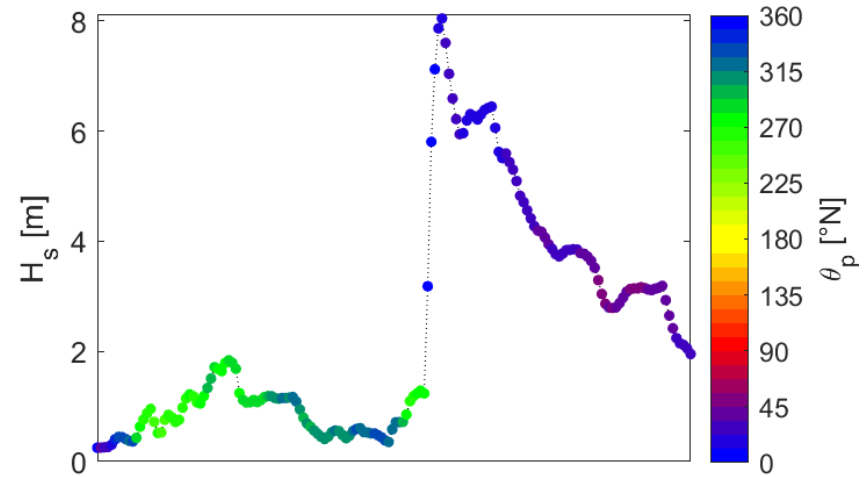
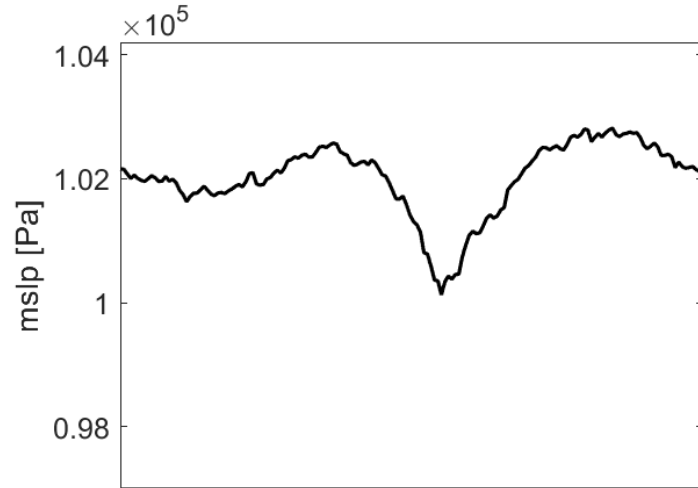


Figura 1: Scenari climatologici selezionati per il porto di Genova, ottenuti tramite l'algoritmo MDA. –
 Figure 1: Scénarios climatologiques sélectionnés pour le port de Gênes, obtenus grâce à l'algorithme MDA.

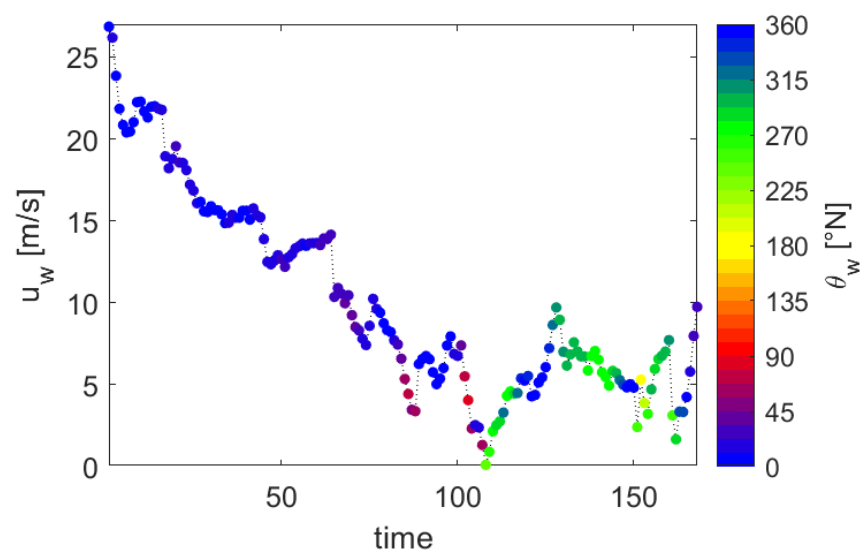
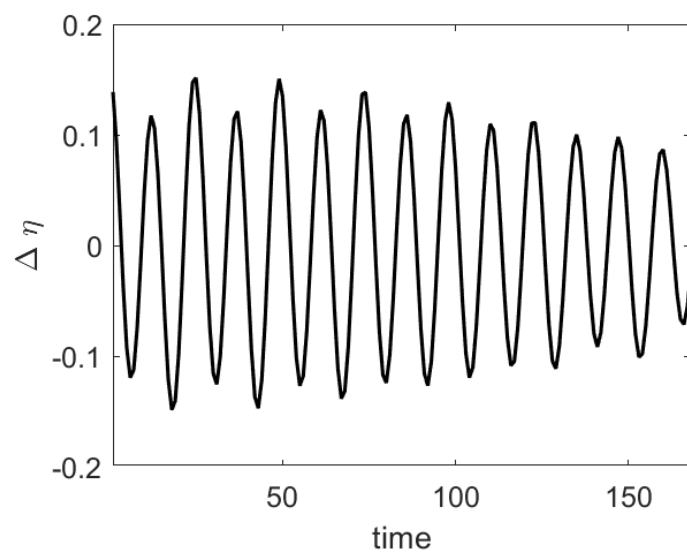
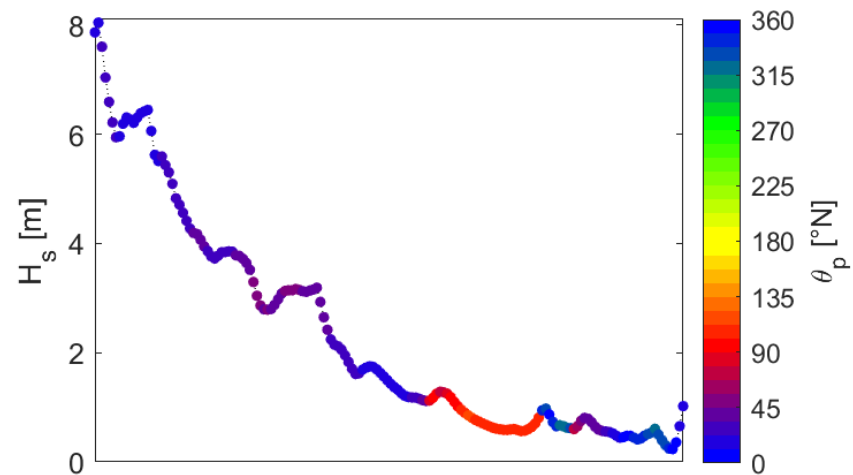
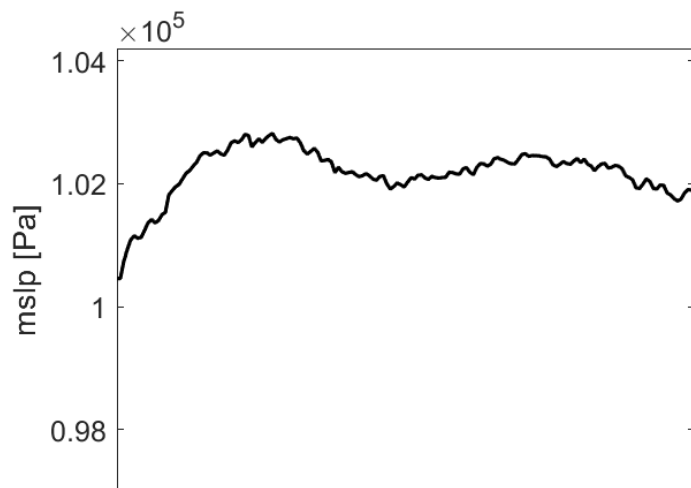
Scenario n. 1 – Olbia -- Scénario n. 1 – Olbia



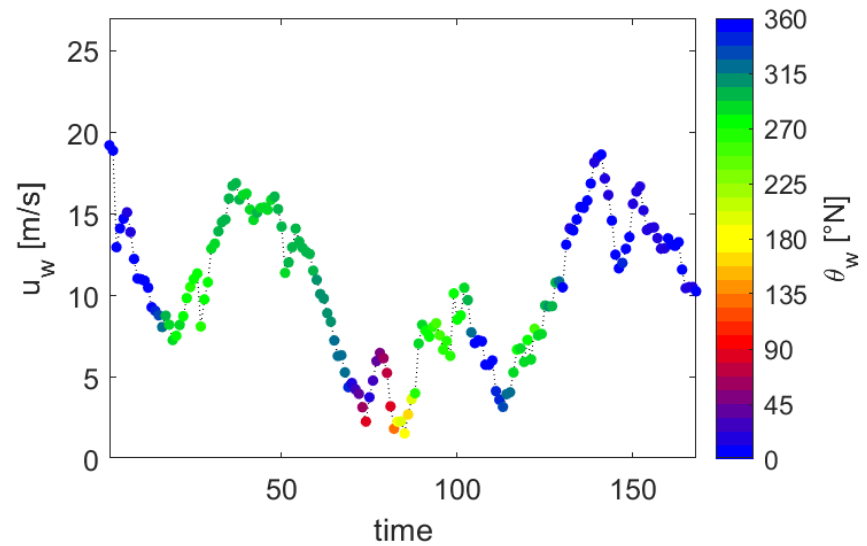
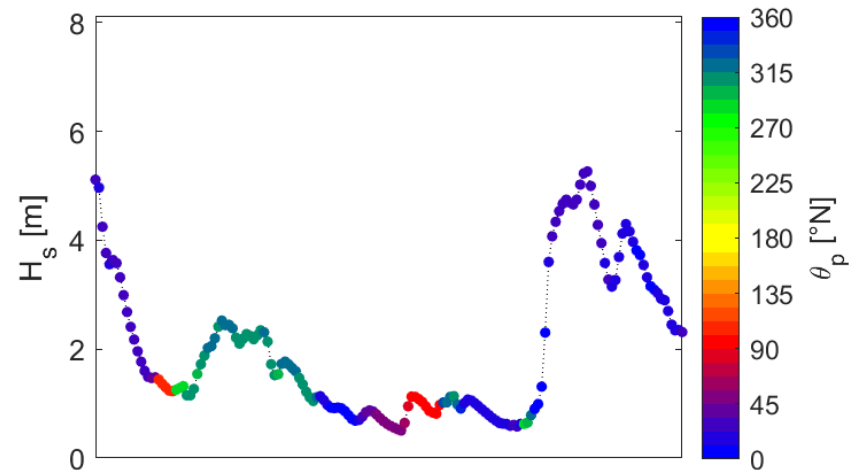
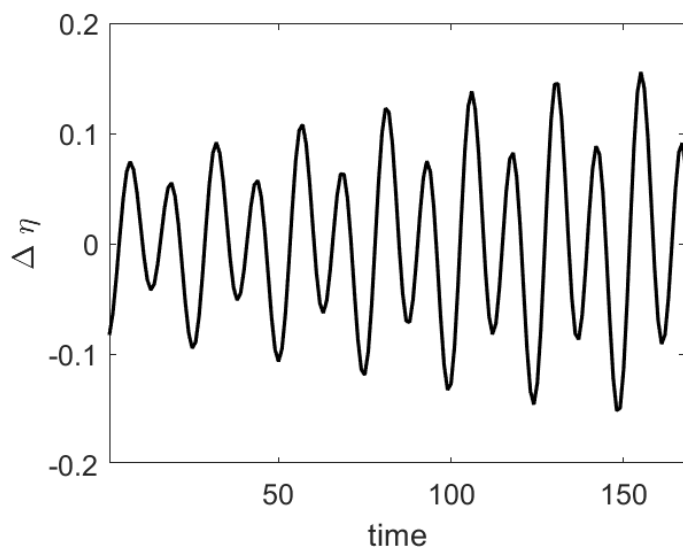
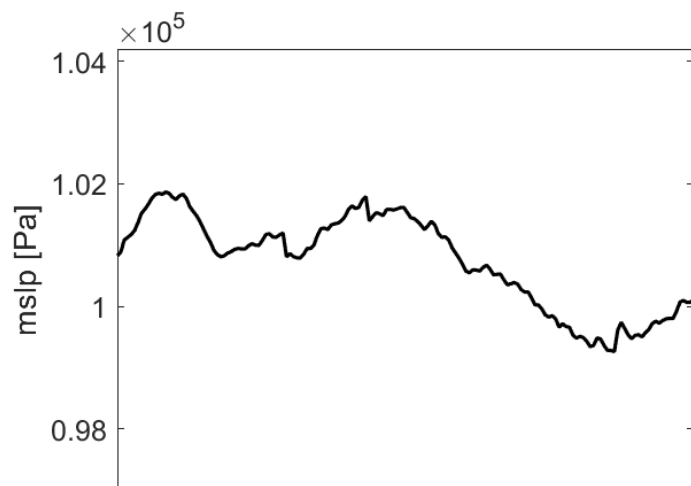
Scenario n. 2 – Olbia -- Scénario n. 2 – Olbia



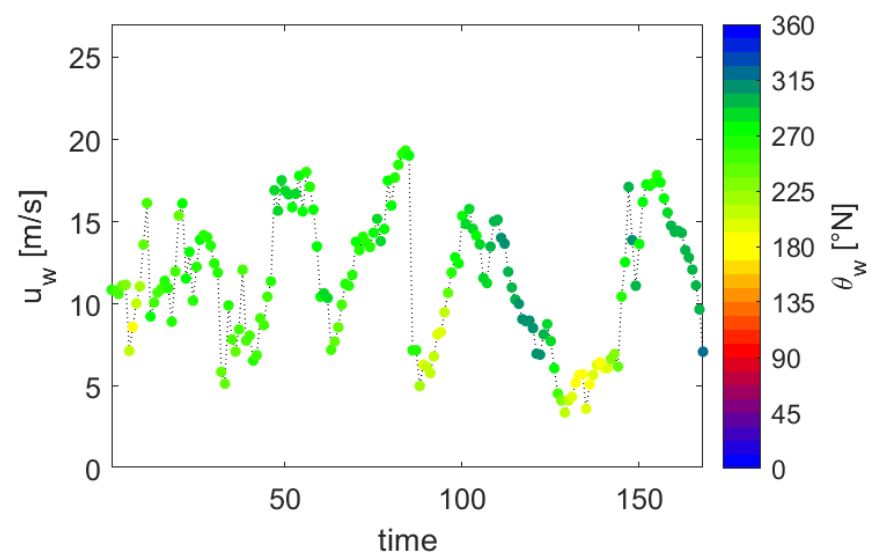
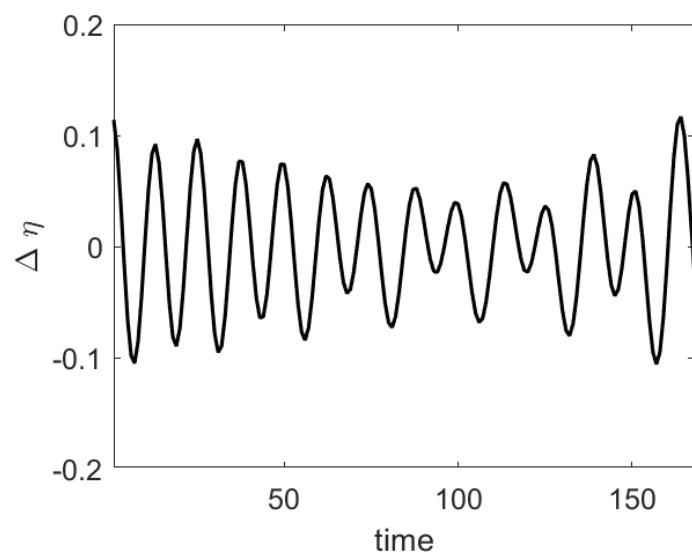
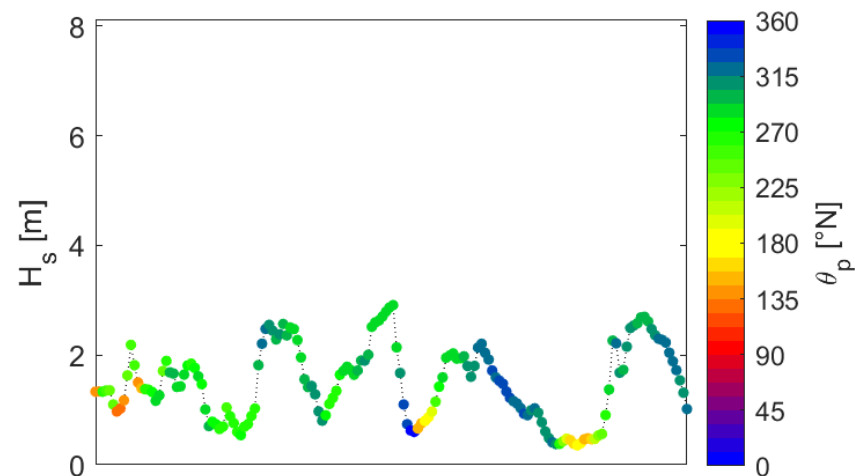
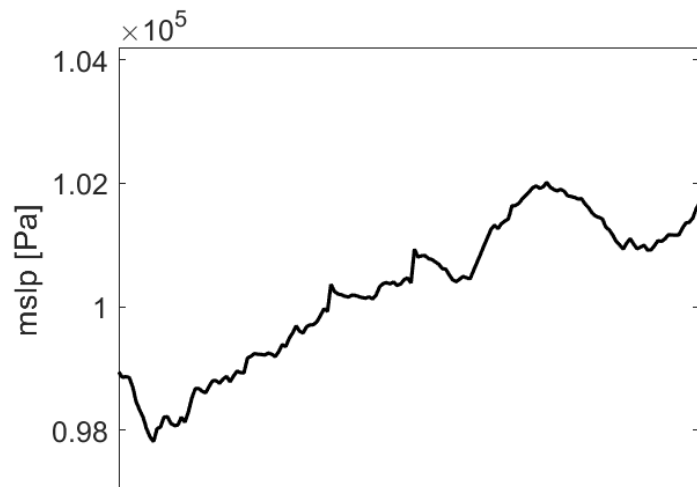
Scenario n. 3 – Olbia -- Scénario n. 3 – Olbia



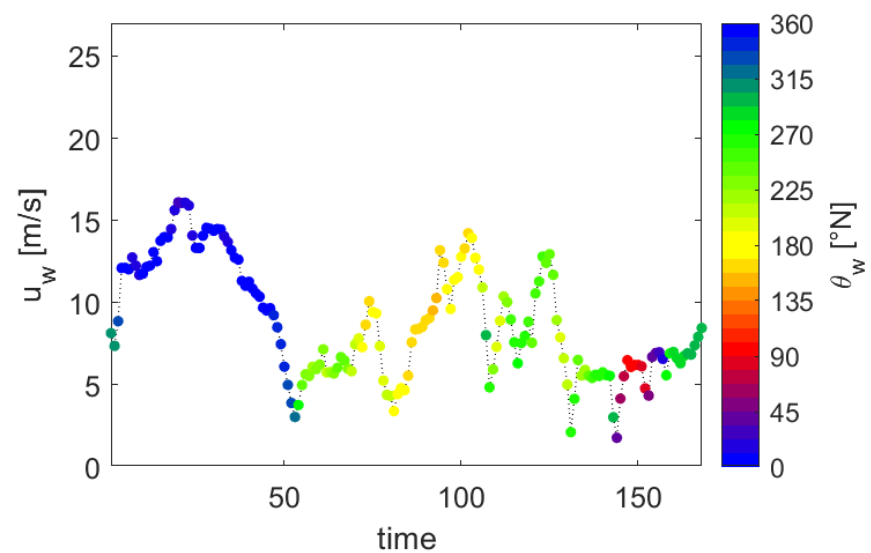
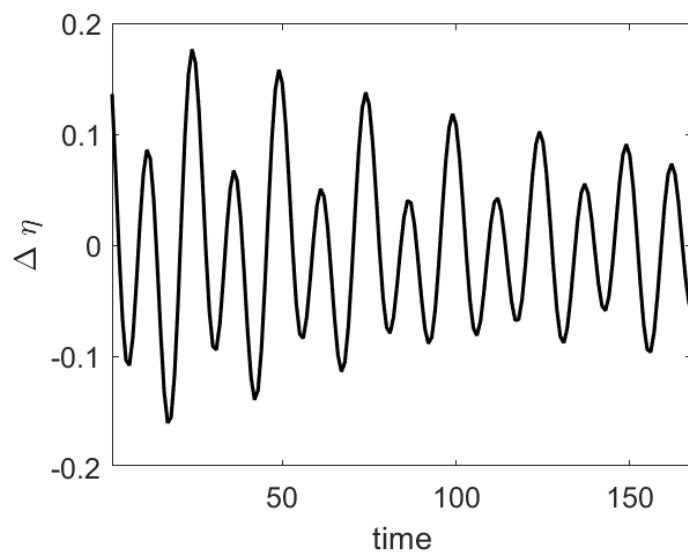
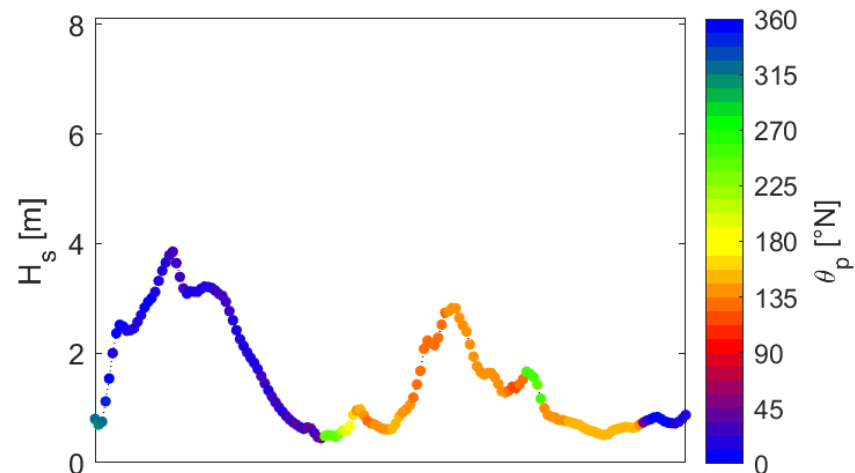
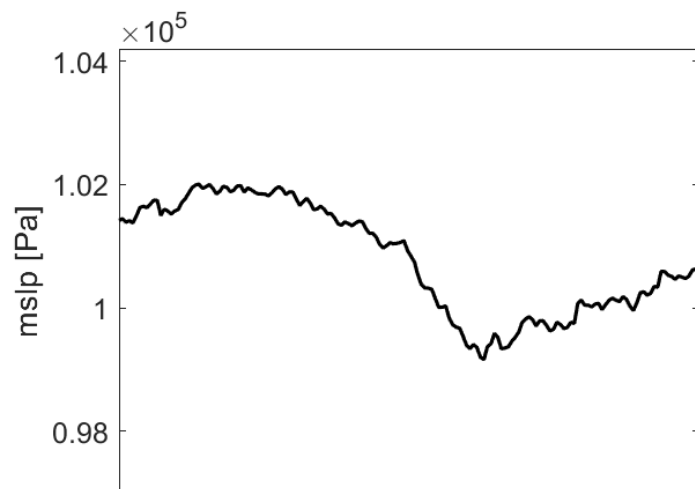
Scenario n. 6 – Olbia -- Scénario n. 6 – Olbia



Scenario n. 7 – Olbia -- Scénario n. 7 – Olbia

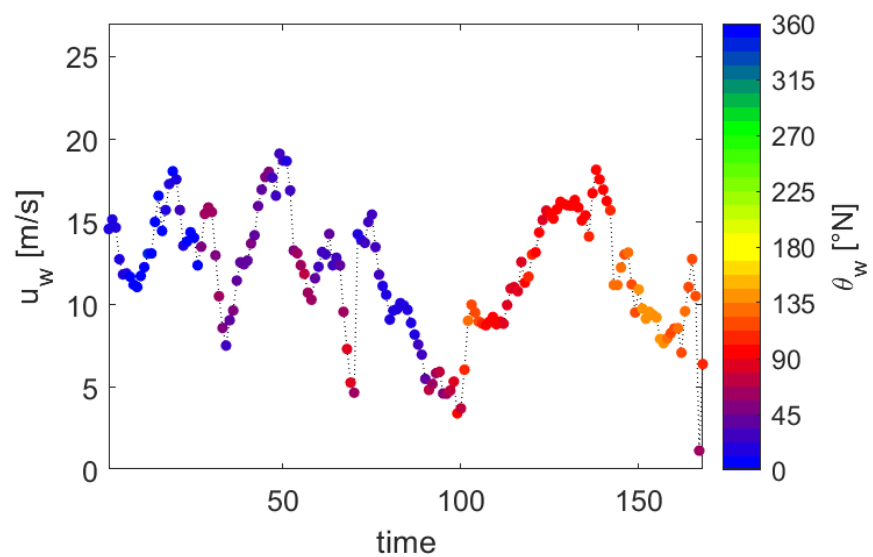
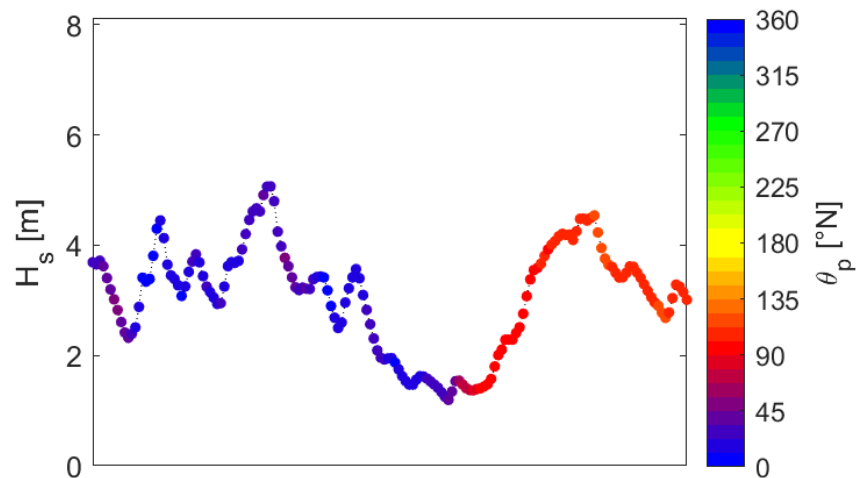
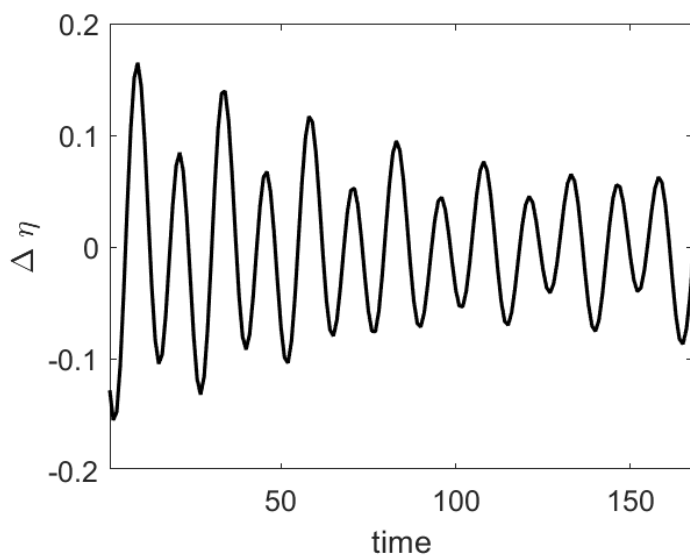
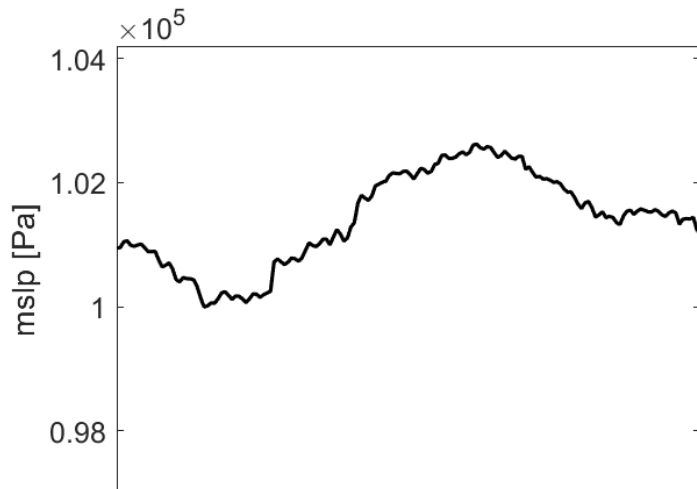


Scenario n. 9 – Olbia -- Scénario n. 9 – Olbia



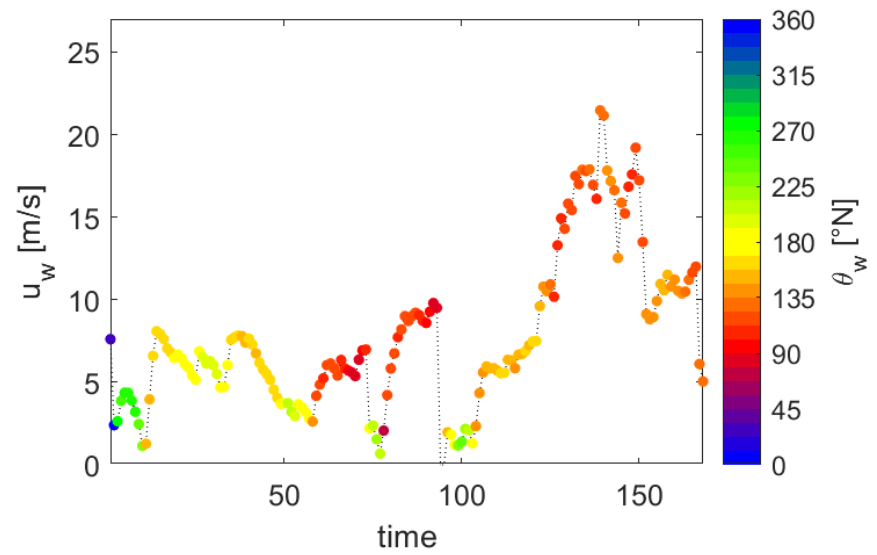
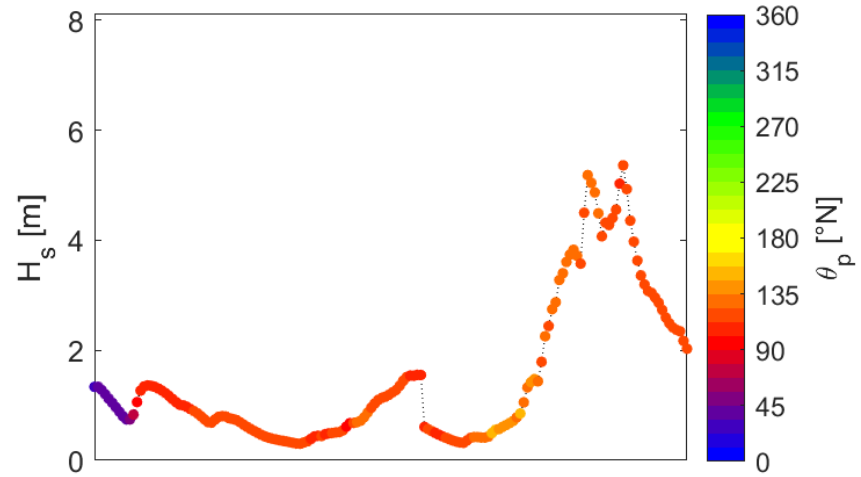
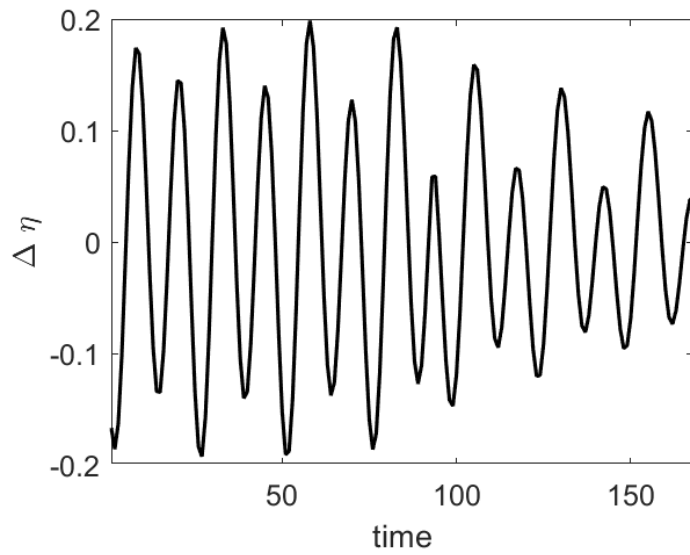
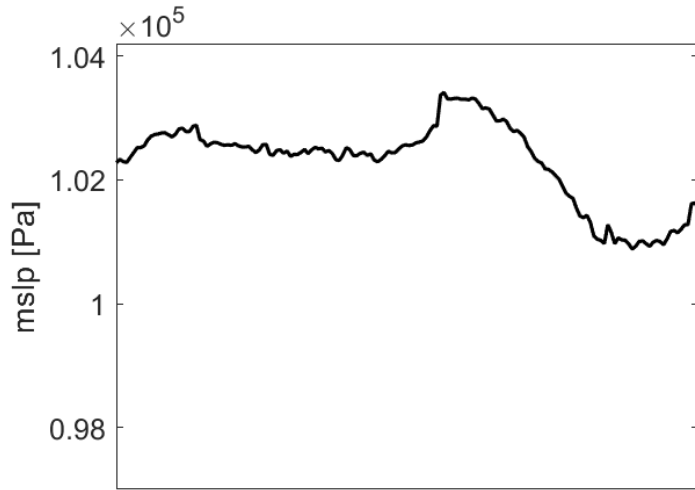
Scenario n. 10 – Olbia -- Scénario n. 10 – Olbia

Prodotto n. T2.2.2



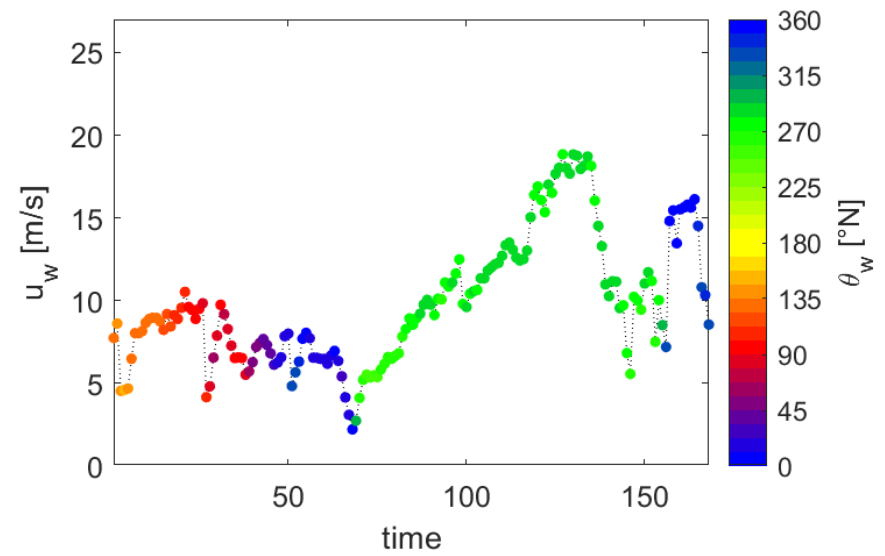
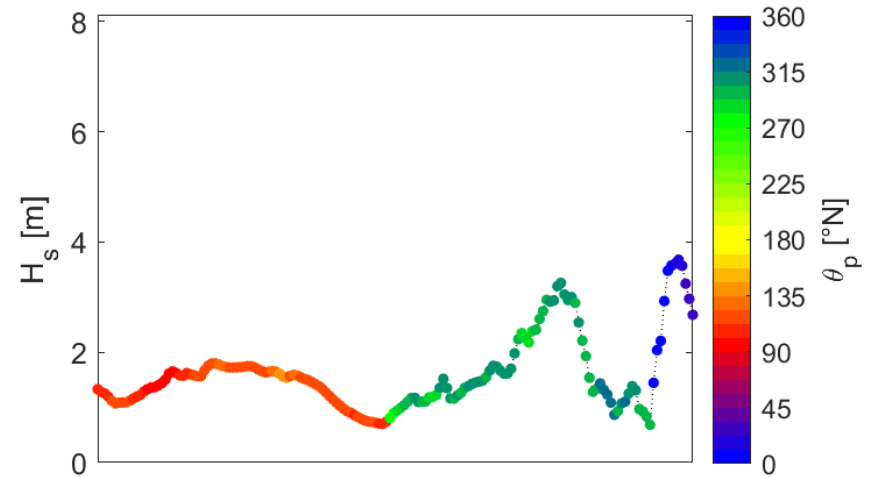
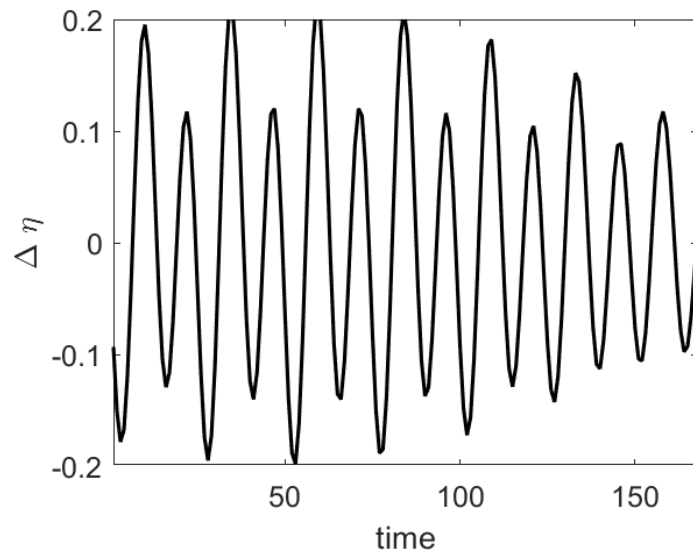
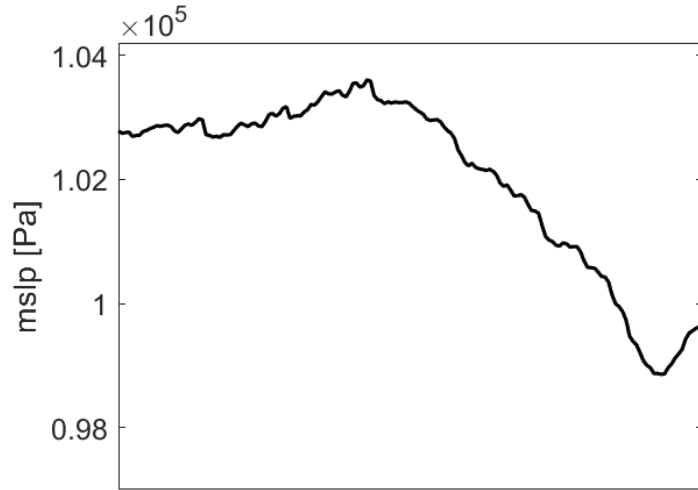
Scenario n. 11 – Olbia -- Scénario n. 11 – Olbia

Prodotto n. T2.2.2



Scenario n. 14 – Olbia -- Scénario n. 14 – Olbia

Prodotto n. T2.2.2



Scenario n. 16 – Olbia -- Scénario n. 16 – Olbia

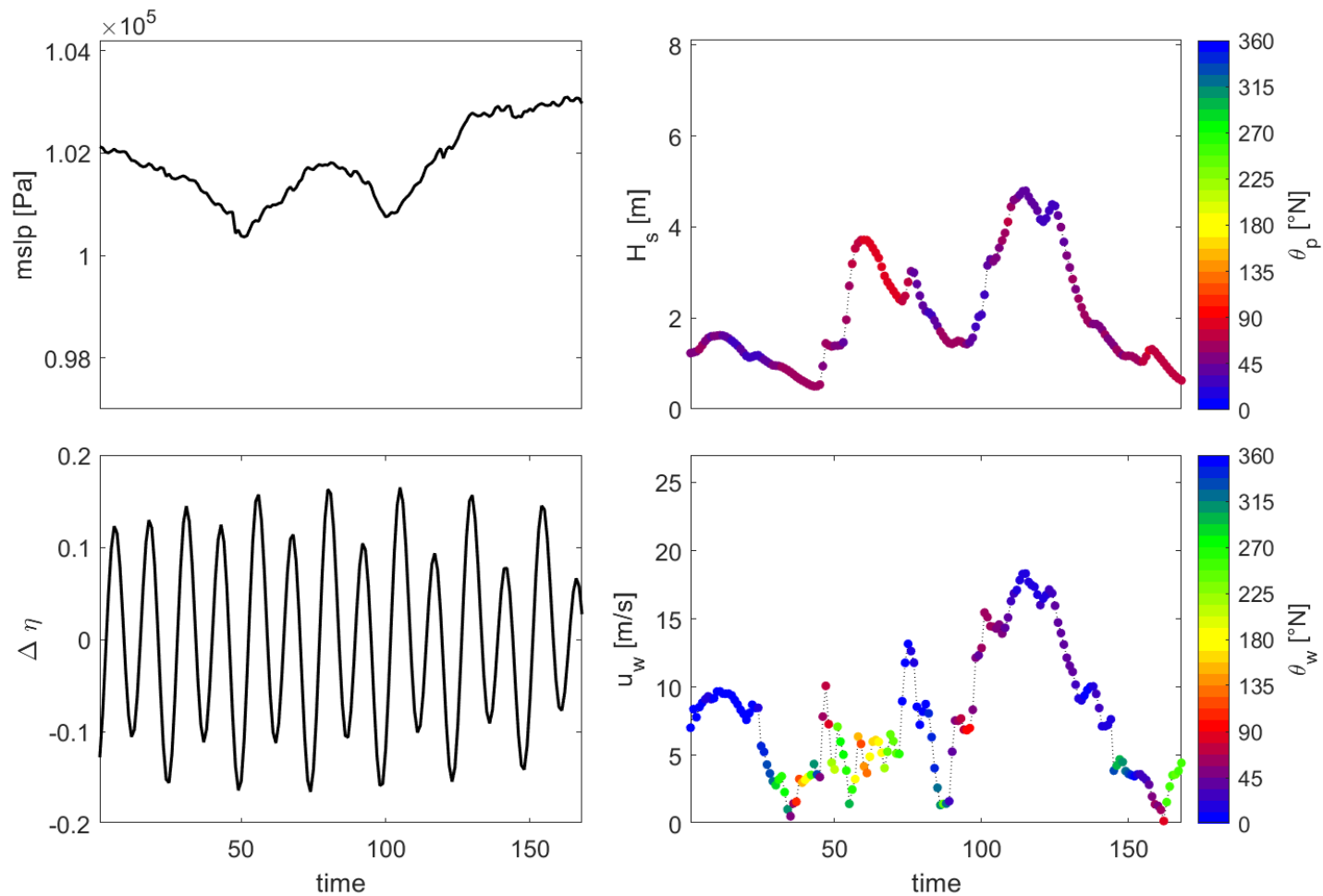
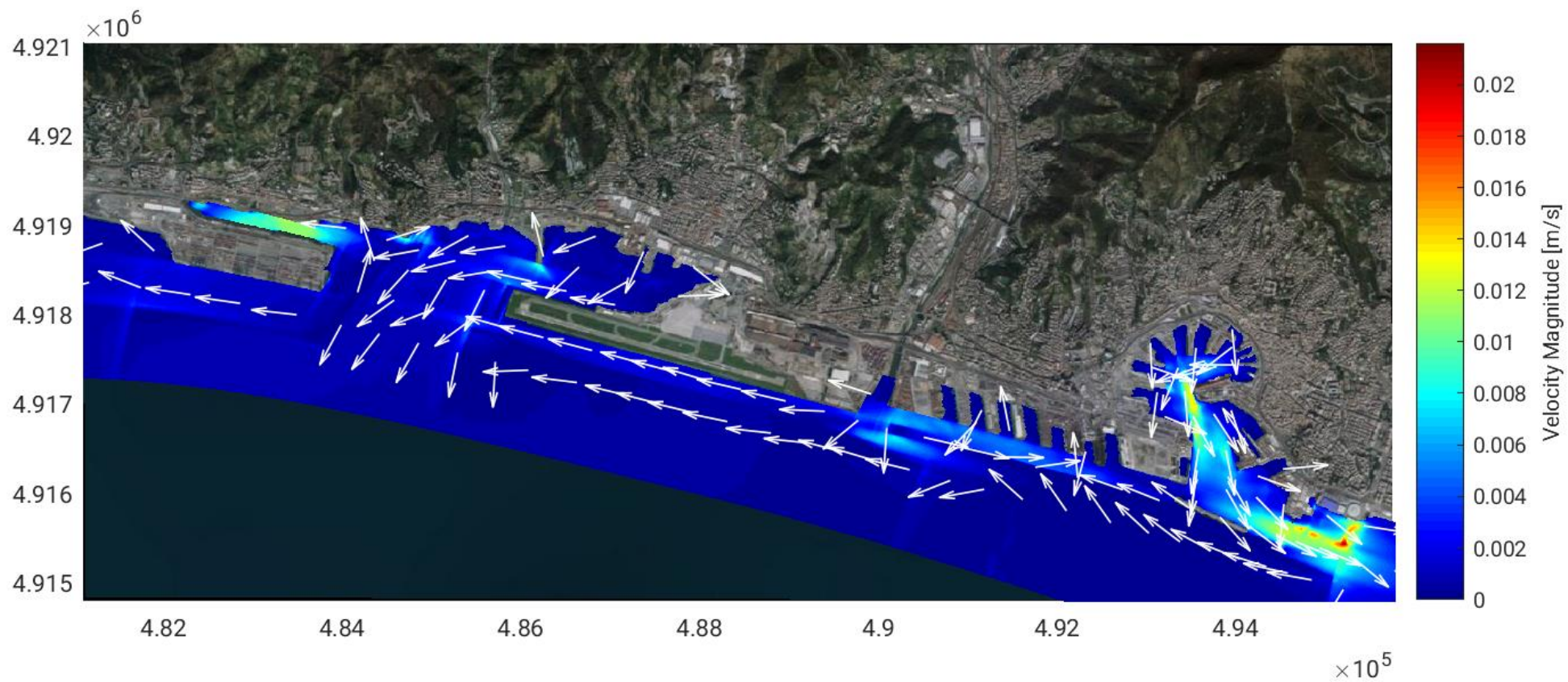
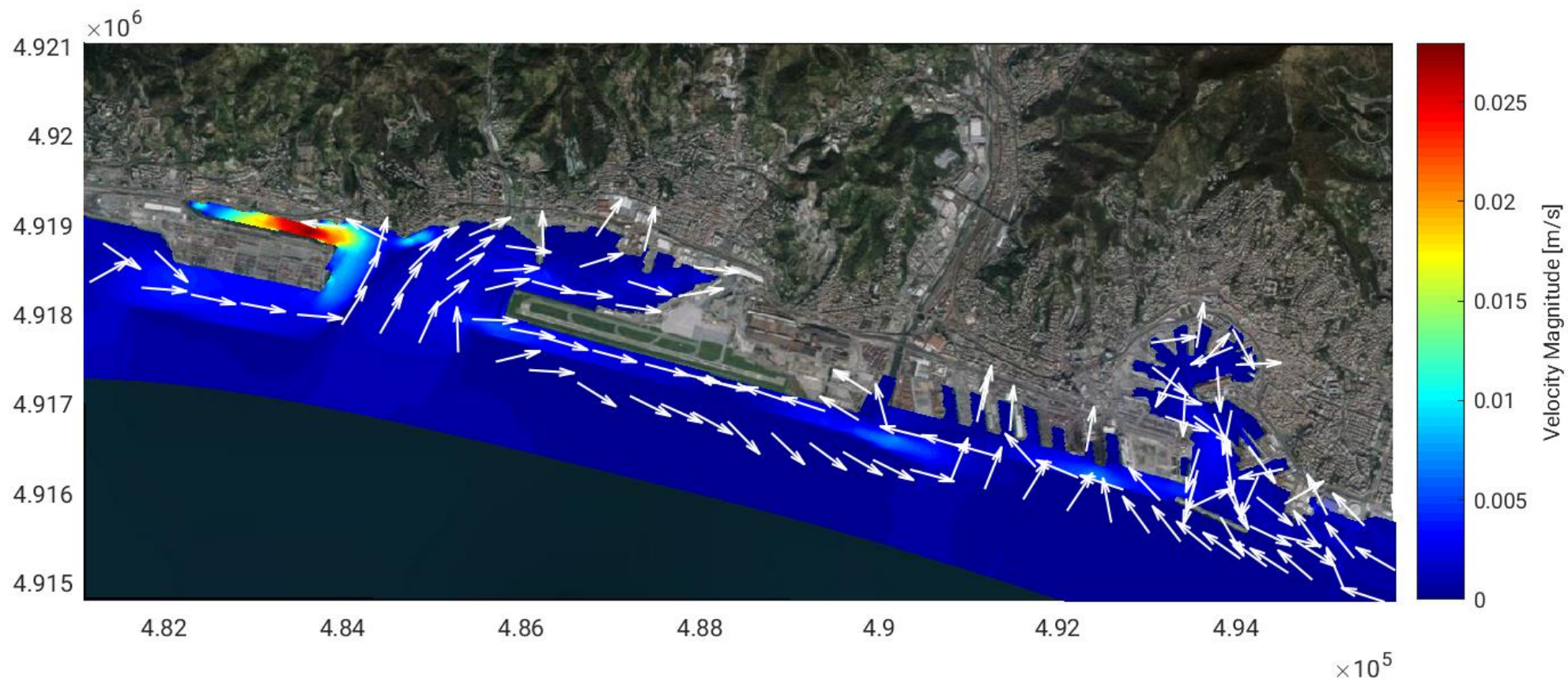


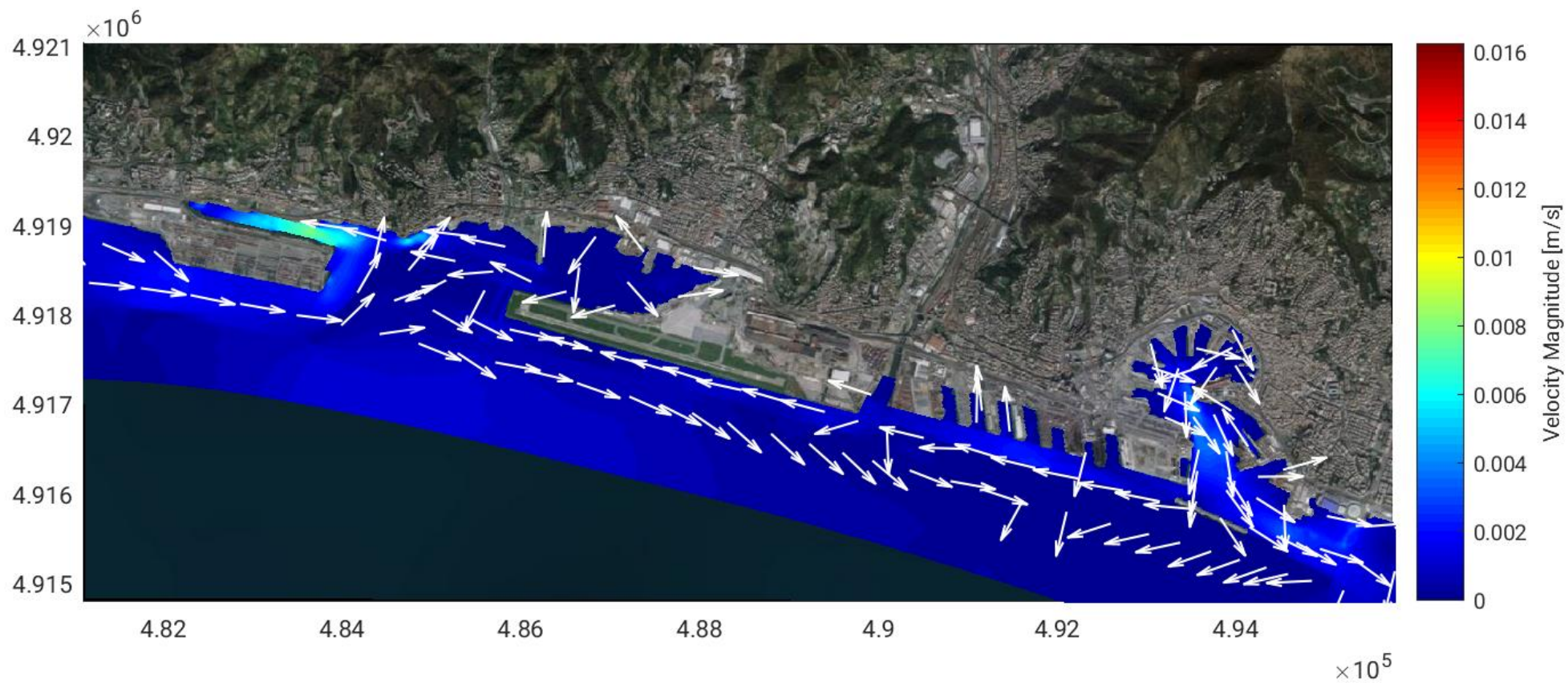
Figura 2: Scenari climatologici selezionati per il porto di Olbia, ottenuti tramite l'algoritmo MDA –
 Figure 2: Scénarios climatologiques sélectionnés pour le port d'Olbia, obtenus grâce à l'algorithm MDA.

2 Mappe della circolazione -- Cartes de circulation

Scenario n. 1 – Genova -- Scénario n. 1 – Gênes







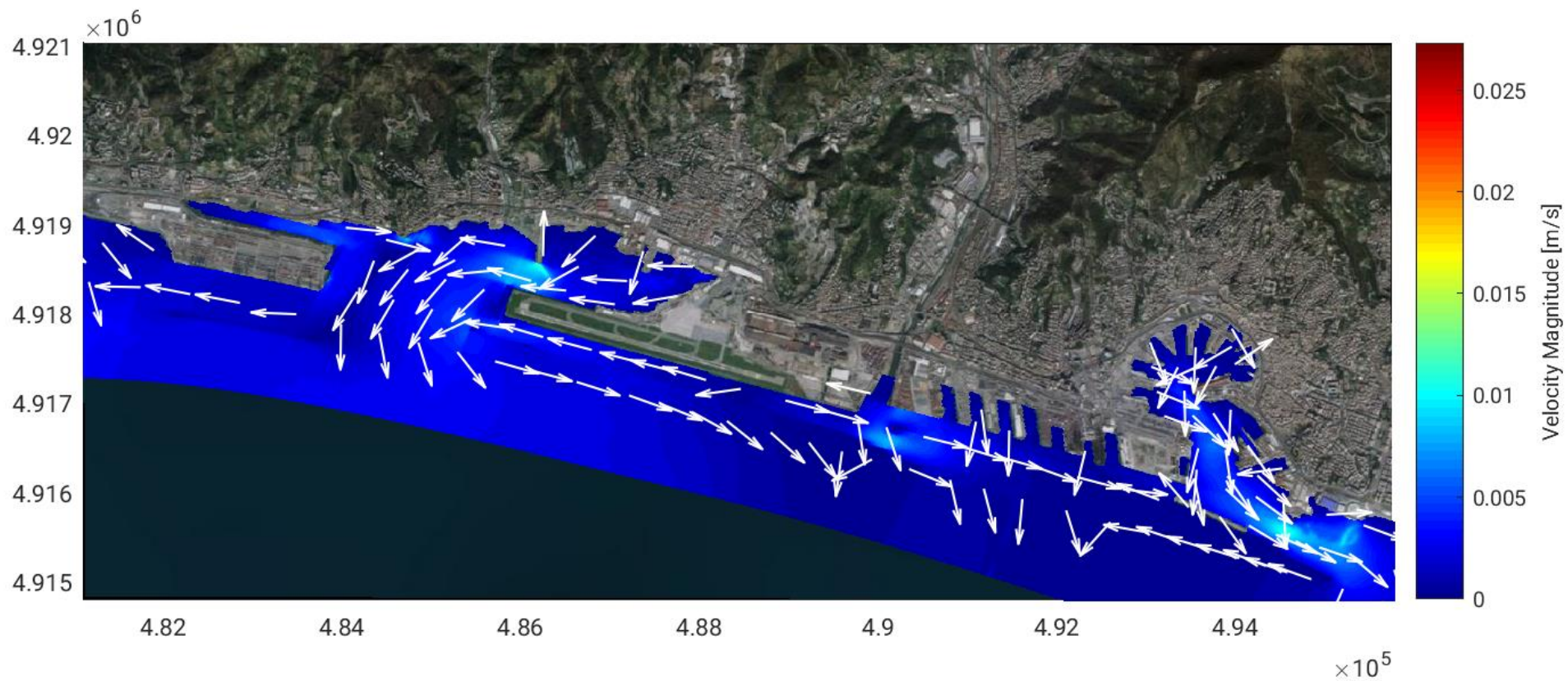
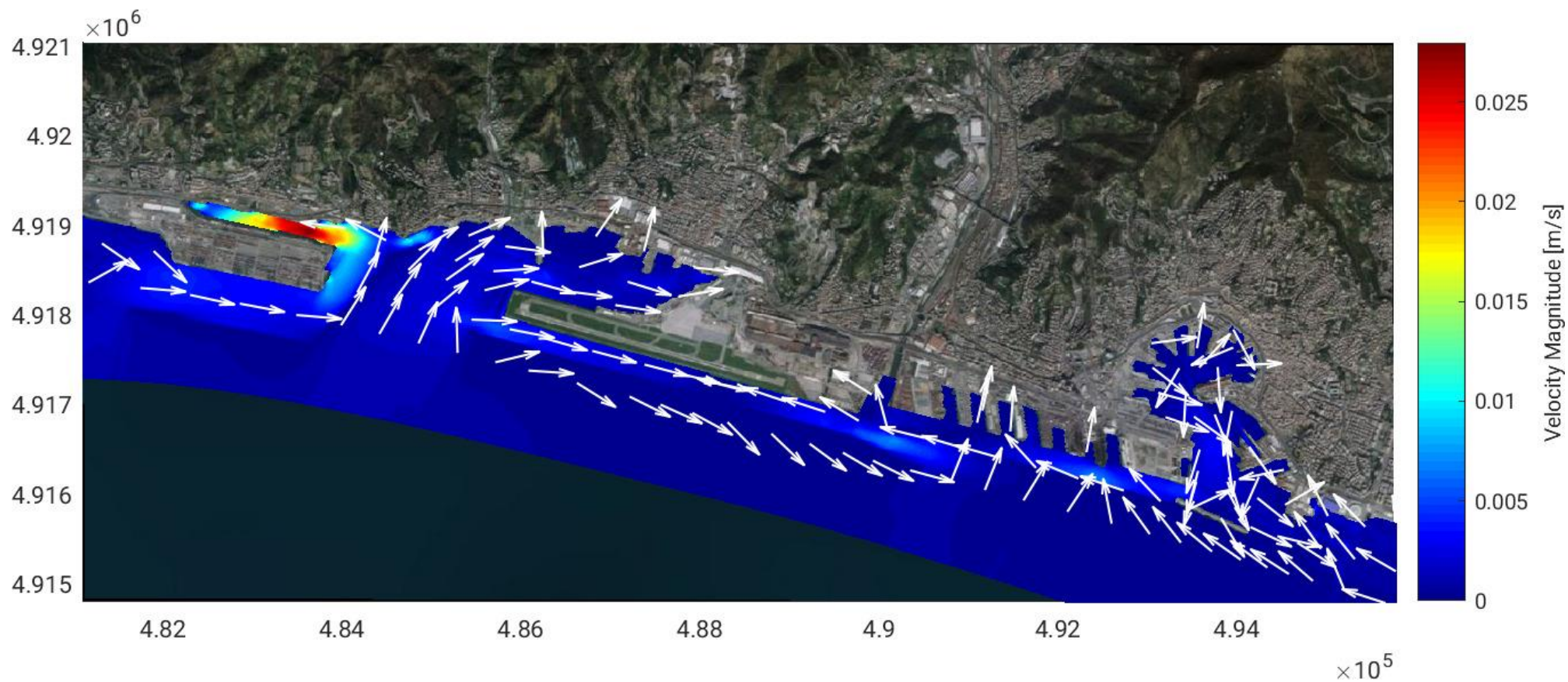
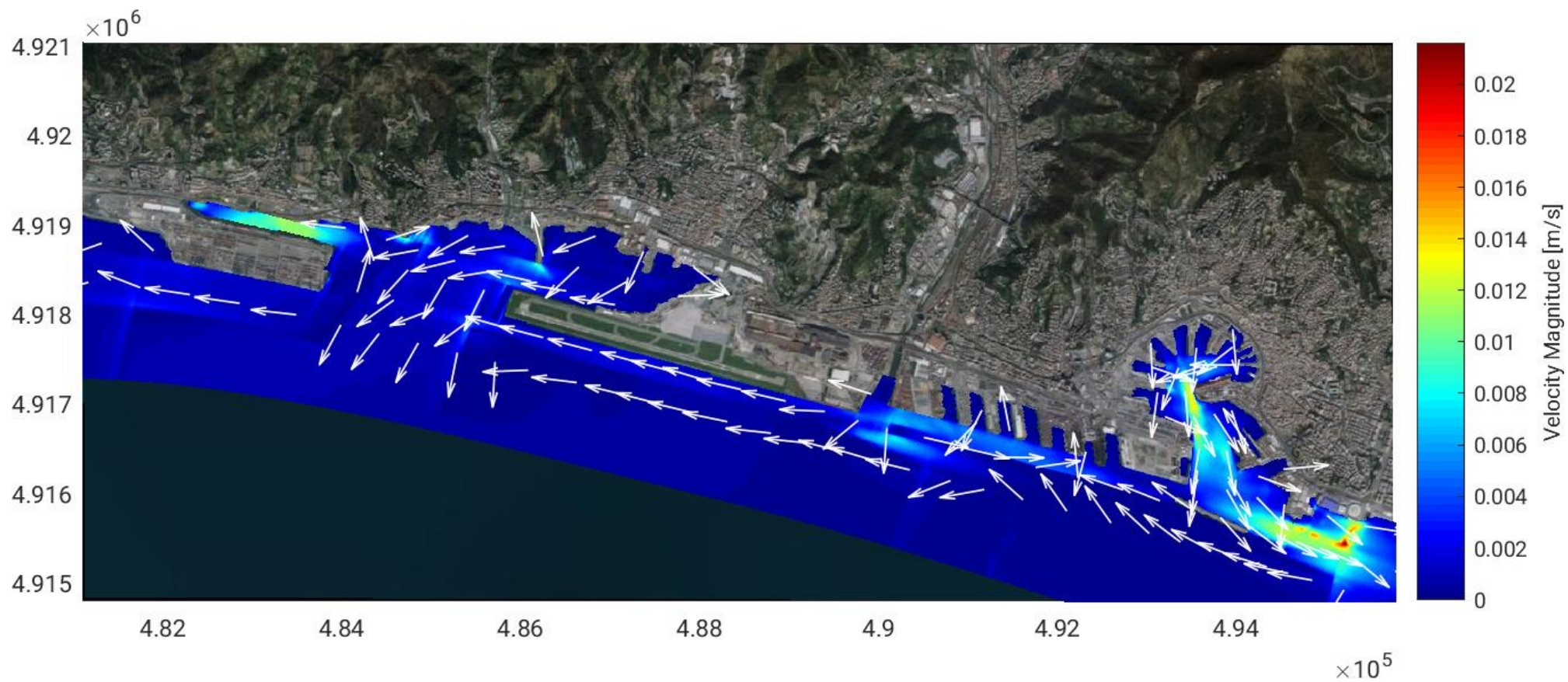
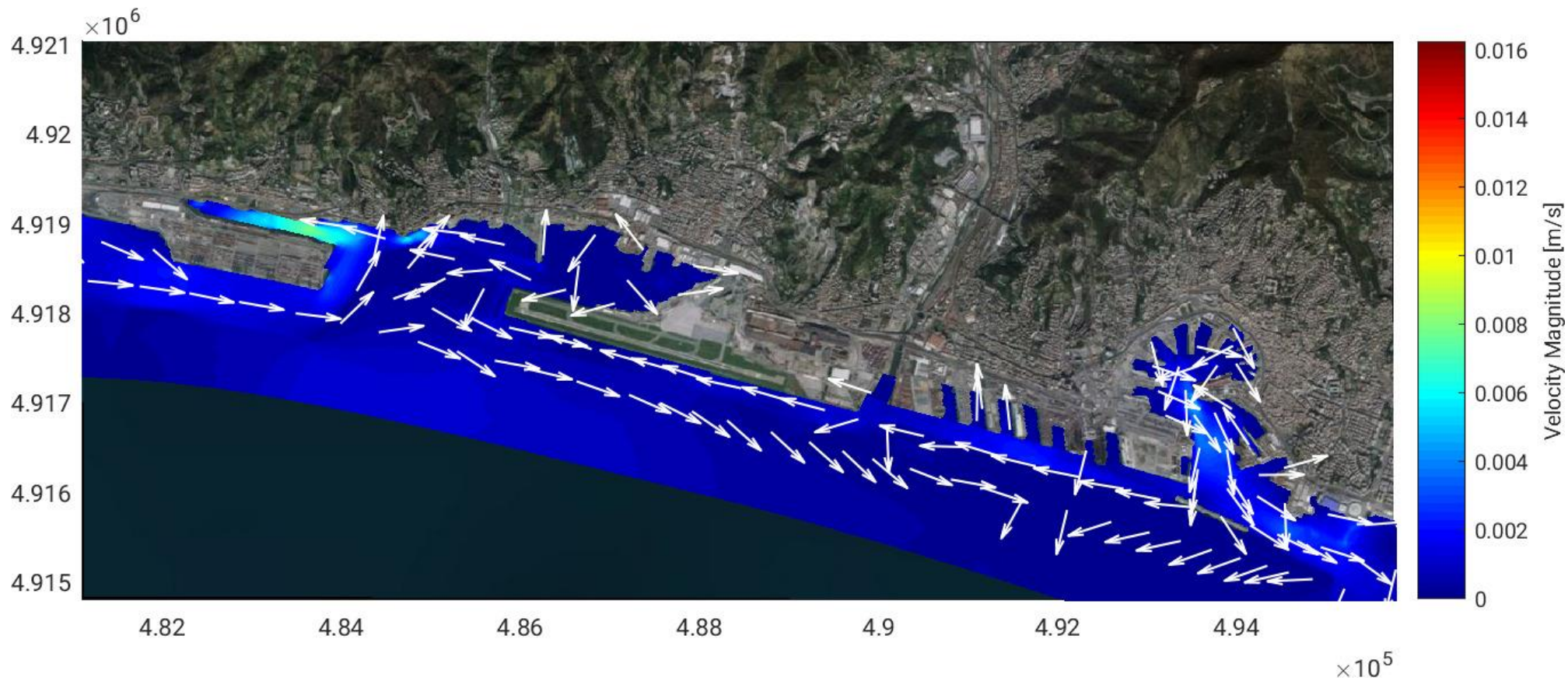


Figura 3: Rappresentazione del campo di velocità in corrispondenza di 4 istanti (6 - 12 - 18 - 24 - h) successive allo sversamento del tracciante [Scenario n. 1]. -
 - Figure 3: Représentation de la plage de vitesse à 4 instants (6 - 12 - 18 - 24 - h) après le déversement du traceur [Scénario n. 1].







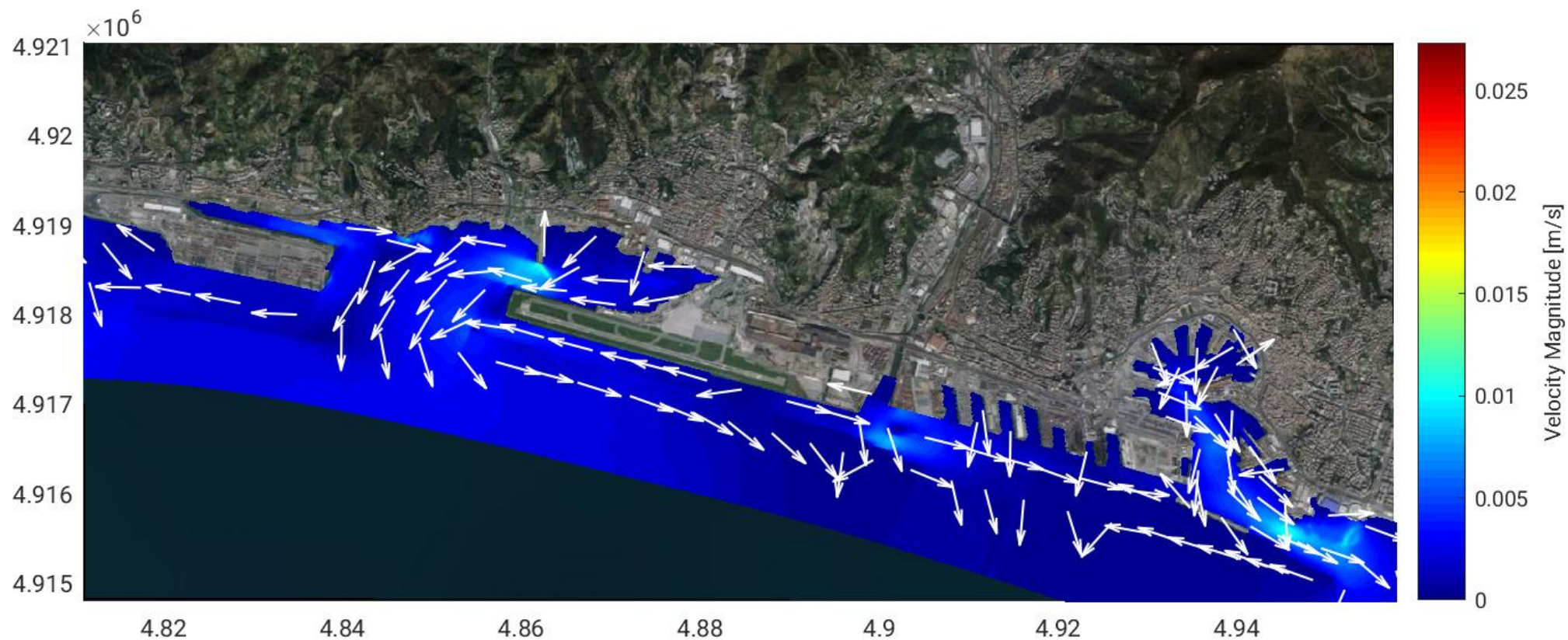
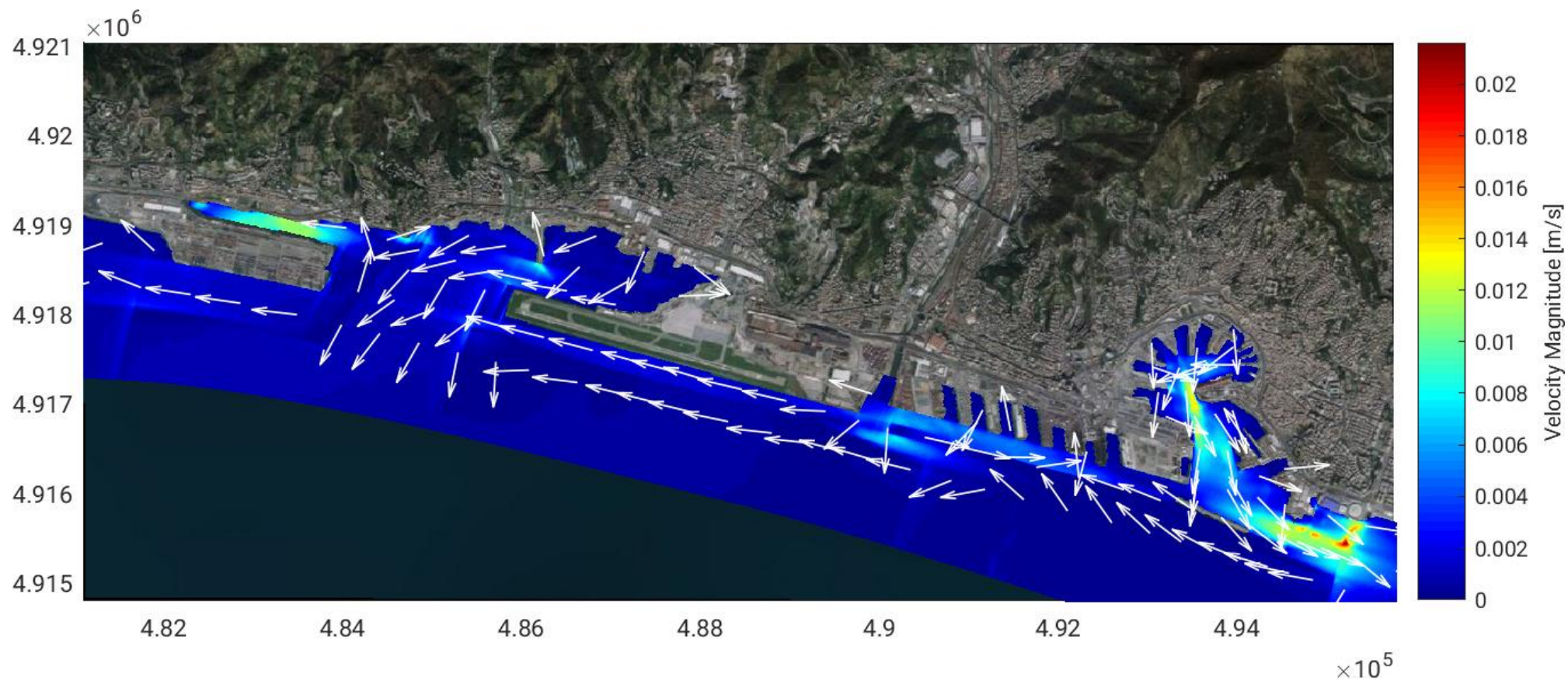
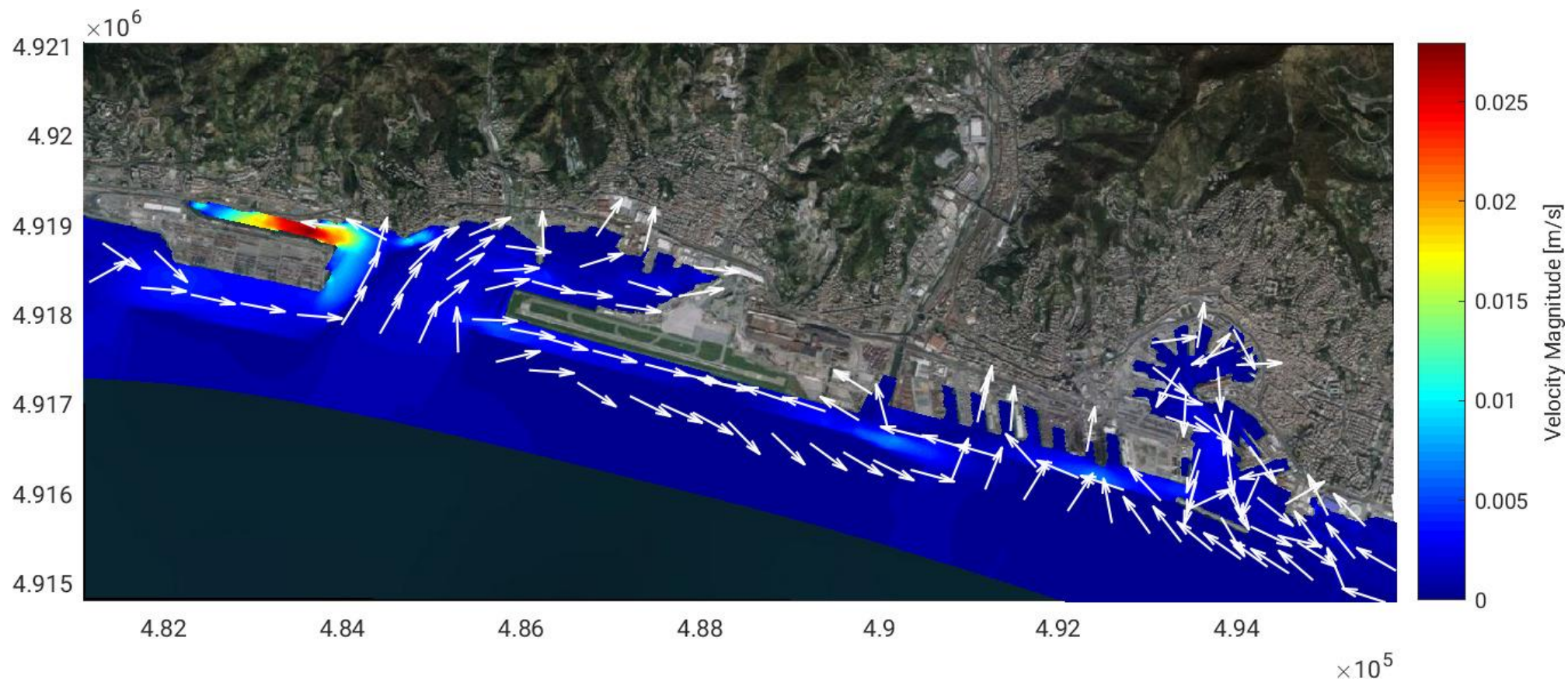
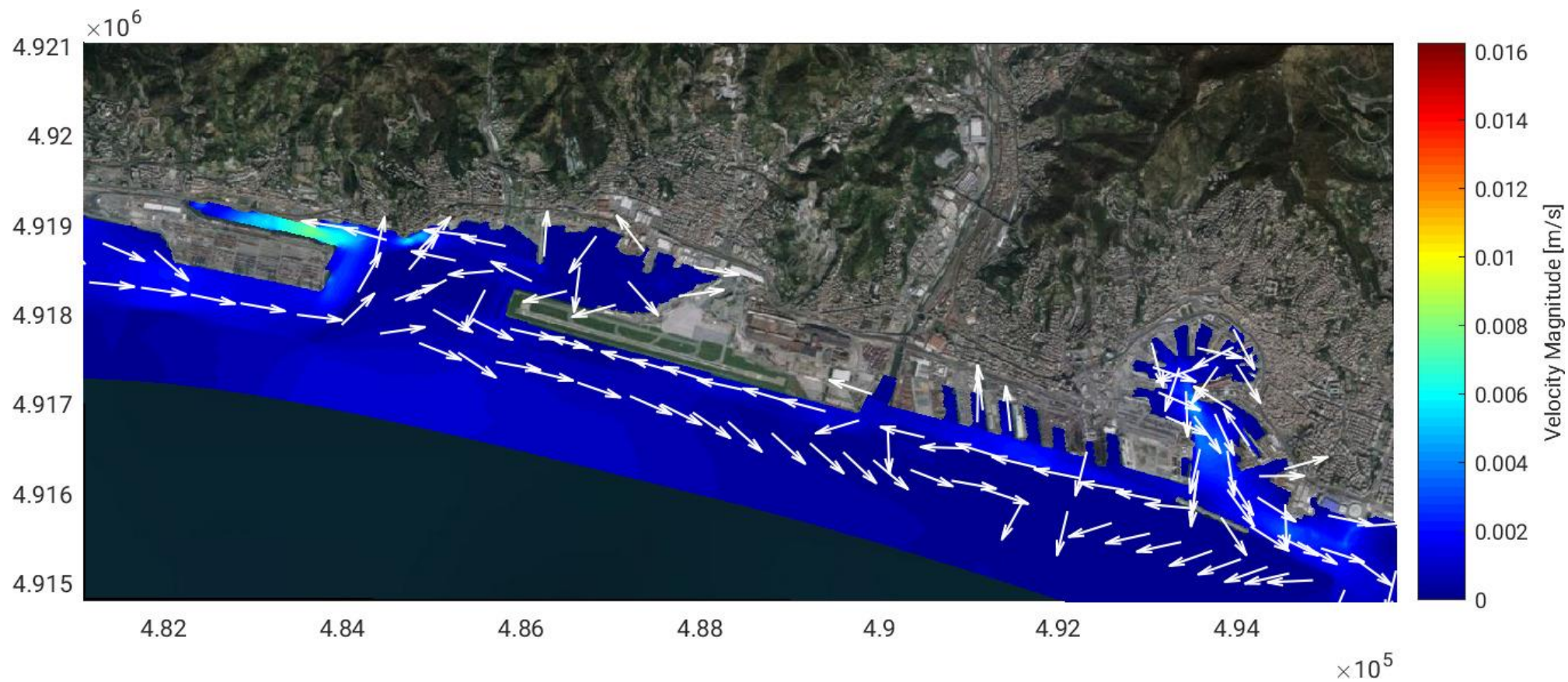


Figura 4 - Rappresentazione del campo di velocità in corrispondenza di 4 istanti (6 - 12 - 18 - 24 - h) successive allo sversamento del tracciante [Scenario n. 4]. –
 Figure 4: Représentation de la plage de vitesse à 4 instants (6 - 12 - 18 - 24 - h) après le déversement du traceur [Scénario n° 4].







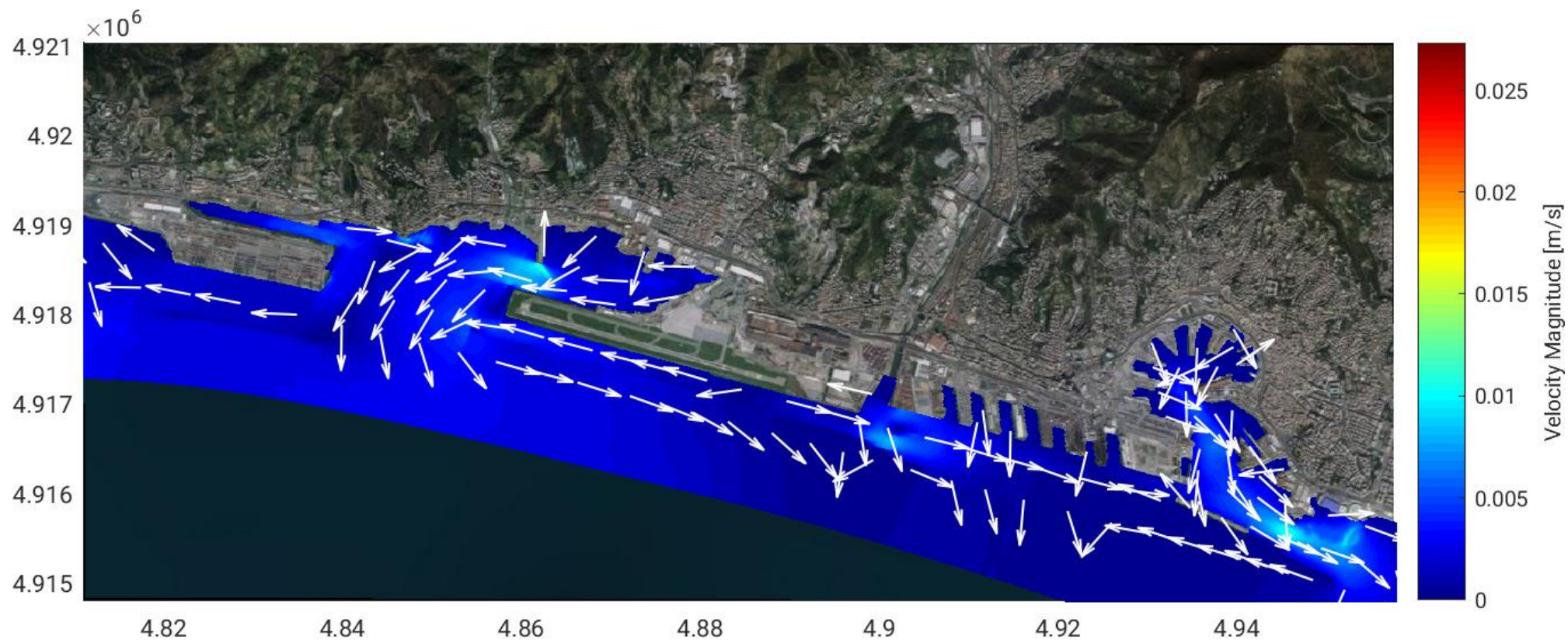
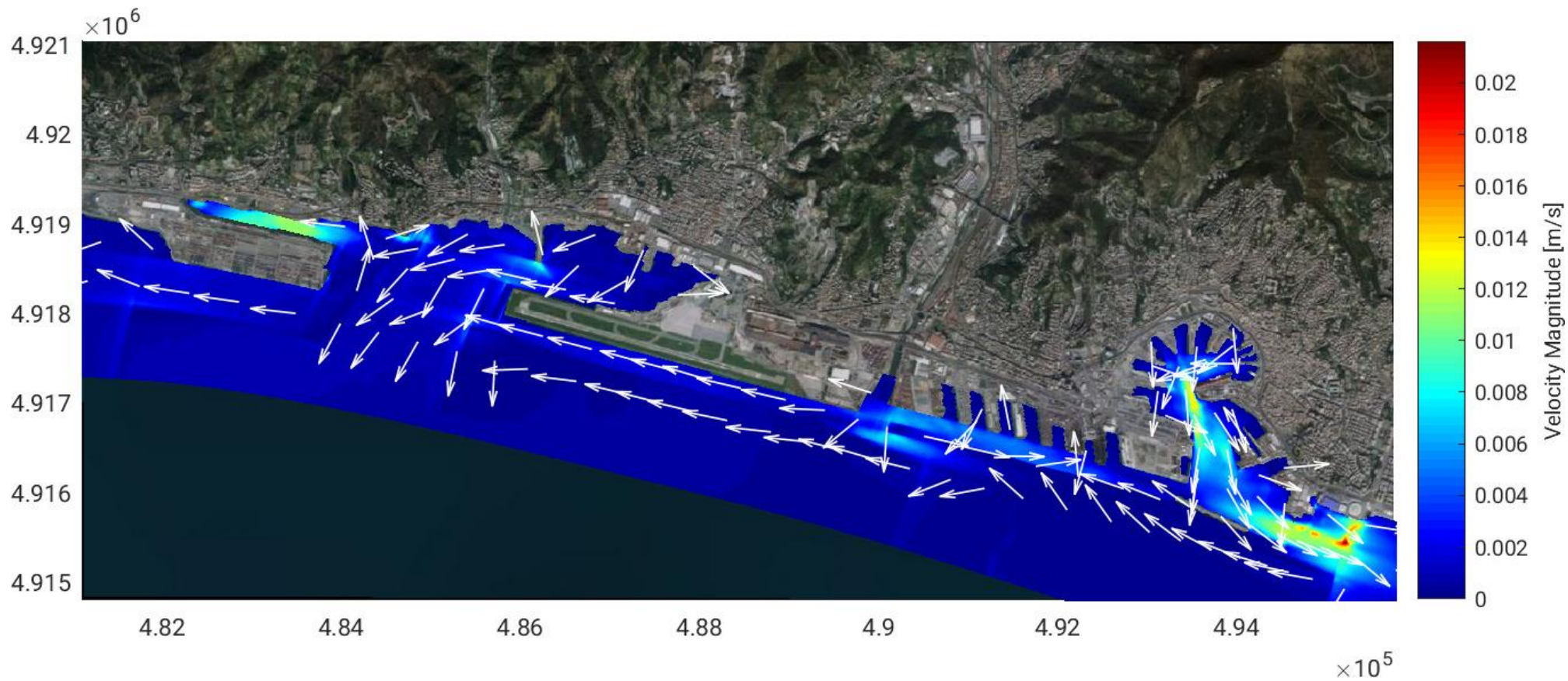
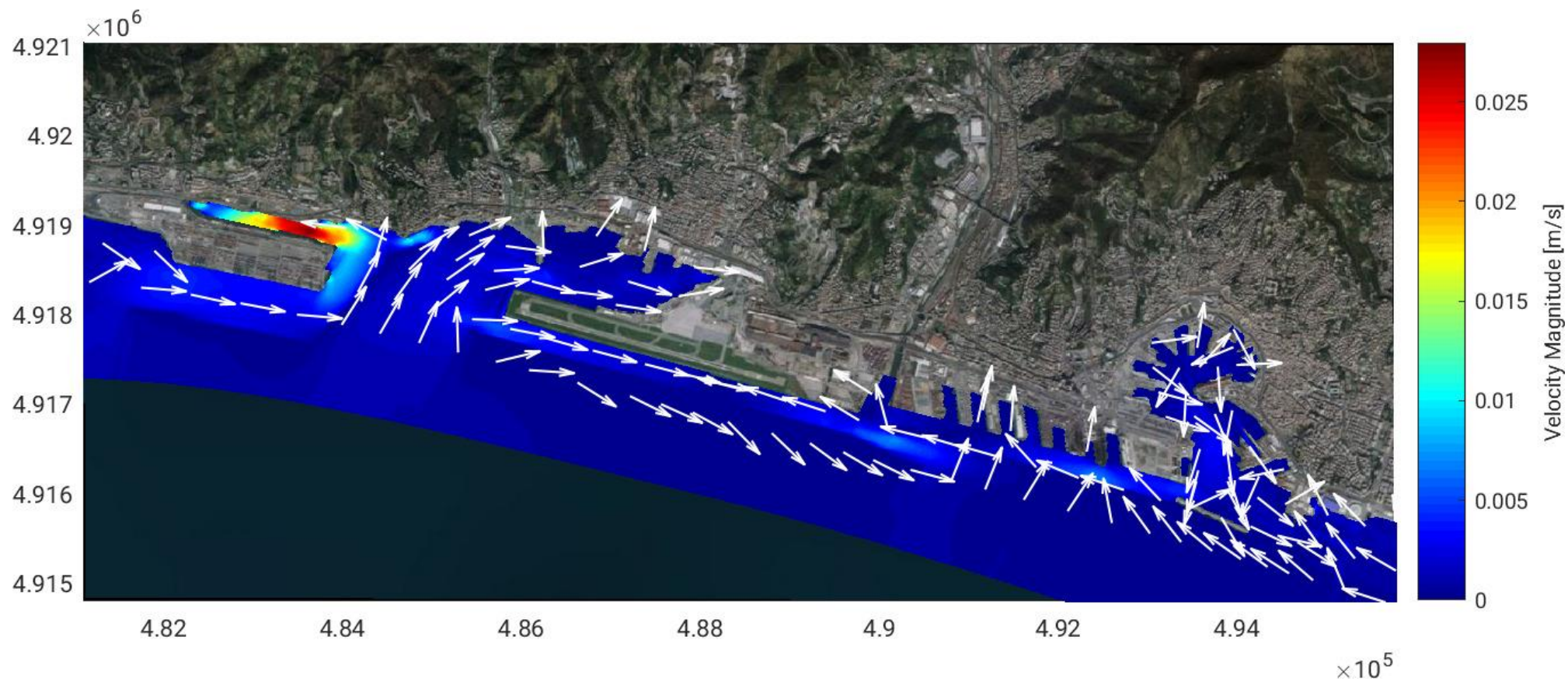
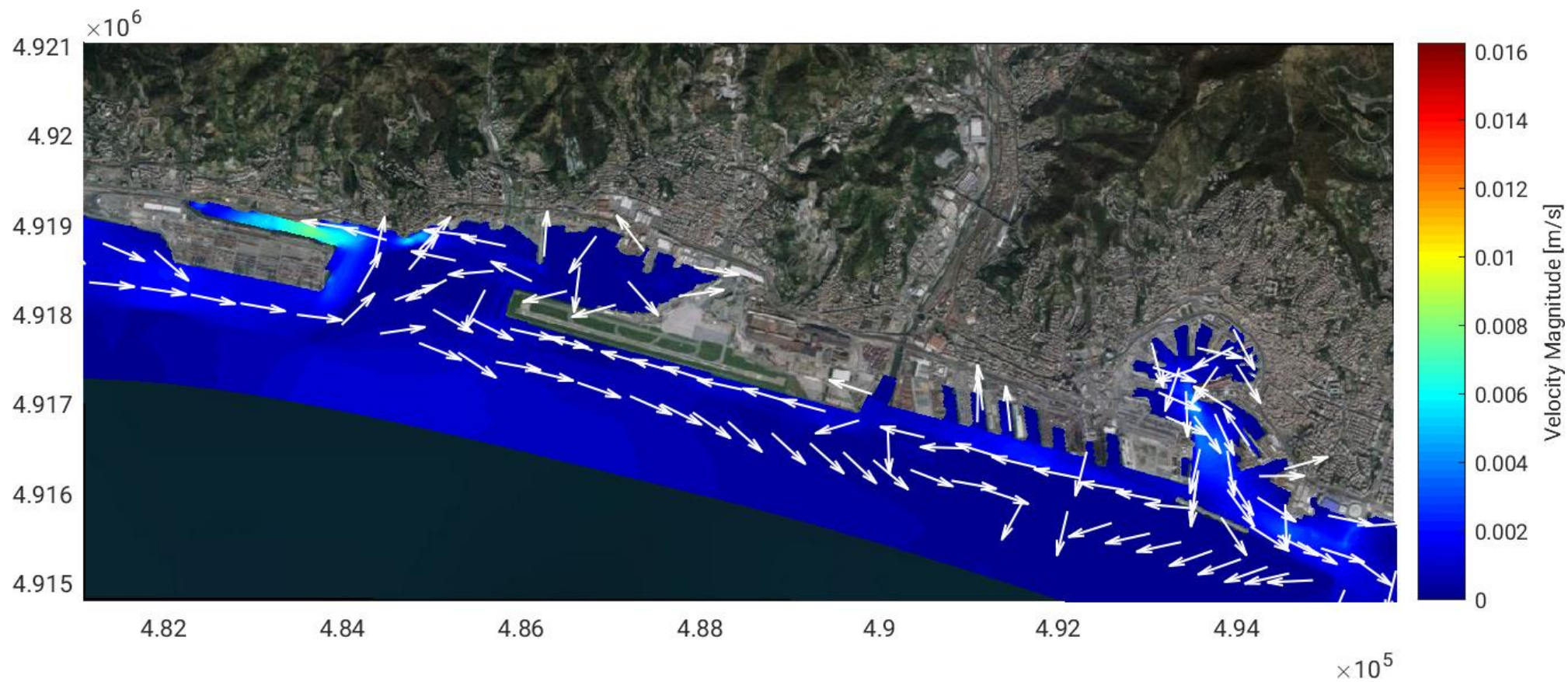


Figura 5: Rappresentazione del campo di velocità in corrispondenza di 4 istanti (6 - 12 - 18 - 24 - h) successive allo sversamento del tracciante [Scenario n. 5]. –
 Figure 5: Représentation de la plage de vitesse à 4 instants (6 - 12 - 18 - 24 - h) après le déversement du traceur [Scénario n° 5].







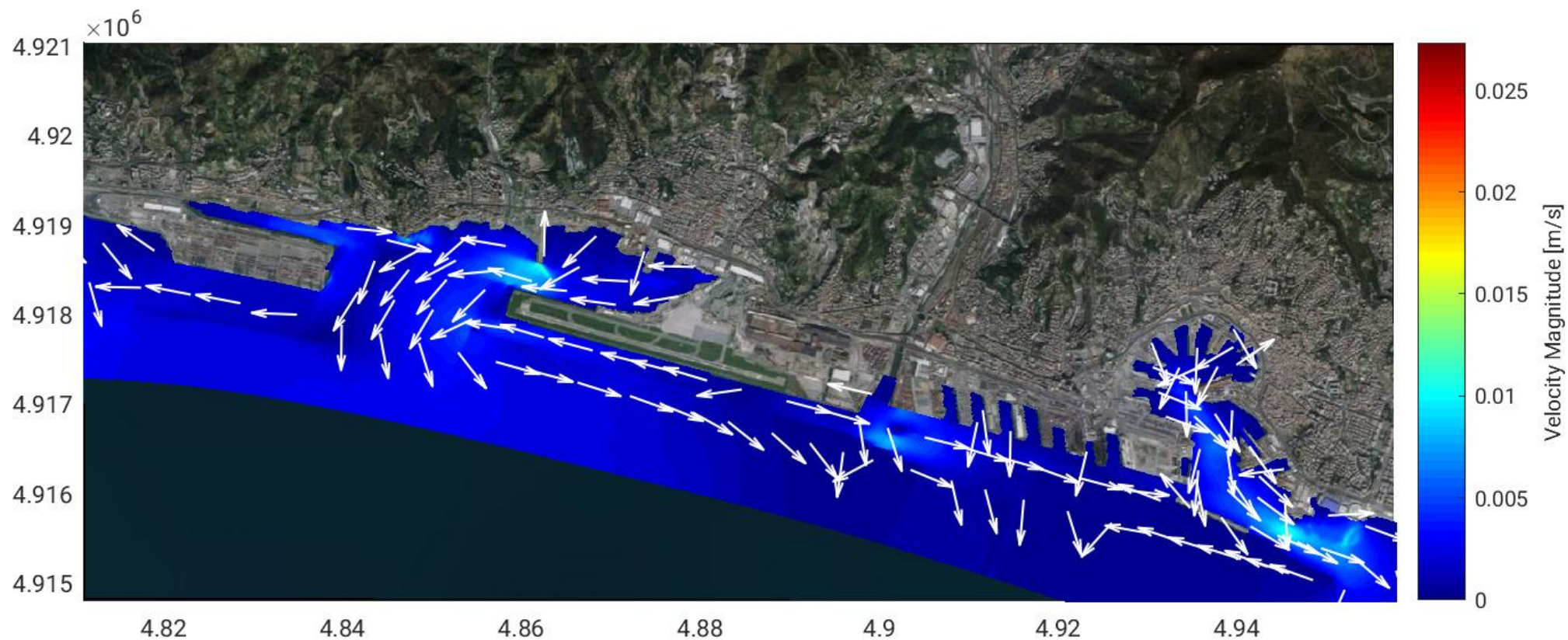
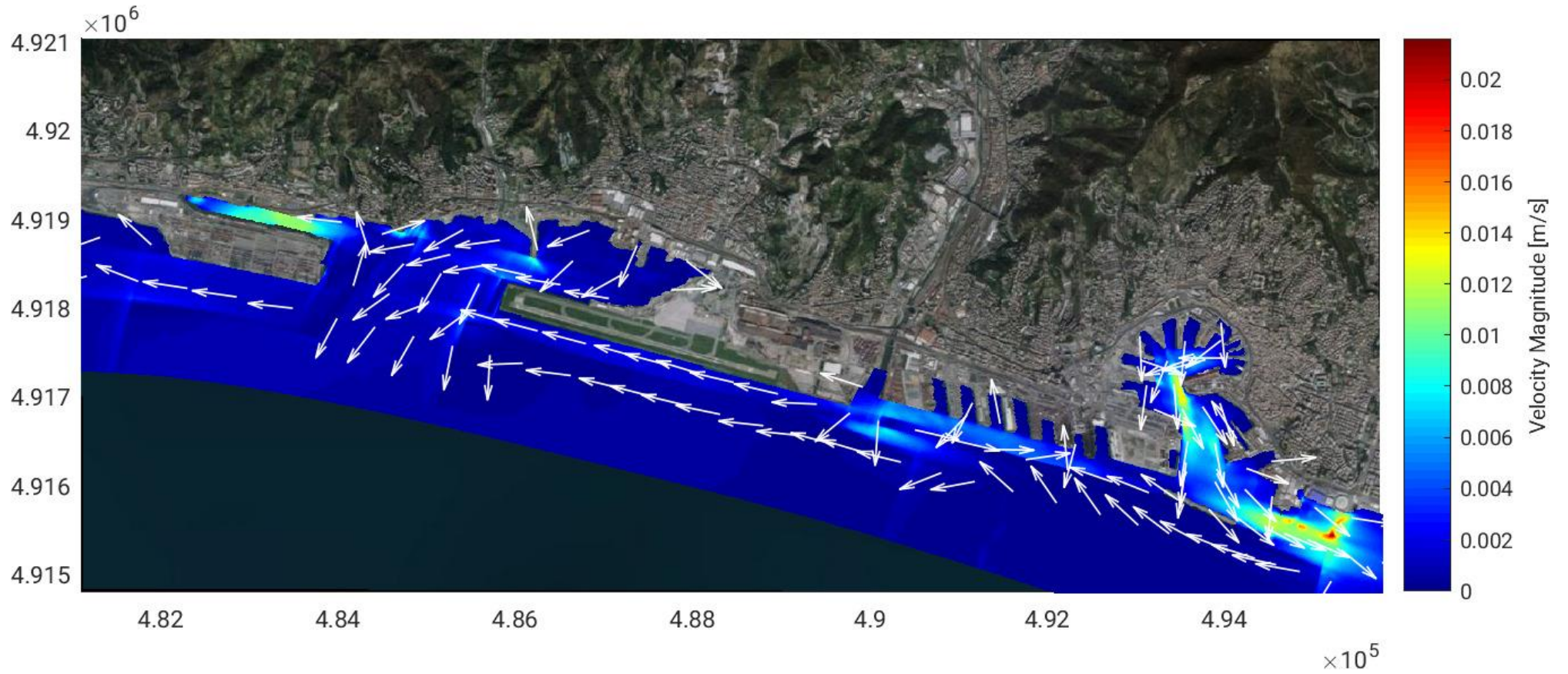
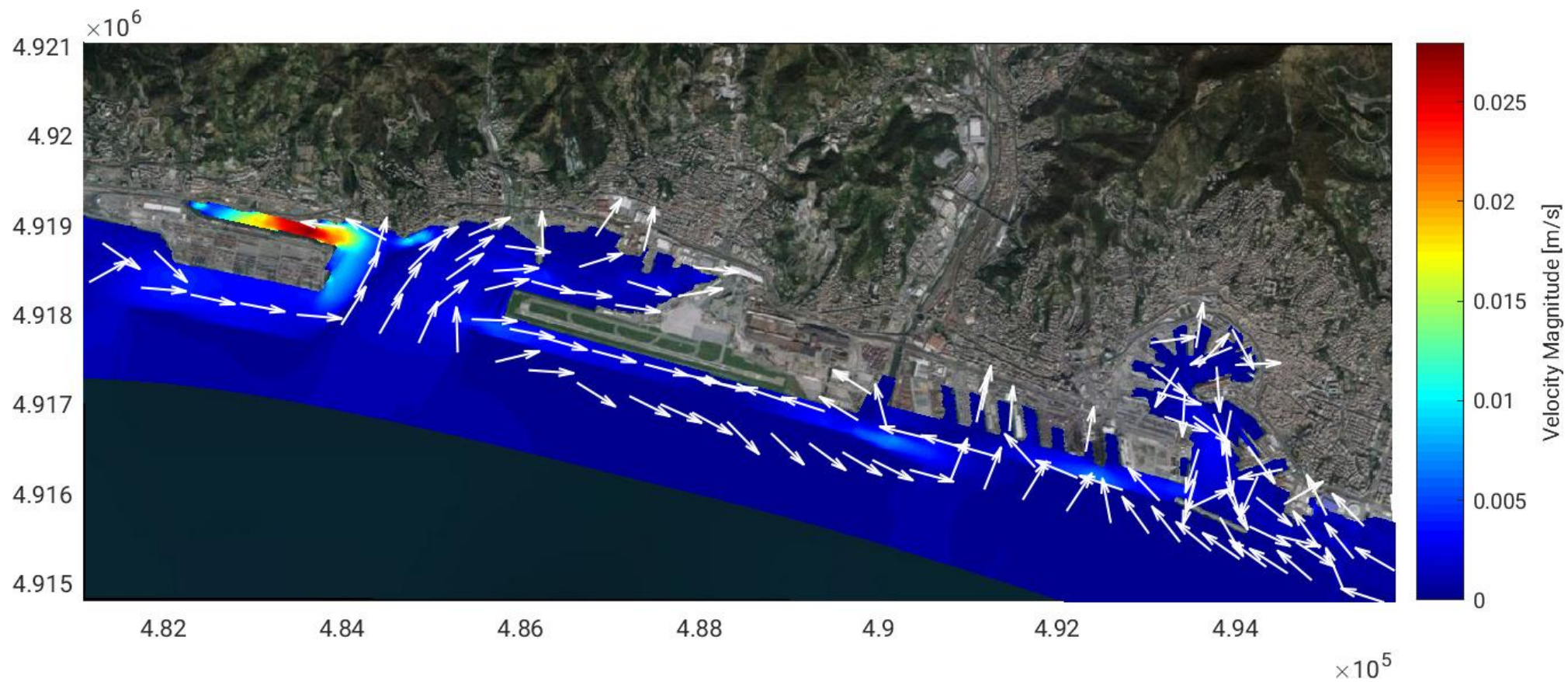
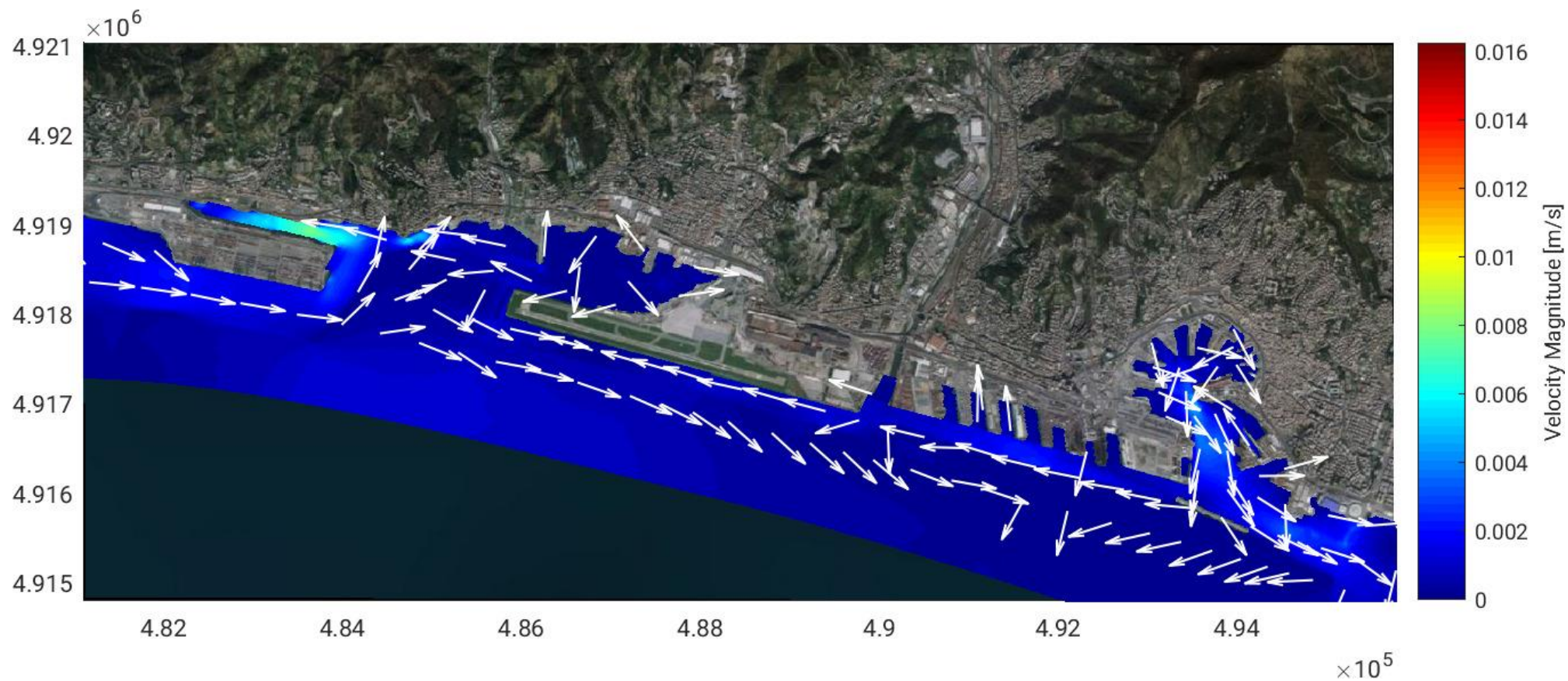


Figura 6: Rappresentazione del campo di velocità in corrispondenza di 4 istanti (6 - 12 - 18 - 24 - h) successive allo sversamento del tracciante [Scenario n. 6]. –
 Figure 6: Représentation de la plage de vitesse à 4 instants (6 - 12 - 18 - 24 - h) après le déversement du traceur [Scénario n° 6].







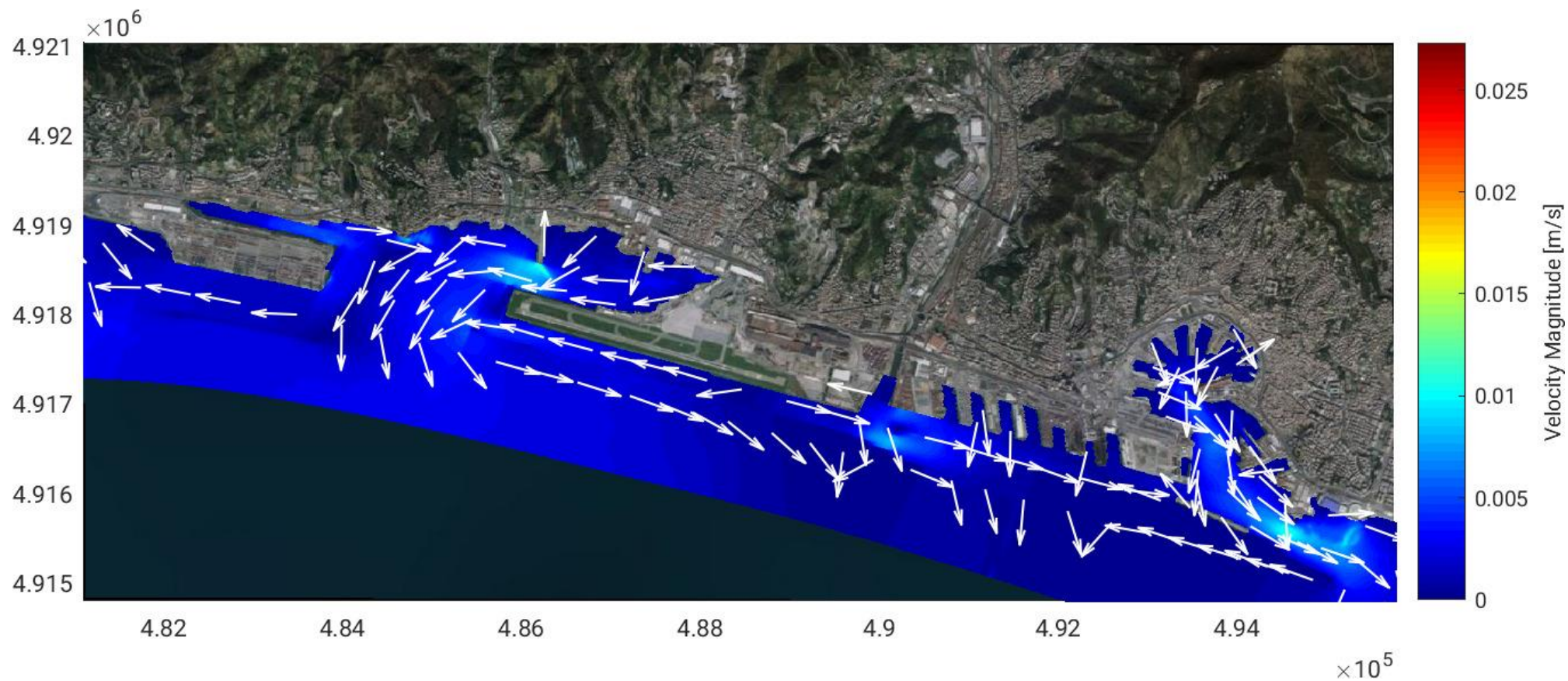
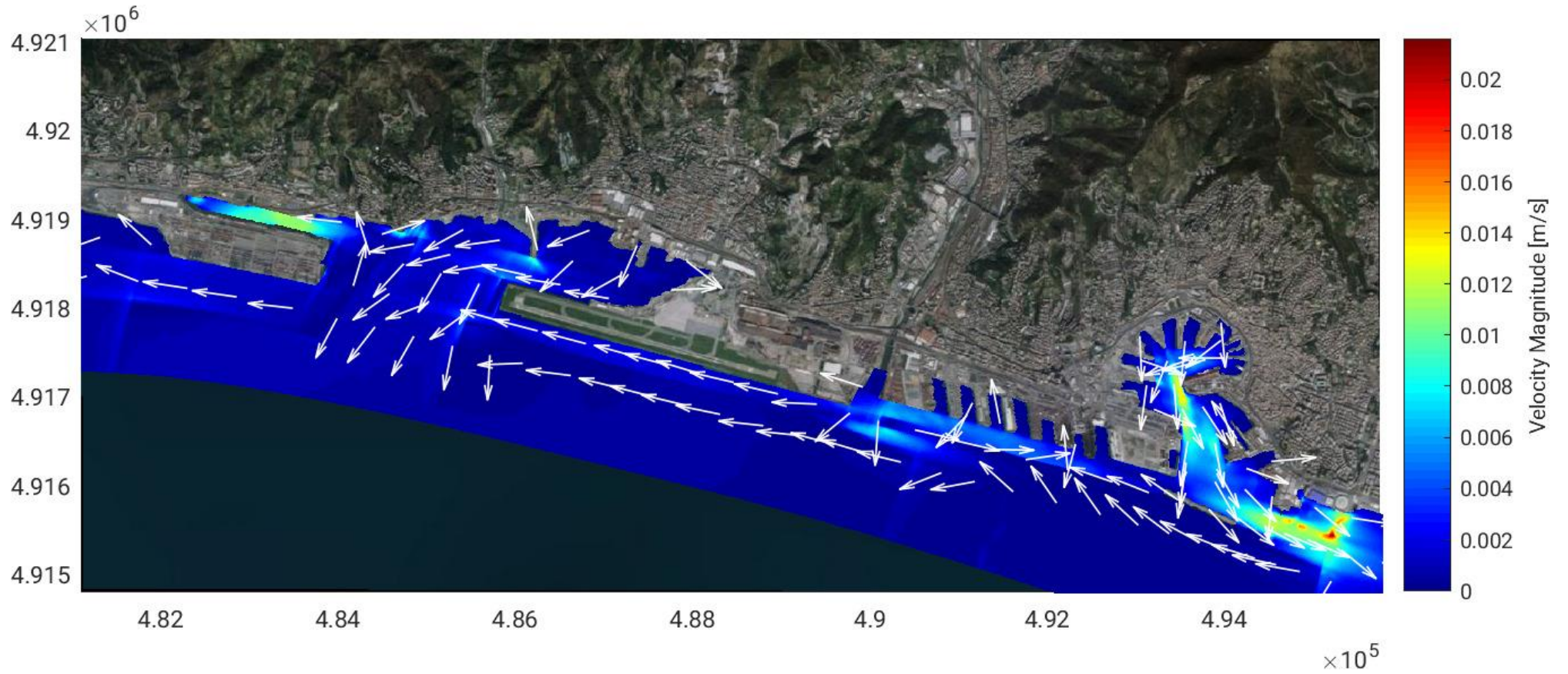
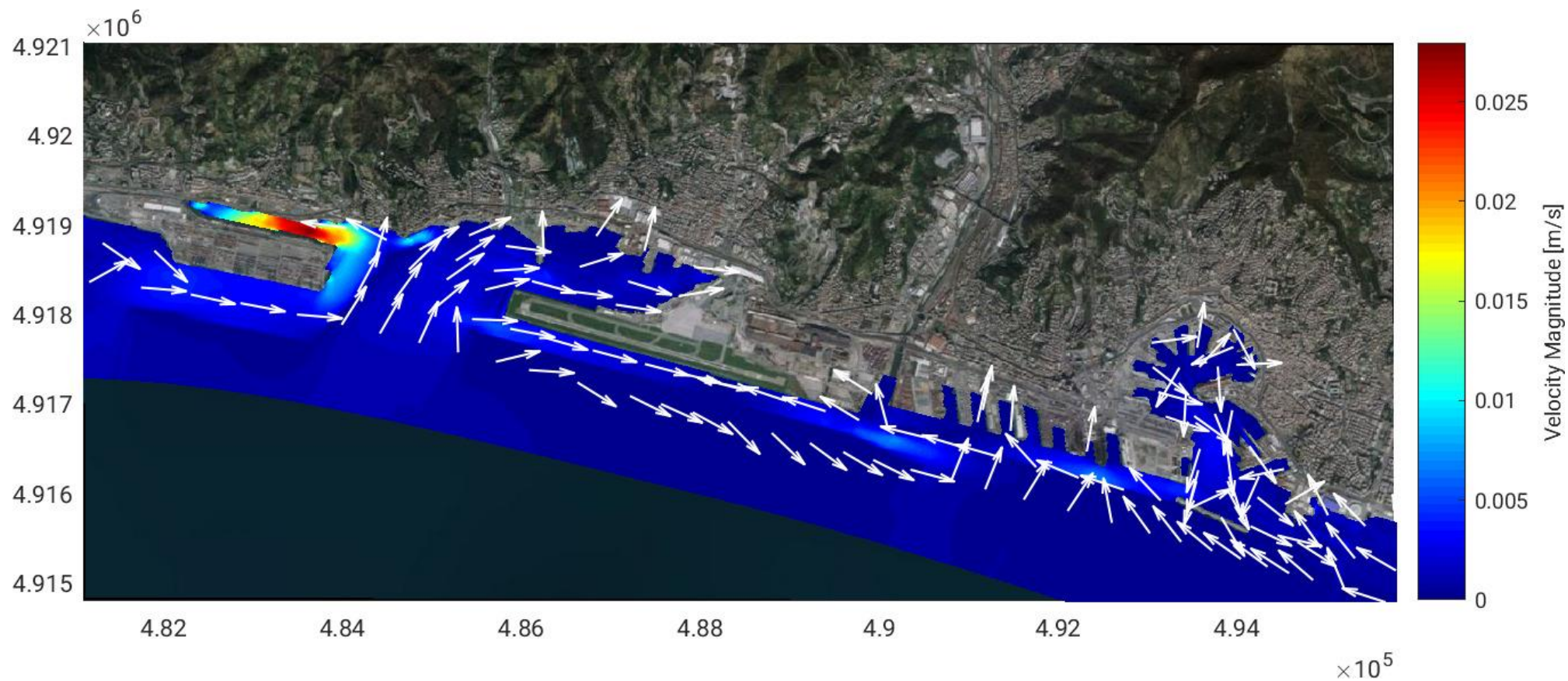
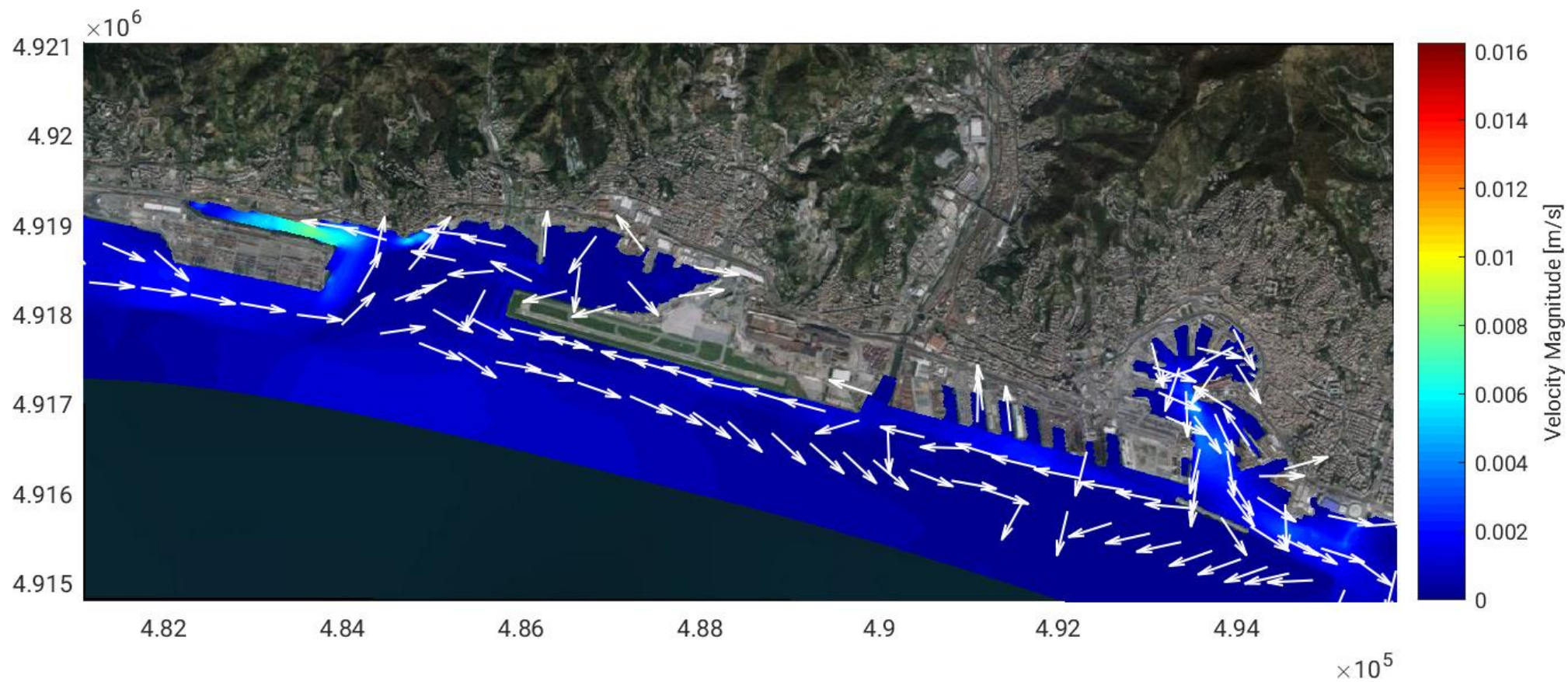
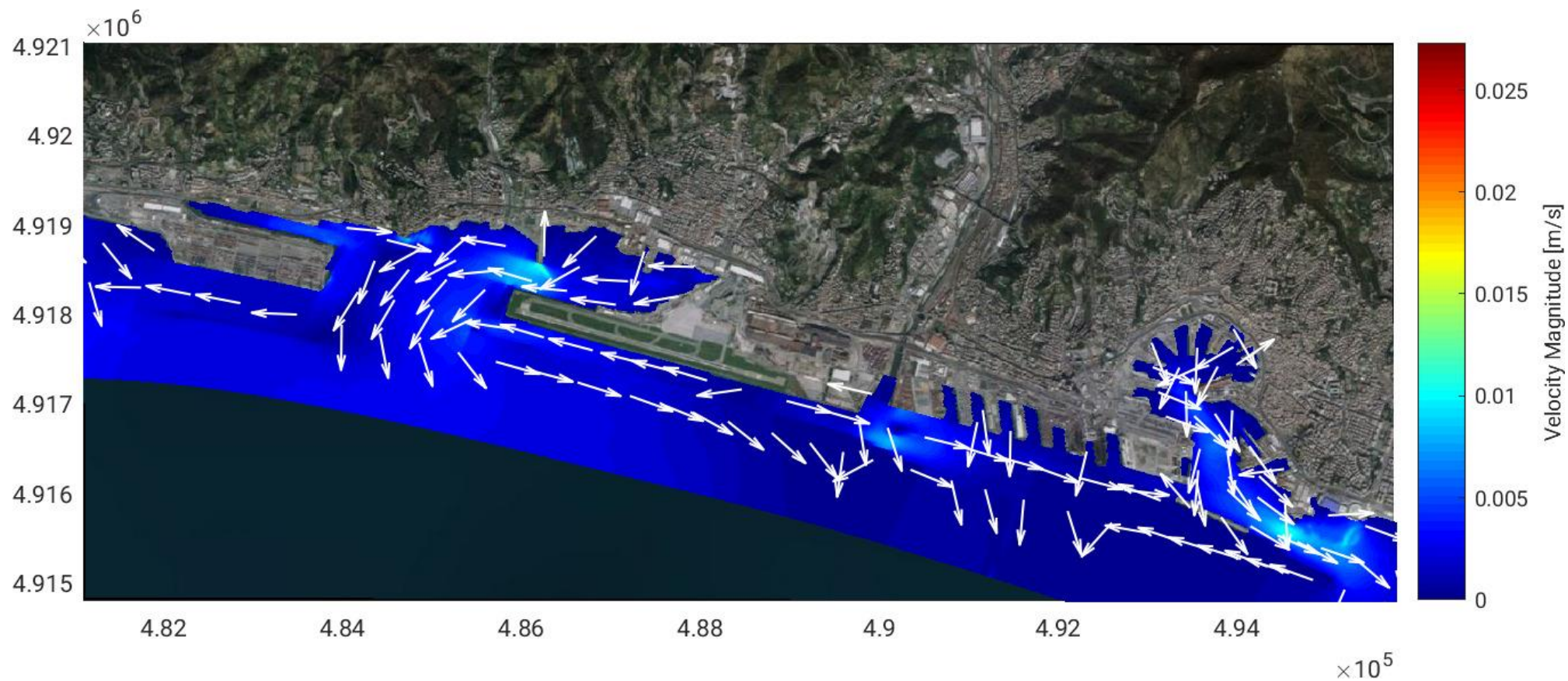


Figura 7: - Rappresentazione del campo di velocità in corrispondenza di 4 istanti (6 - 12 - 18 - 24 - h) successive allo sversamento del tracciante [Scenario n. 9]. –
 Figure 7: Représentation de la plage de vitesse à 4 instants (6 - 12 - 18 - 24 - h) après le déversement du traceur [Scénario n° 9].

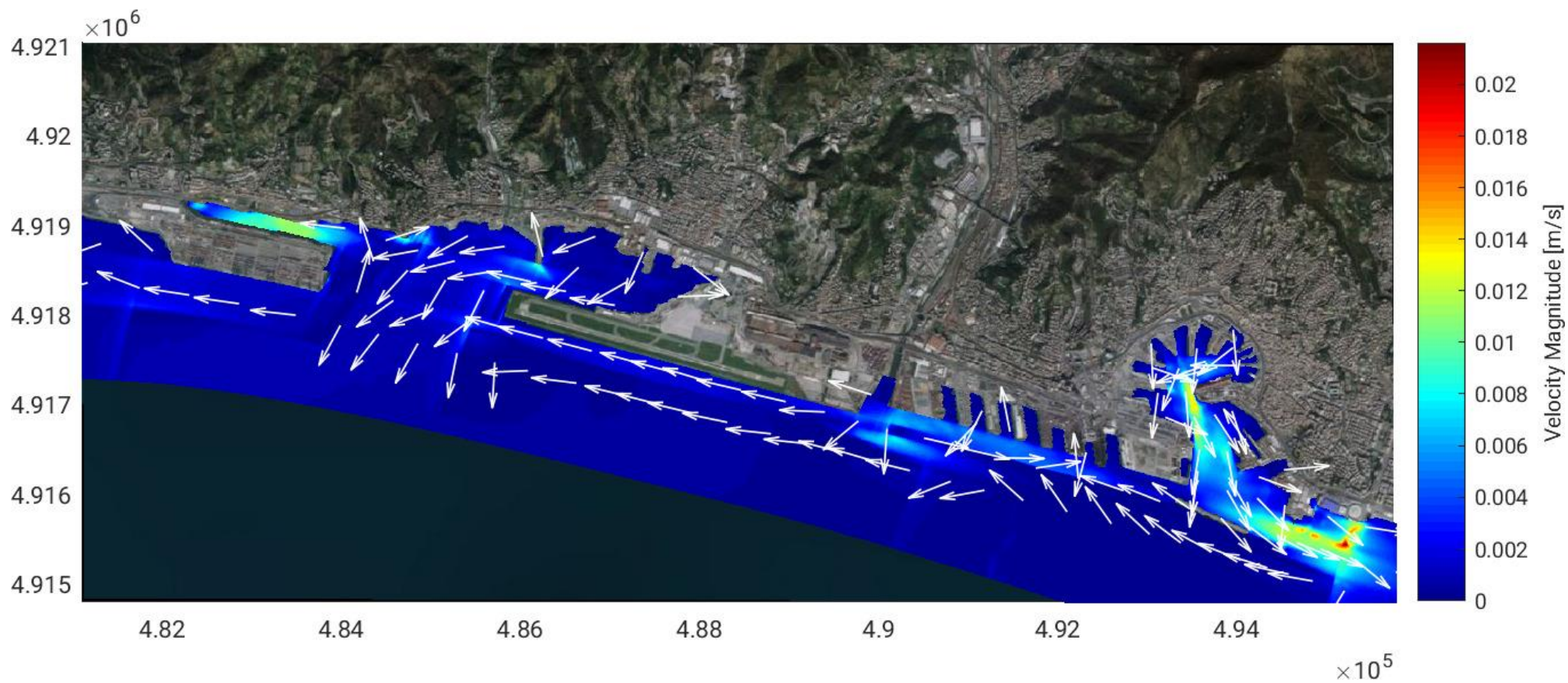


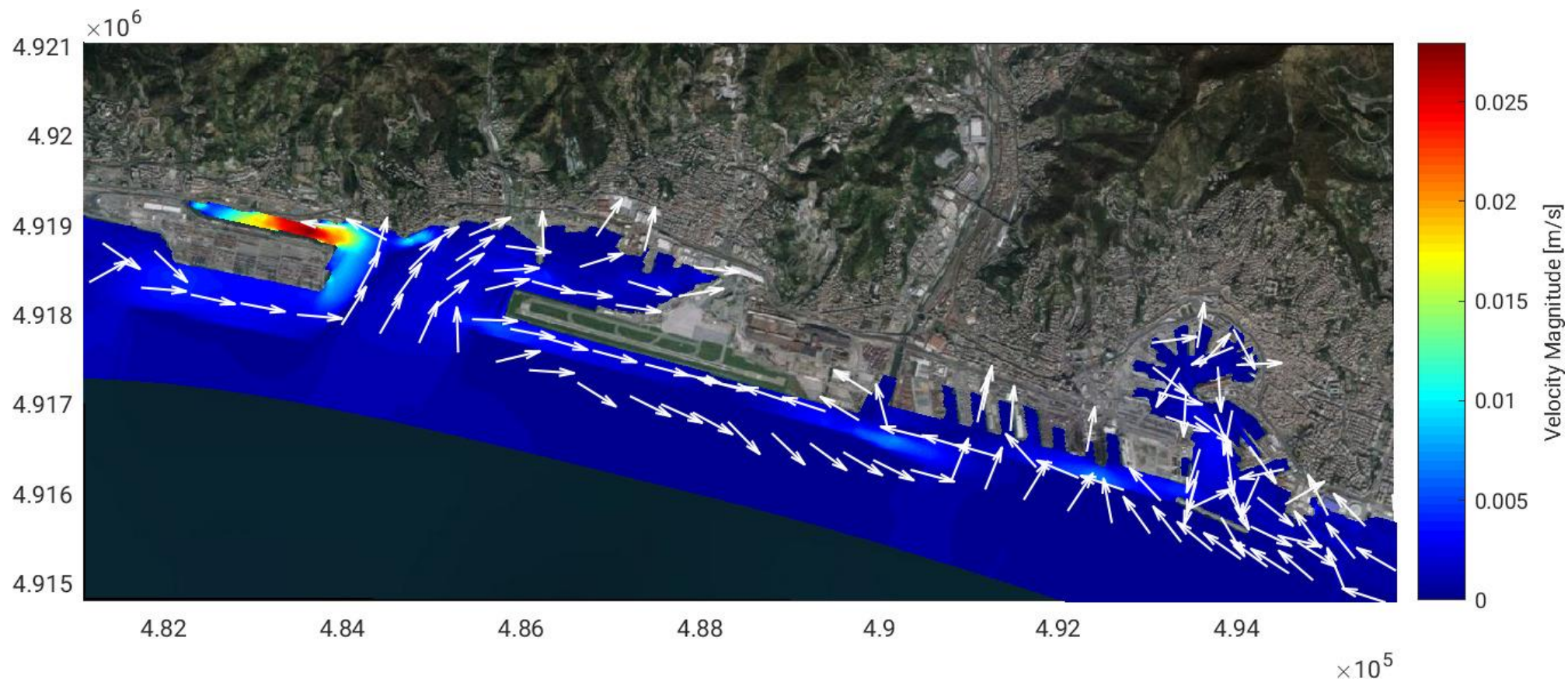


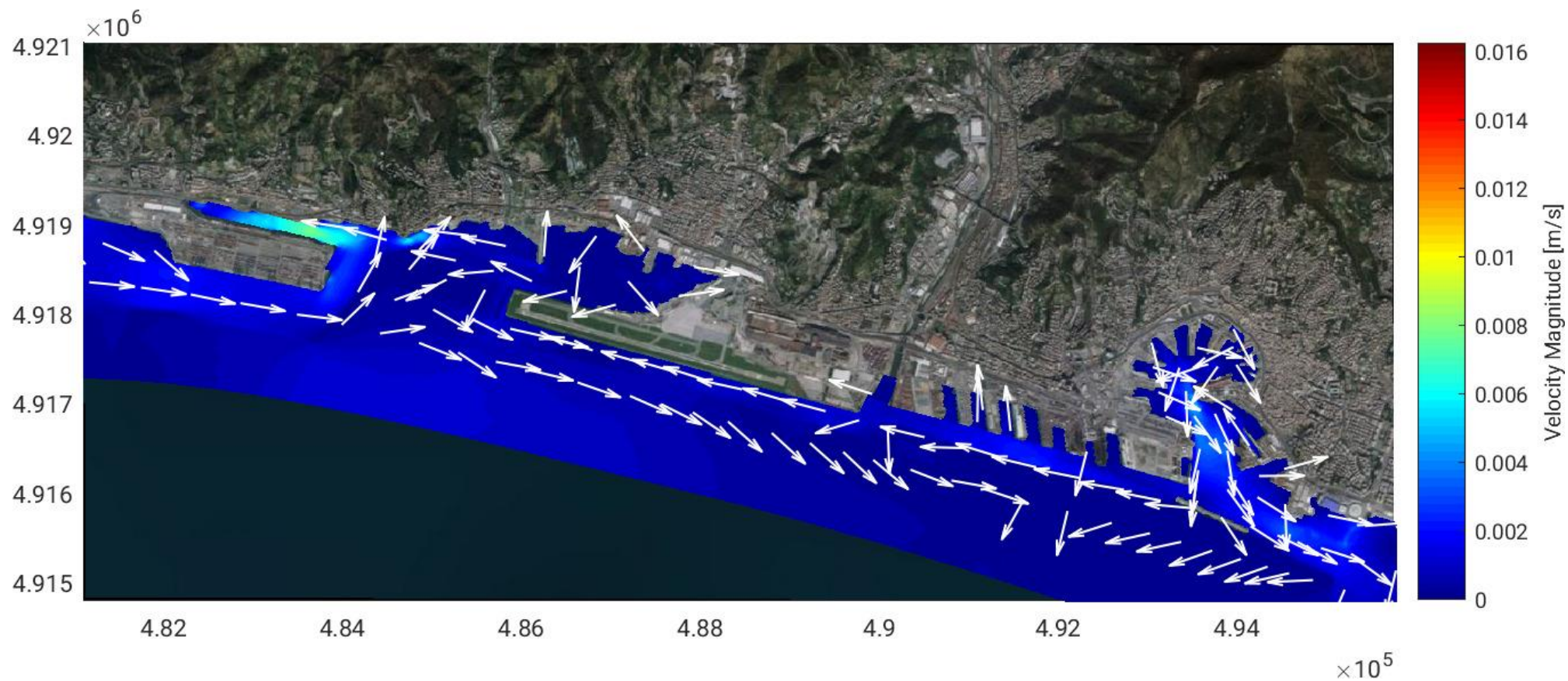




*Figura 8: Rappresentazione del campo di velocità in corrispondenza di 4 istanti (6 - 12 - 18 - 24 - h) successive allo sversamento del tracciante [Scenario n. 10]. –
Figure 8: Représentation de la plage de vitesse à 4 instants (6 - 12 - 18 - 24 - h) après le déversement du traceur [Scénario n° 10].*







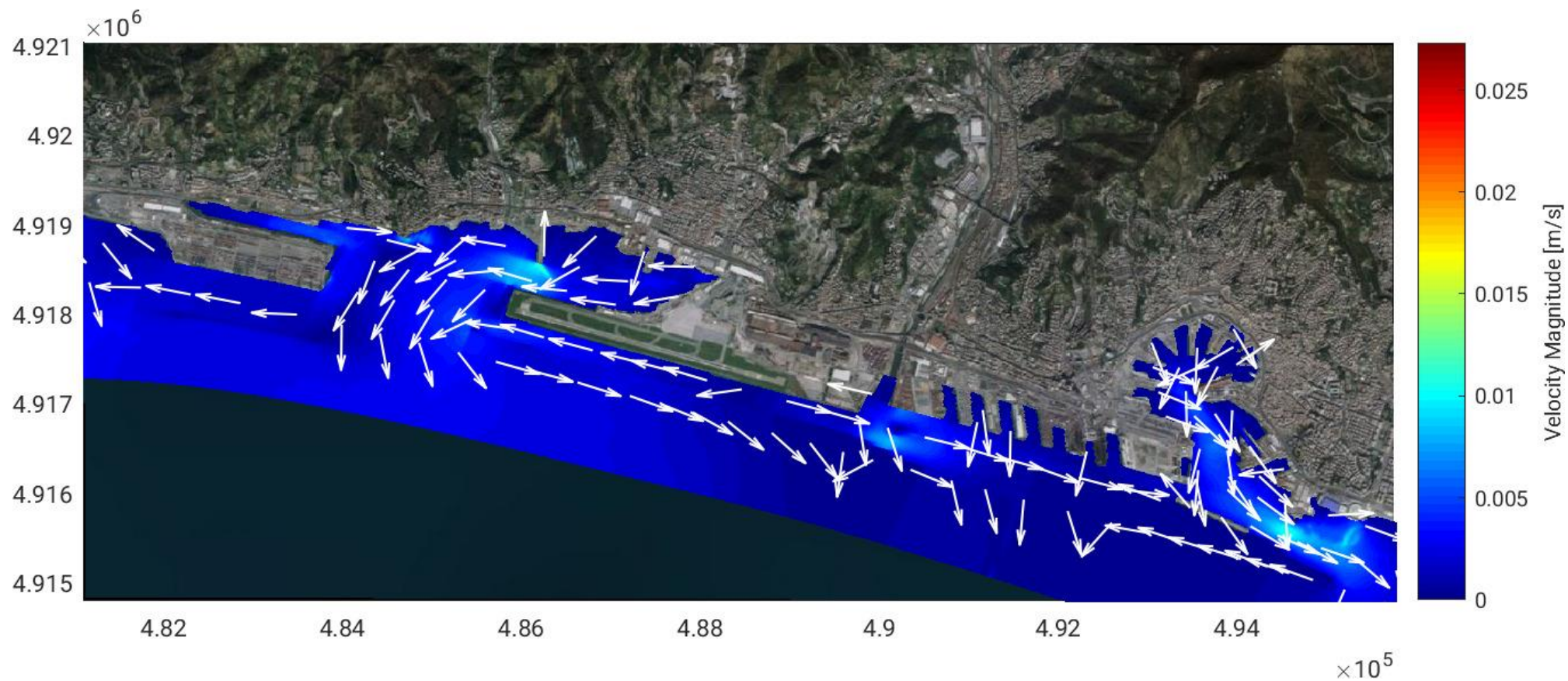
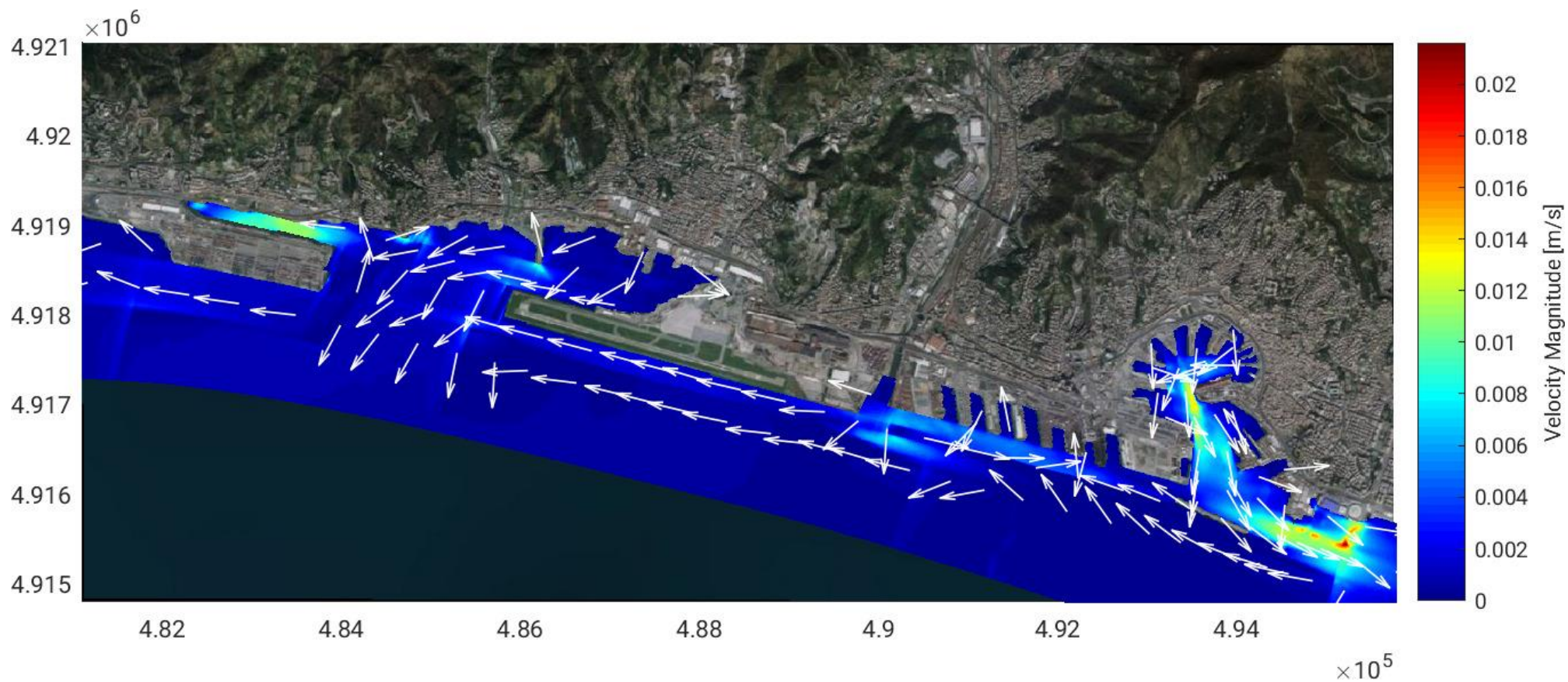
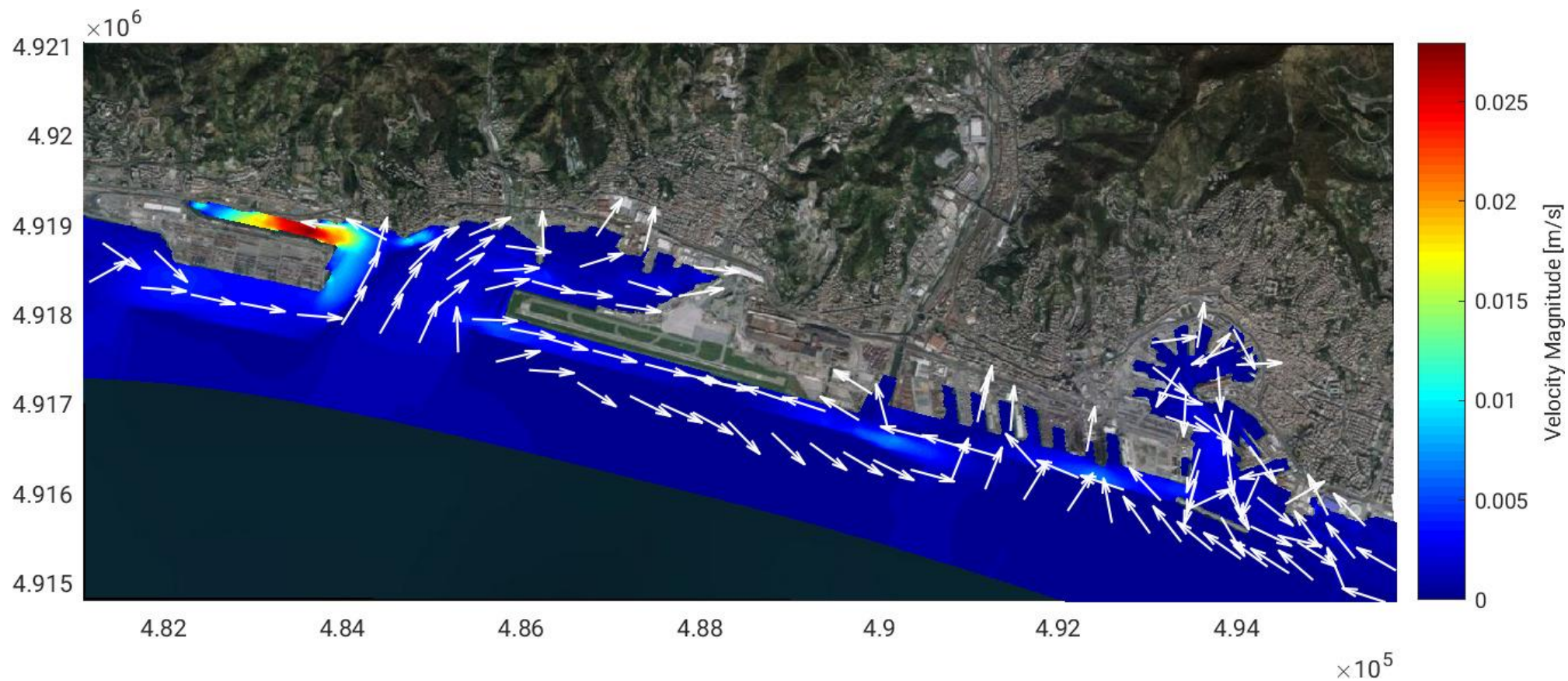
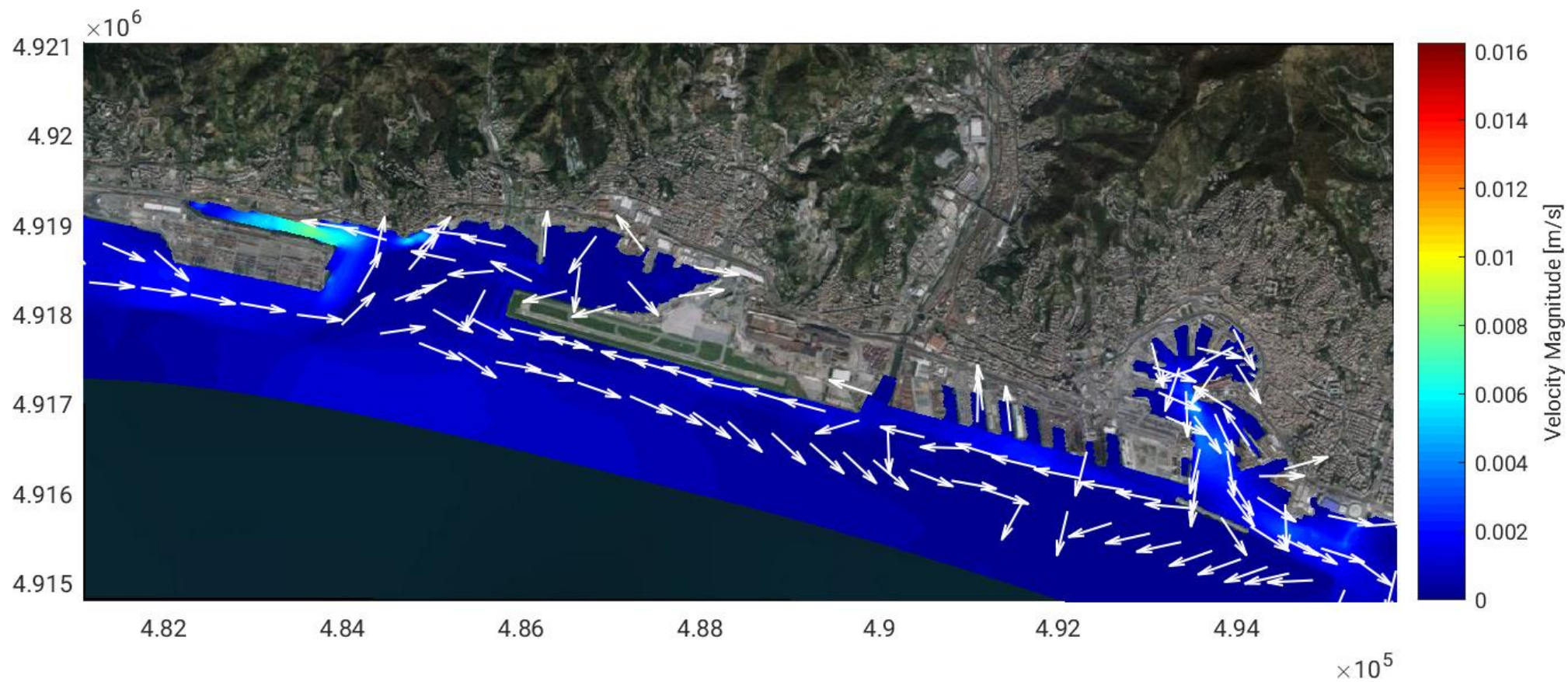


Figura 9: - Rappresentazione del campo di velocità in corrispondenza di 4 istanti (6 - 12 - 18 - 24 - h) successive allo sversamento del tracciante [Scenario n. 14]. -
 Figure 9 : Représentation de la plage de vitesse à 4 instants (6 - 12 - 18 - 24 - h) après le déversement du traceur [Scénario n° 14].







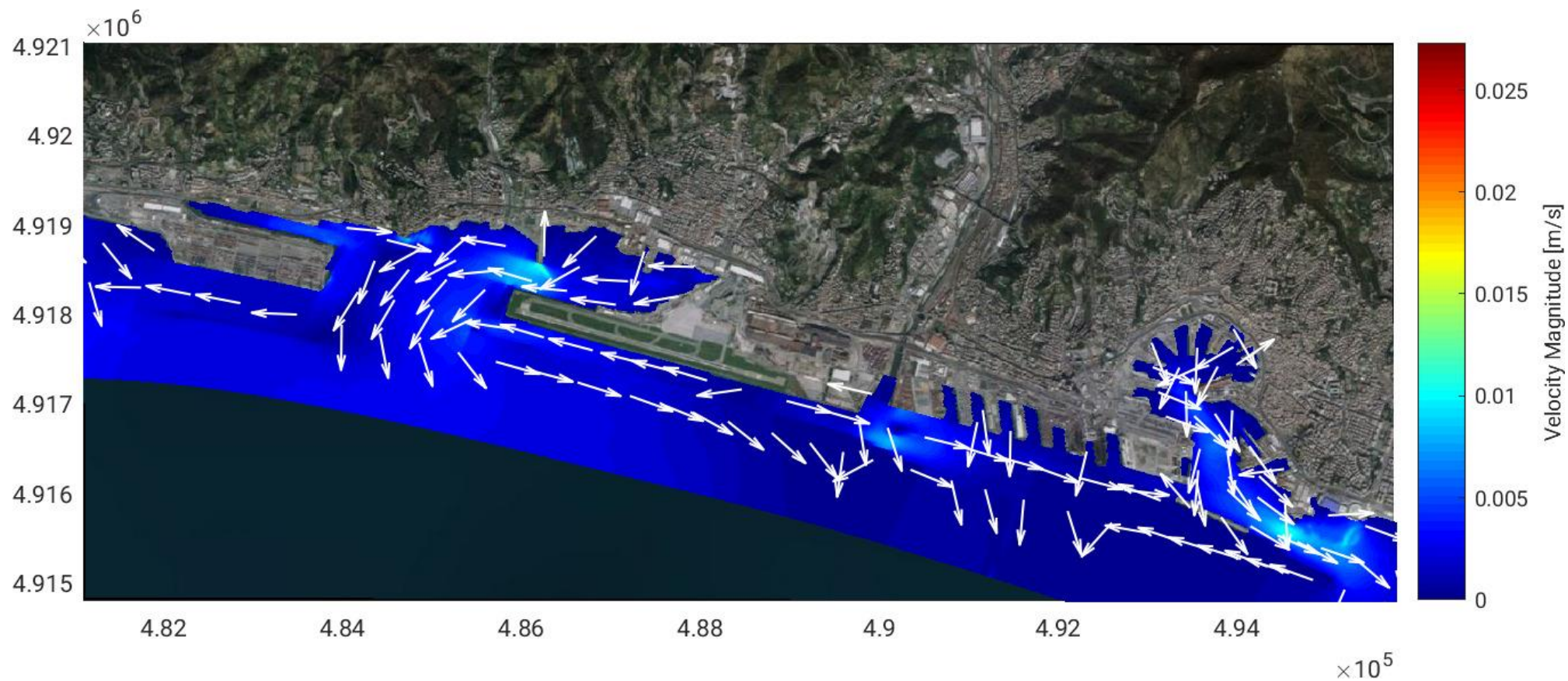
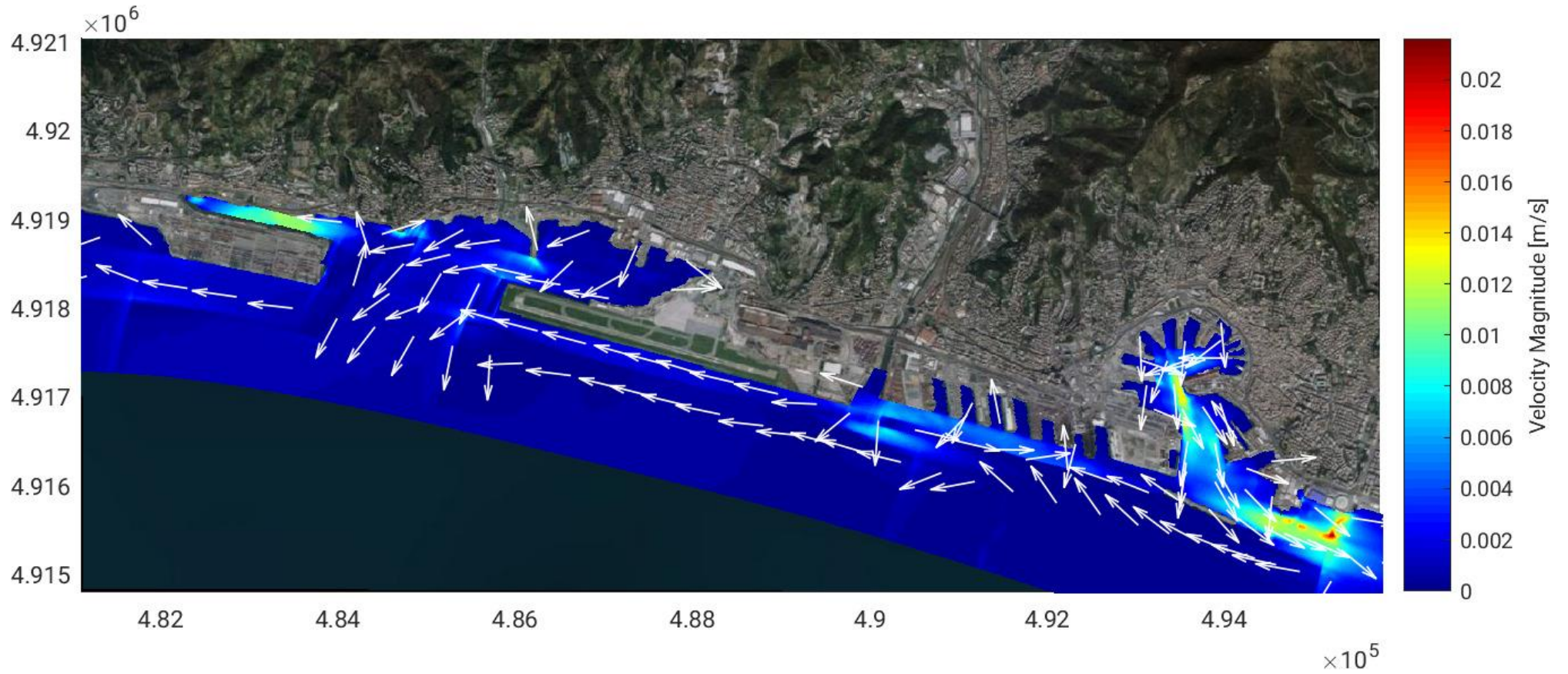
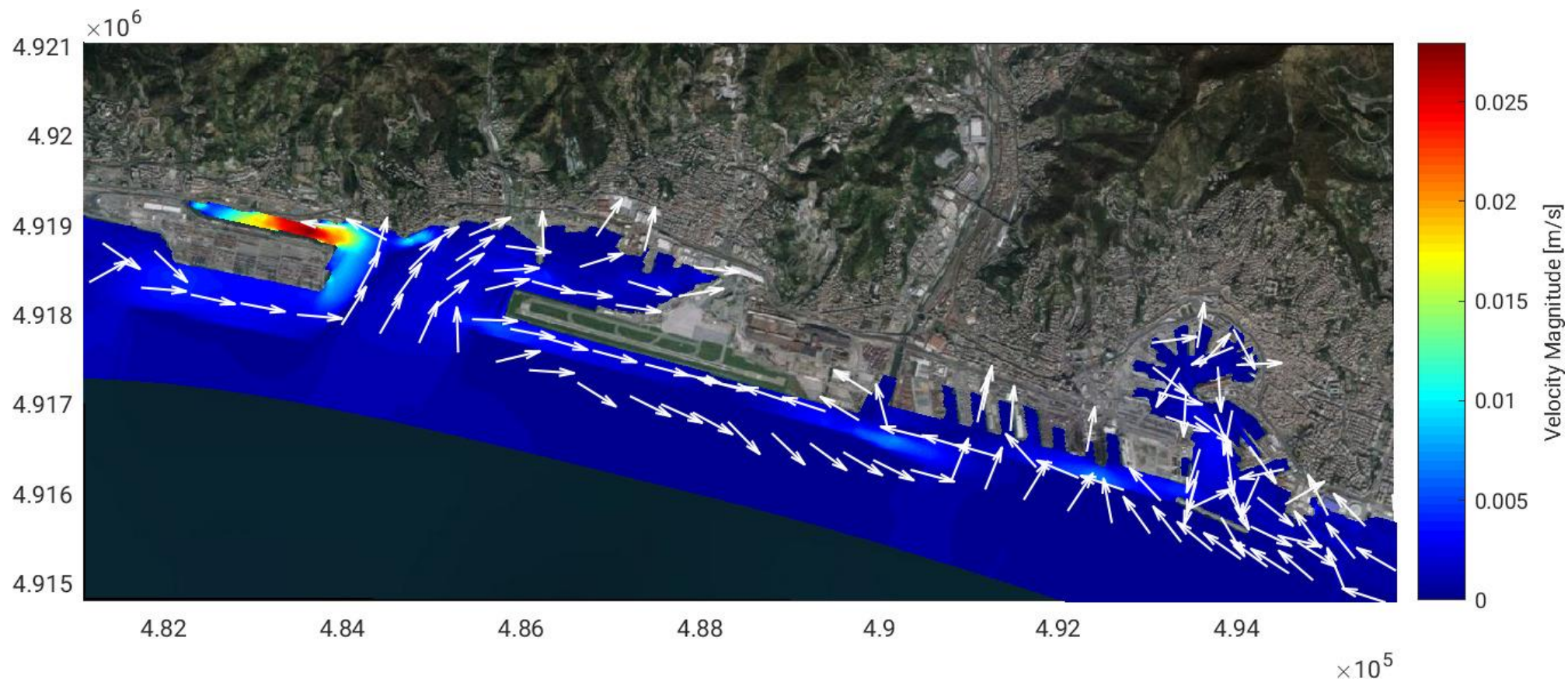
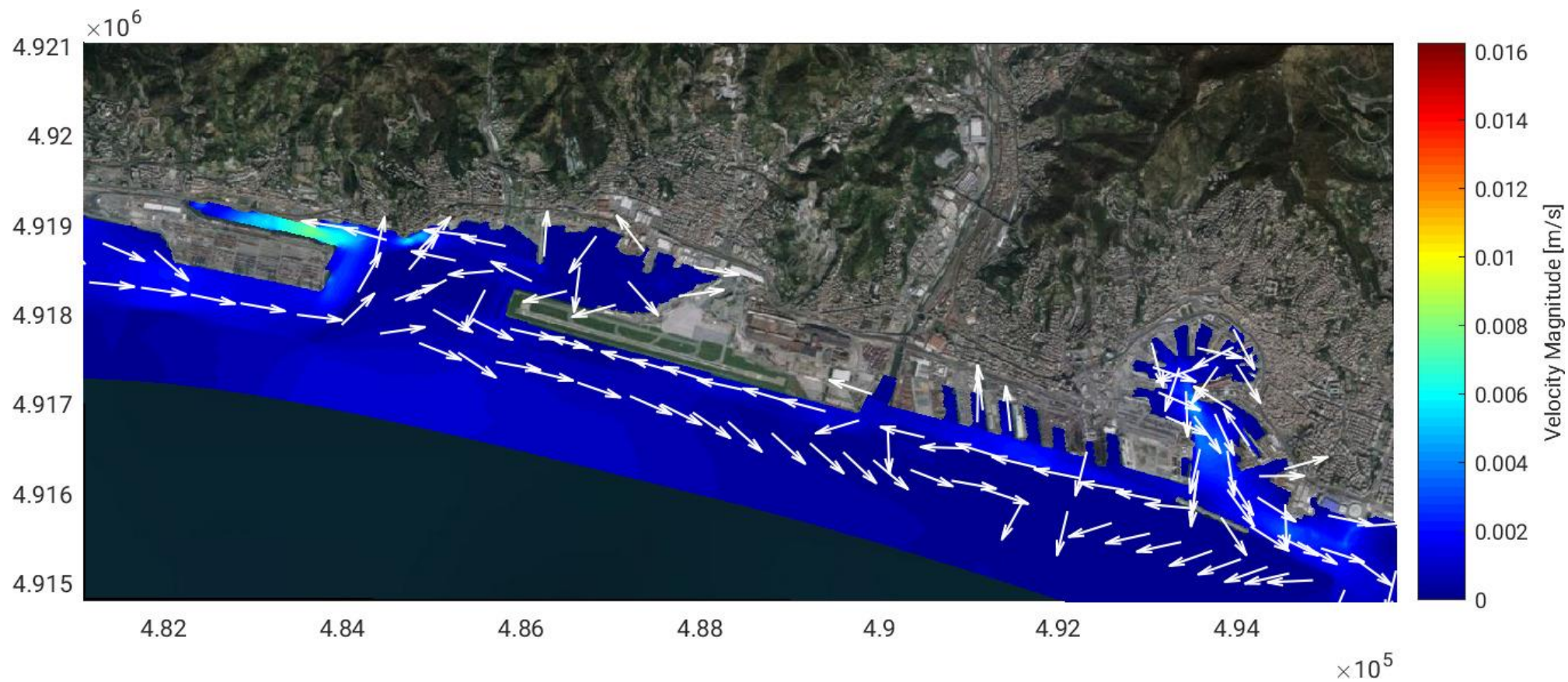


Figura 10: Rappresentazione del campo di velocità in corrispondenza di 4 istanti (6 - 12 - 18 - 24 - h) successive allo sversamento del tracciante [Scenario n. 16]. –
 Figure 10: Représentation de la plage de vitesse à 4 instants (6 - 12 - 18 - 24 - h) après le déversement du traceur [Scénario n° 16].







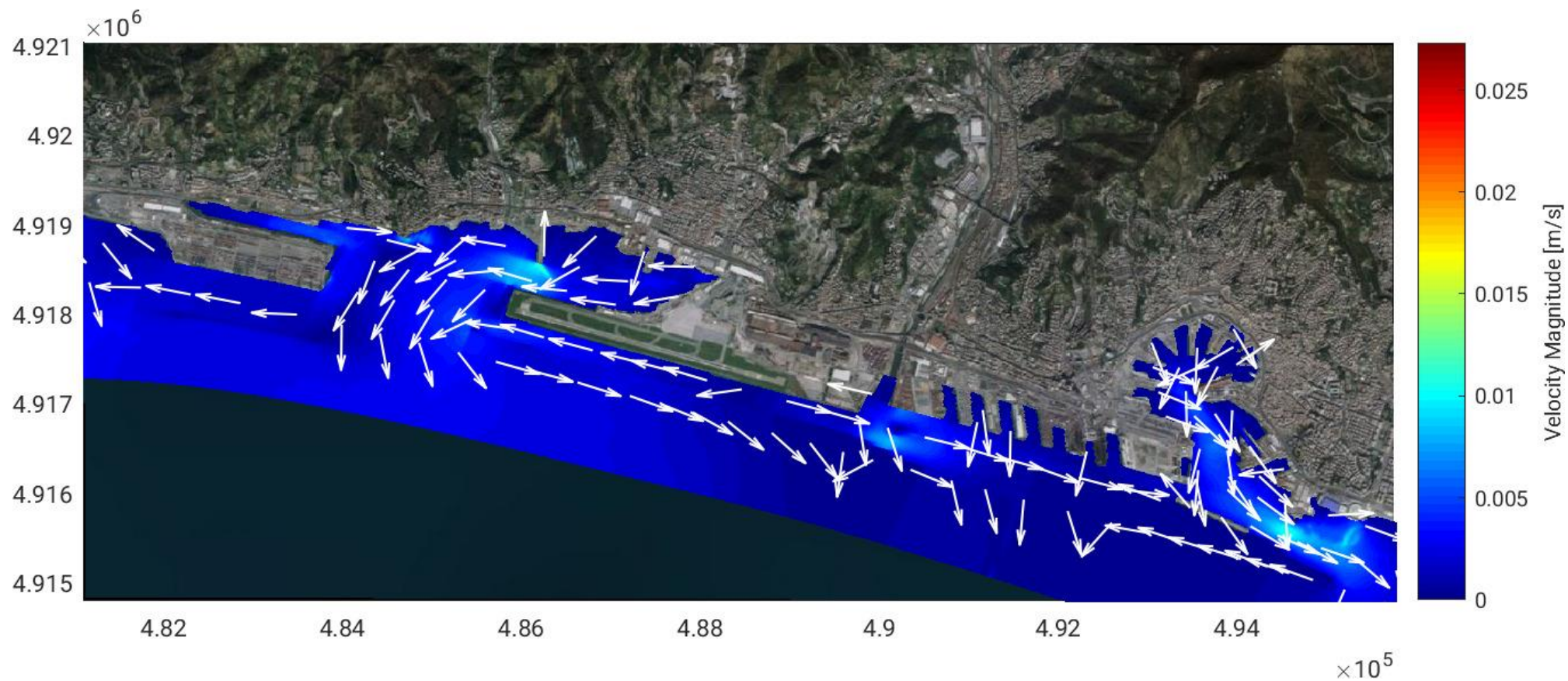
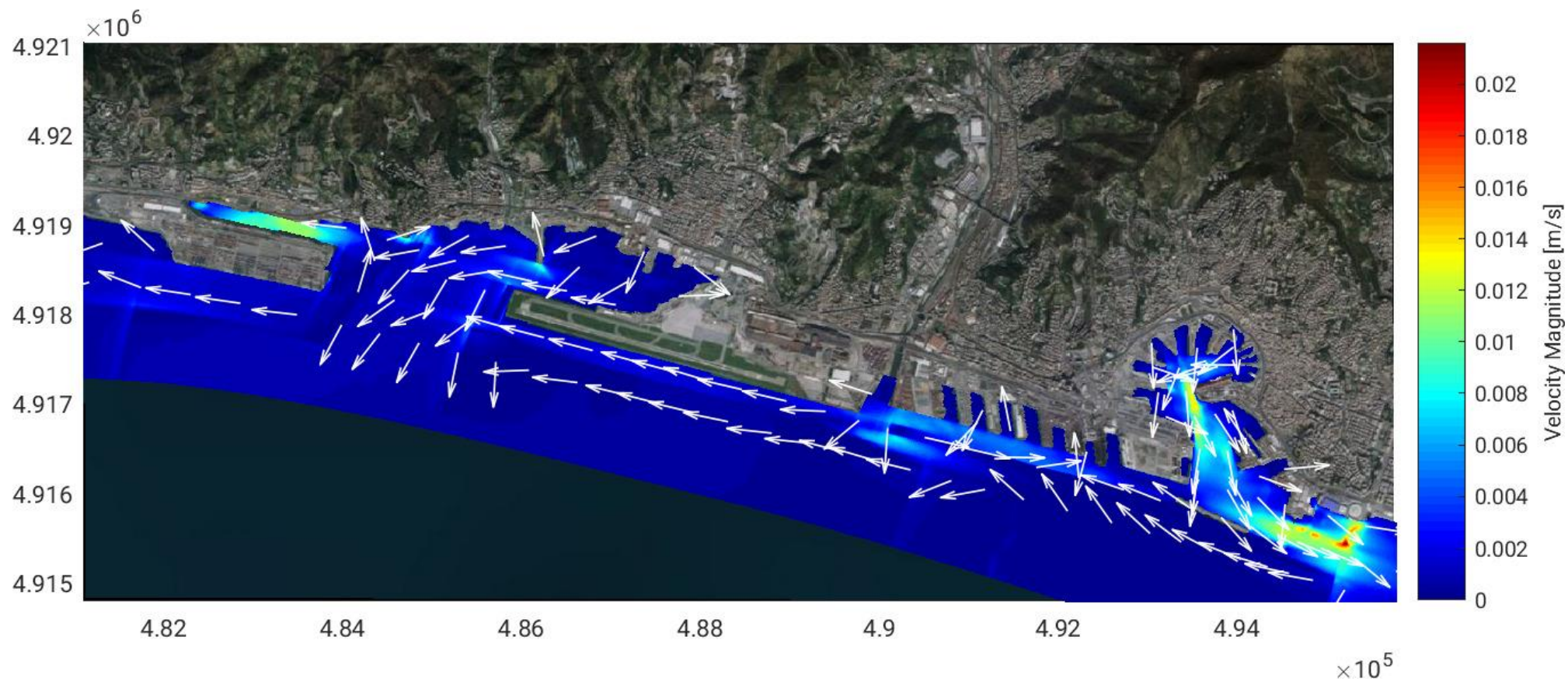
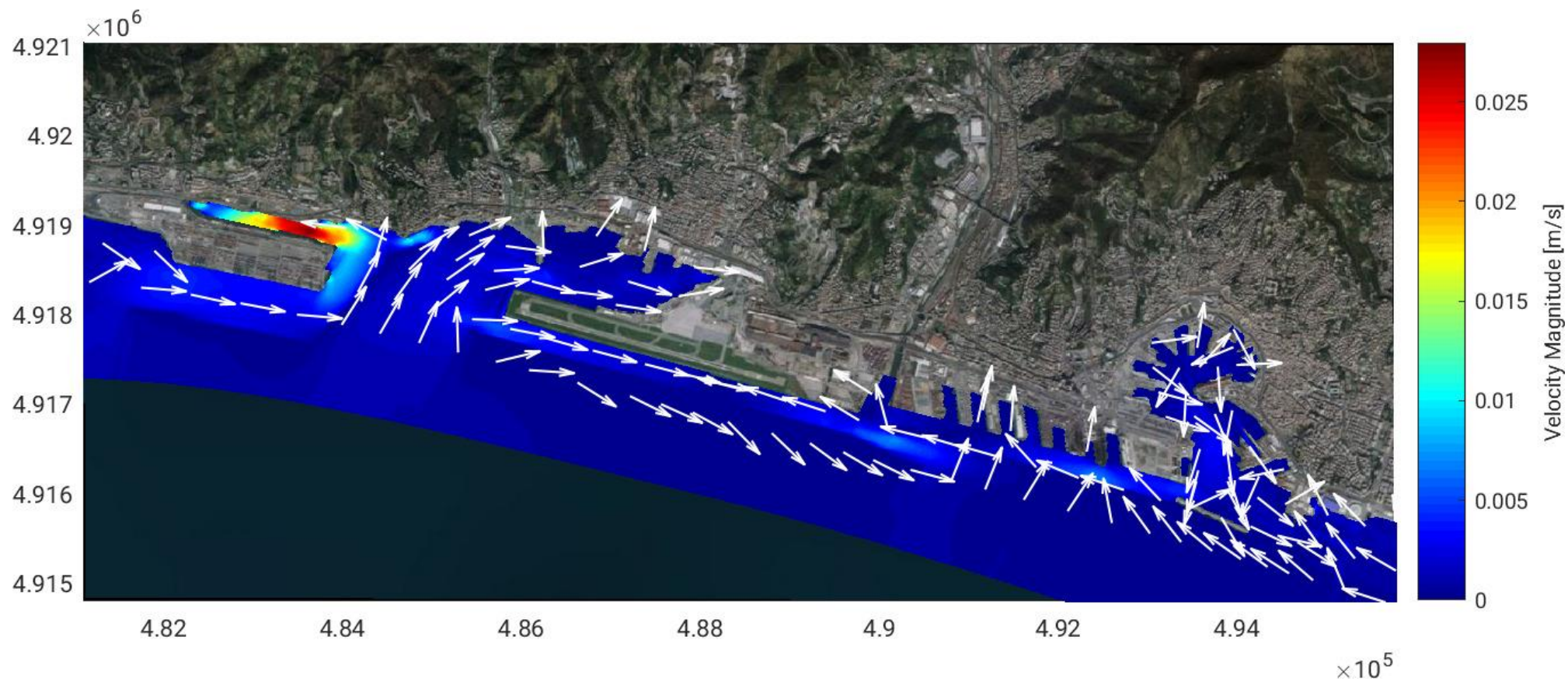
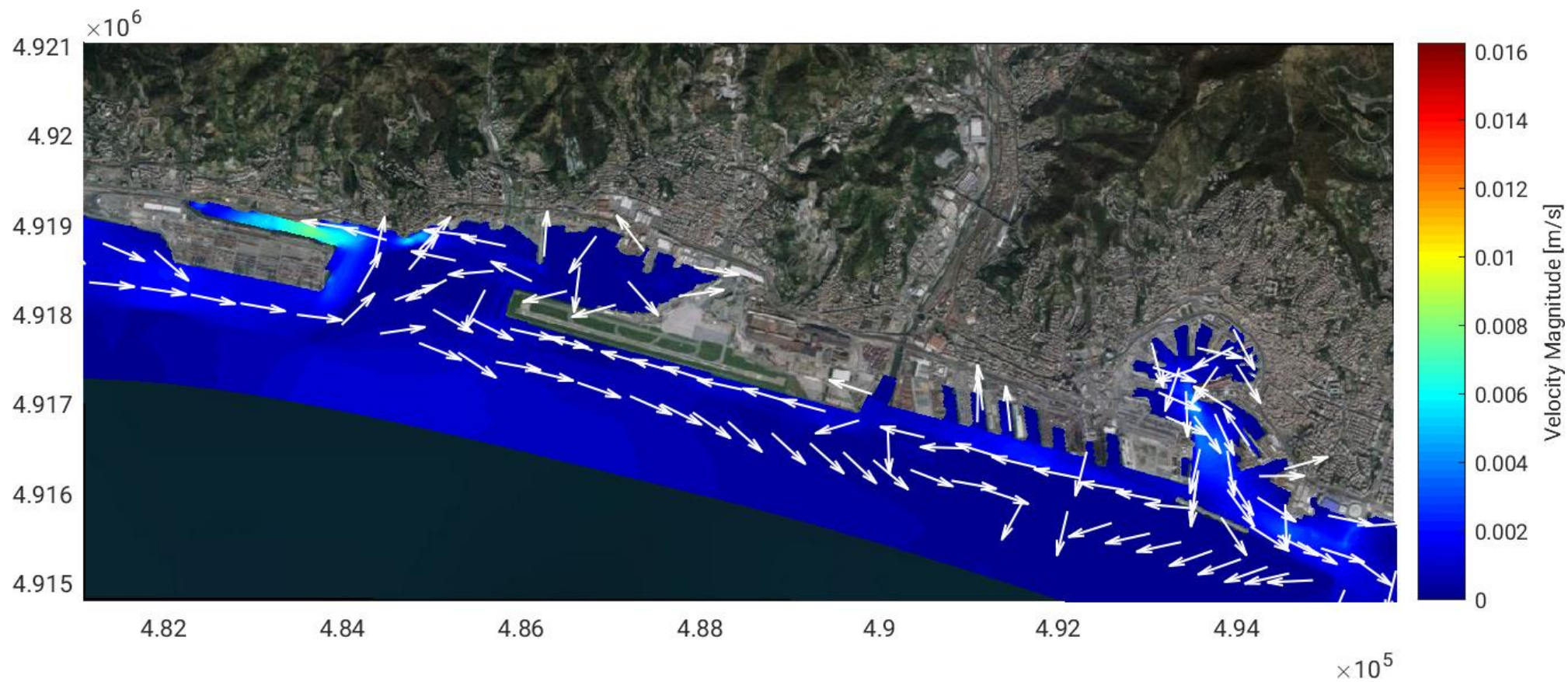


Figura 11: Rappresentazione del campo di velocità in corrispondenza di 4 istanti (6 - 12 - 18 - 24 - h) successive allo sversamento del tracciante [Scenario n. 18]. -
 Figure 11 : Représentation de la plage de vitesse à 4 instants (6 - 12 - 18 - 24 - h) après le déversement du traceur [Scénario n° 18].







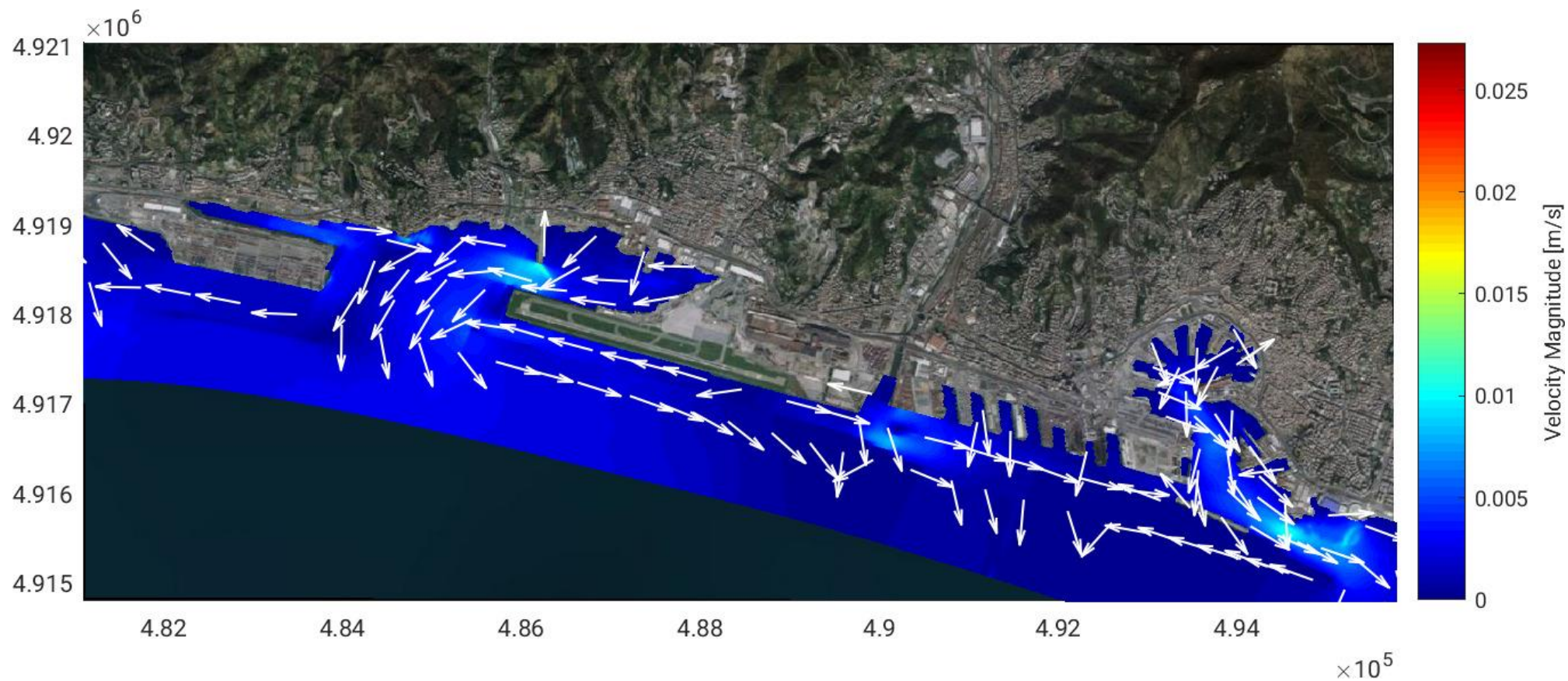
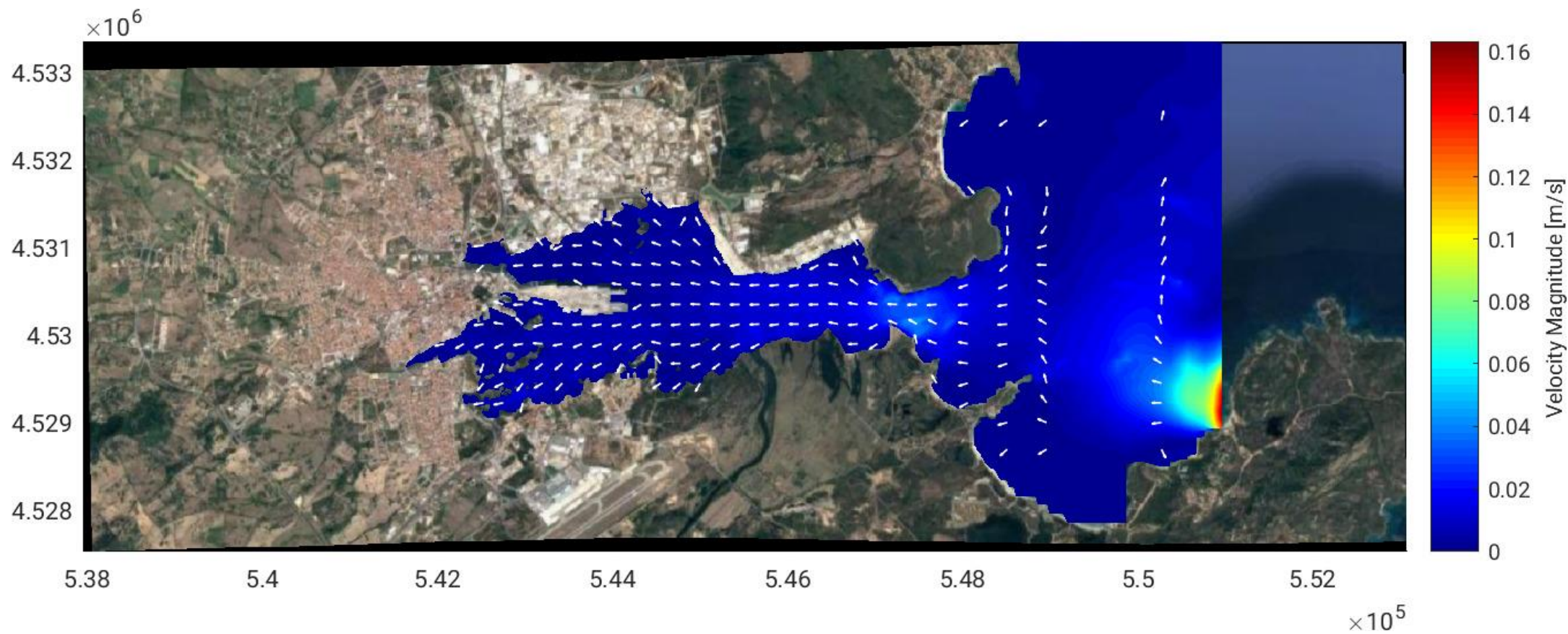
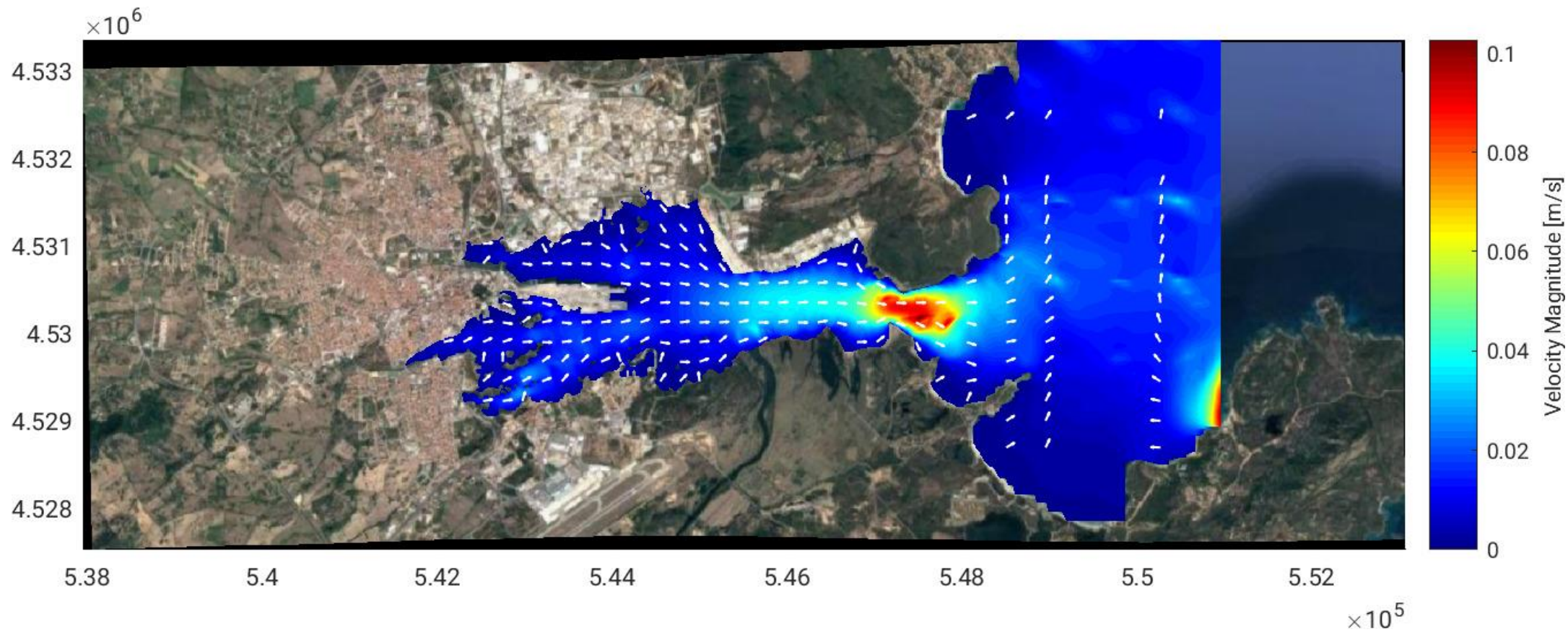
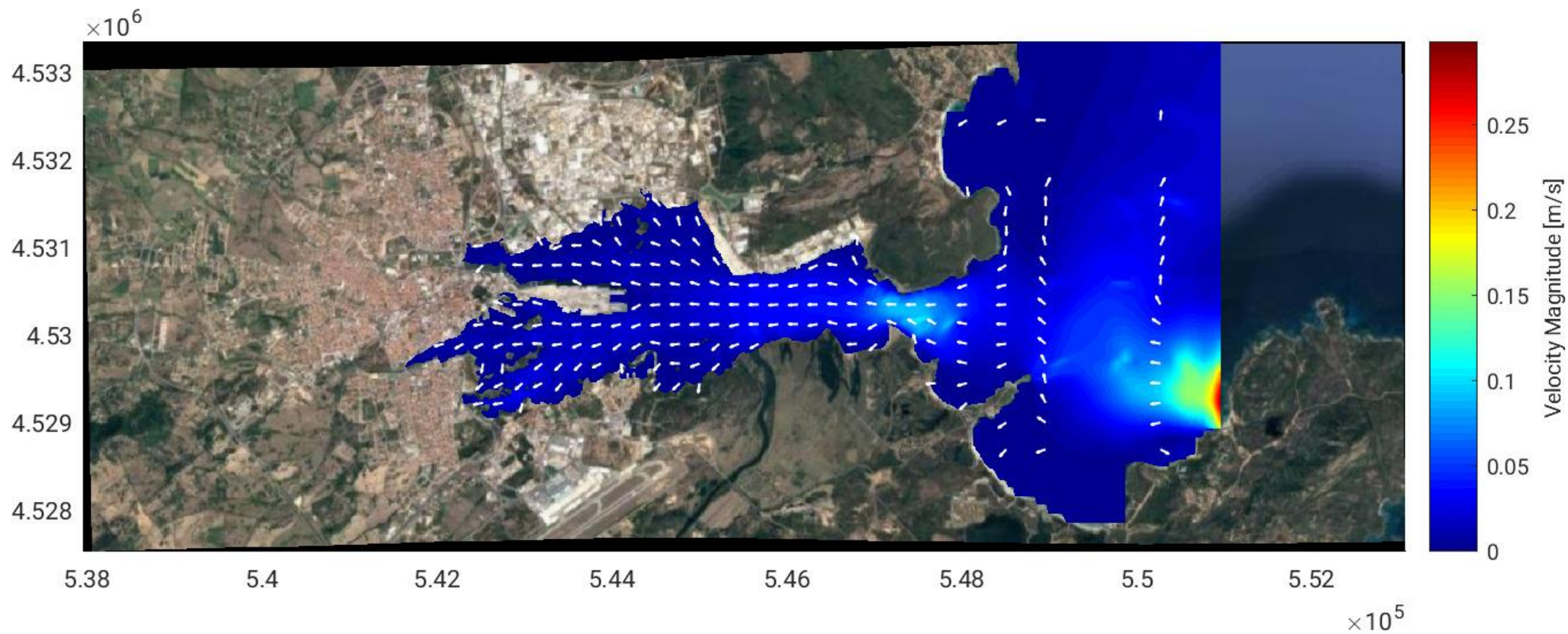


Figura 12: Rappresentazione del campo di velocità in corrispondenza di 4 istanti (6 - 12 - 18 - 24 - h) successive allo sversamento del tracciante [Scenario n. 22]. –
 Figure 12 : Représentation de la plage de vitesse à 4 instants (6 - 12 - 18 - 24 - h) après le déversement du traceur [Scénario n° 4].







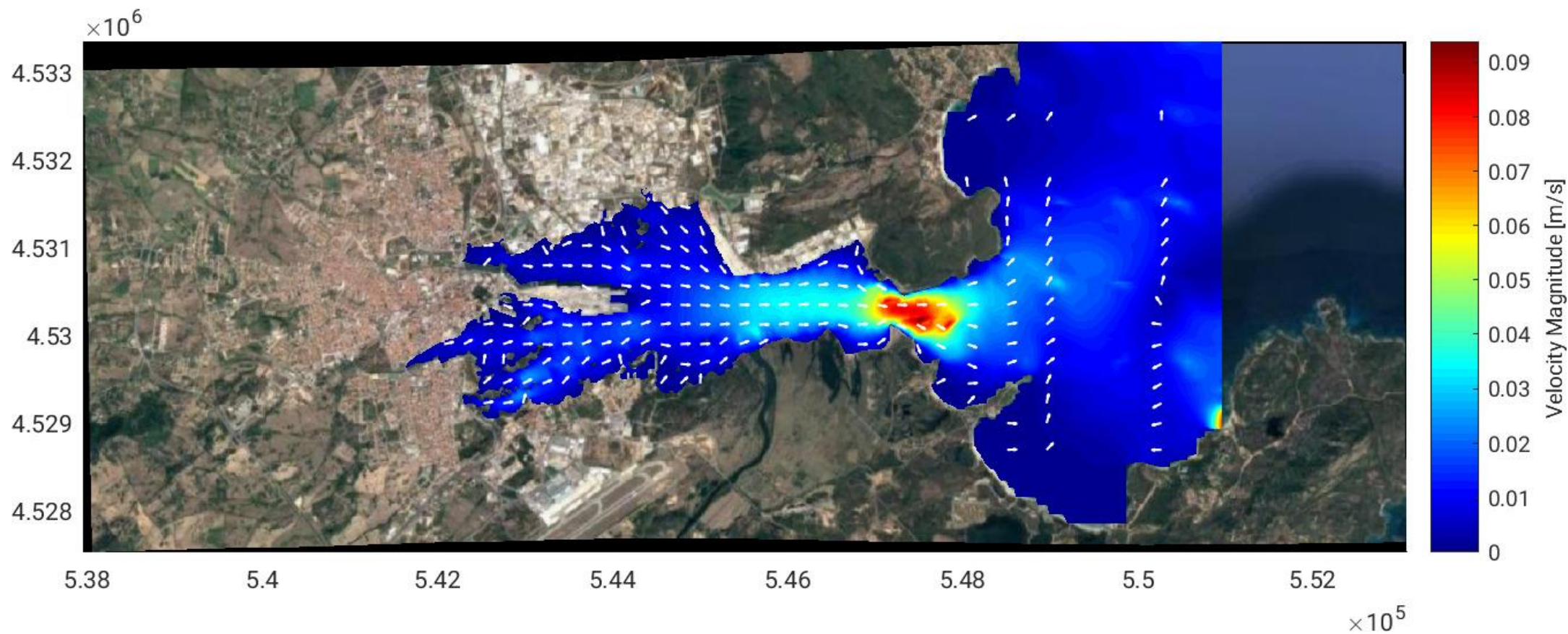
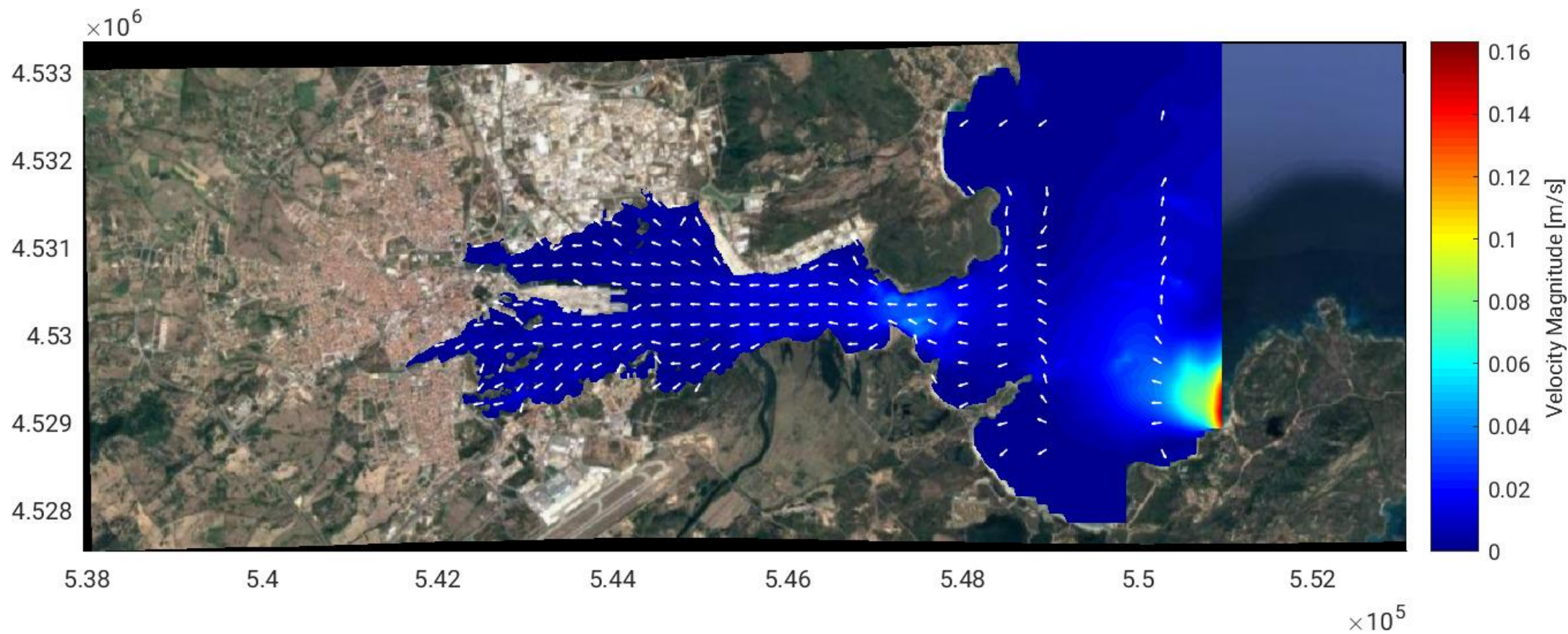
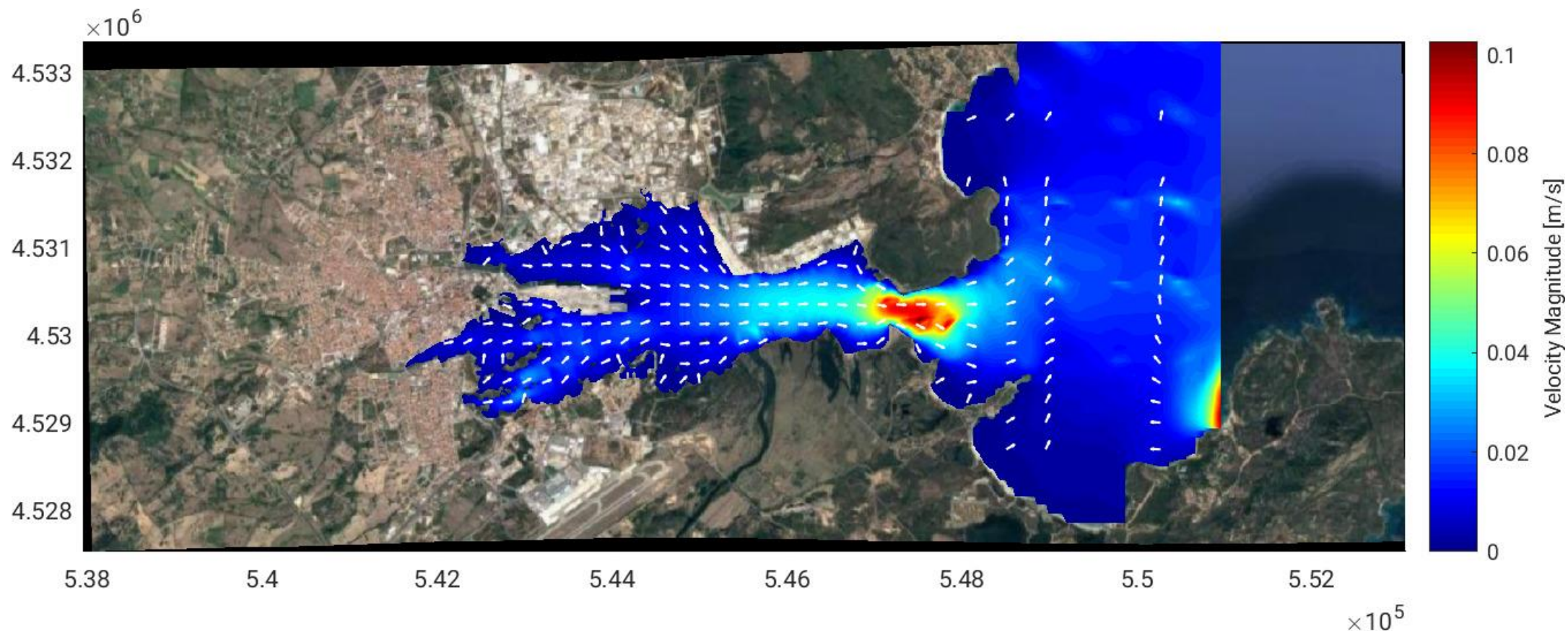
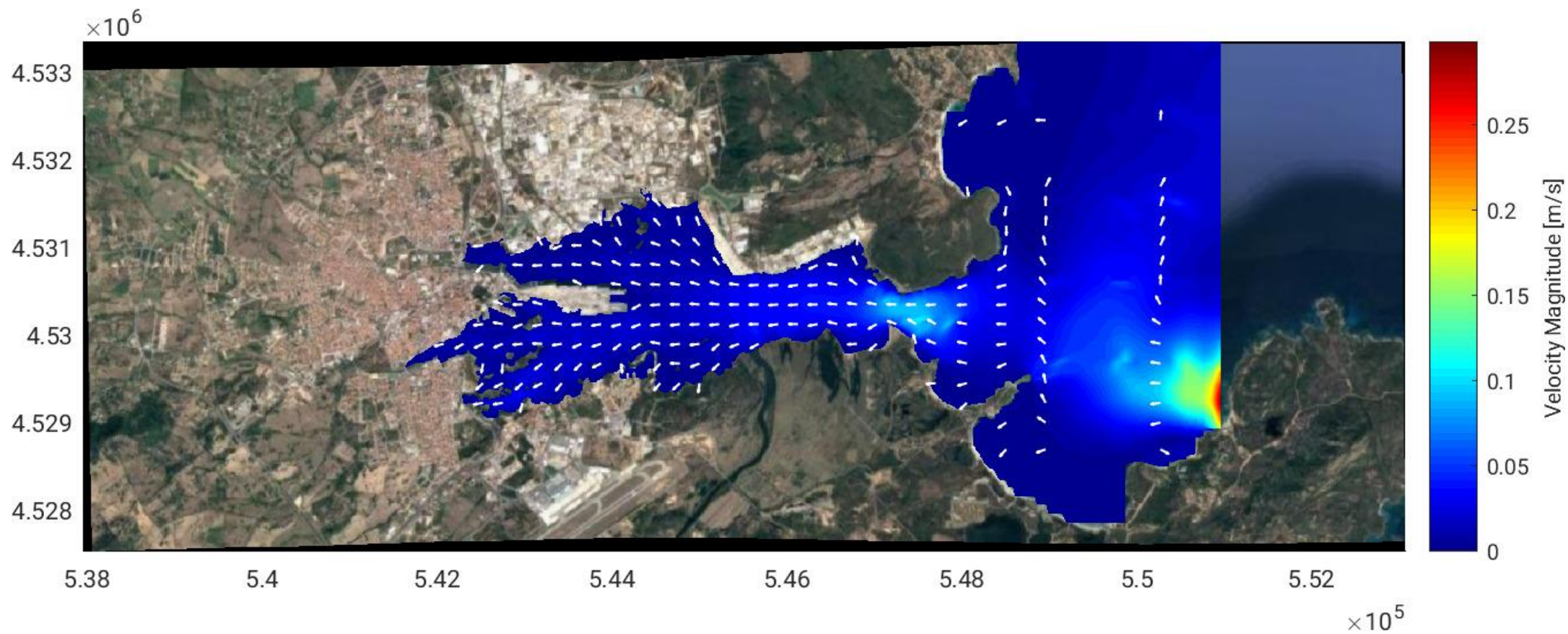


Figura 13: Rappresentazione del campo di velocità in corrispondenza di 4 istanti (6 - 12 - 18 - 24 - h) successive allo sversamento del tracciante [Scenario n. 1]. -
 Figure 13 : Représentation de la plage de vitesse à 4 instants (6 - 12 - 18 - 24 - h) après le déversement du traceur [Scénario n° 1].







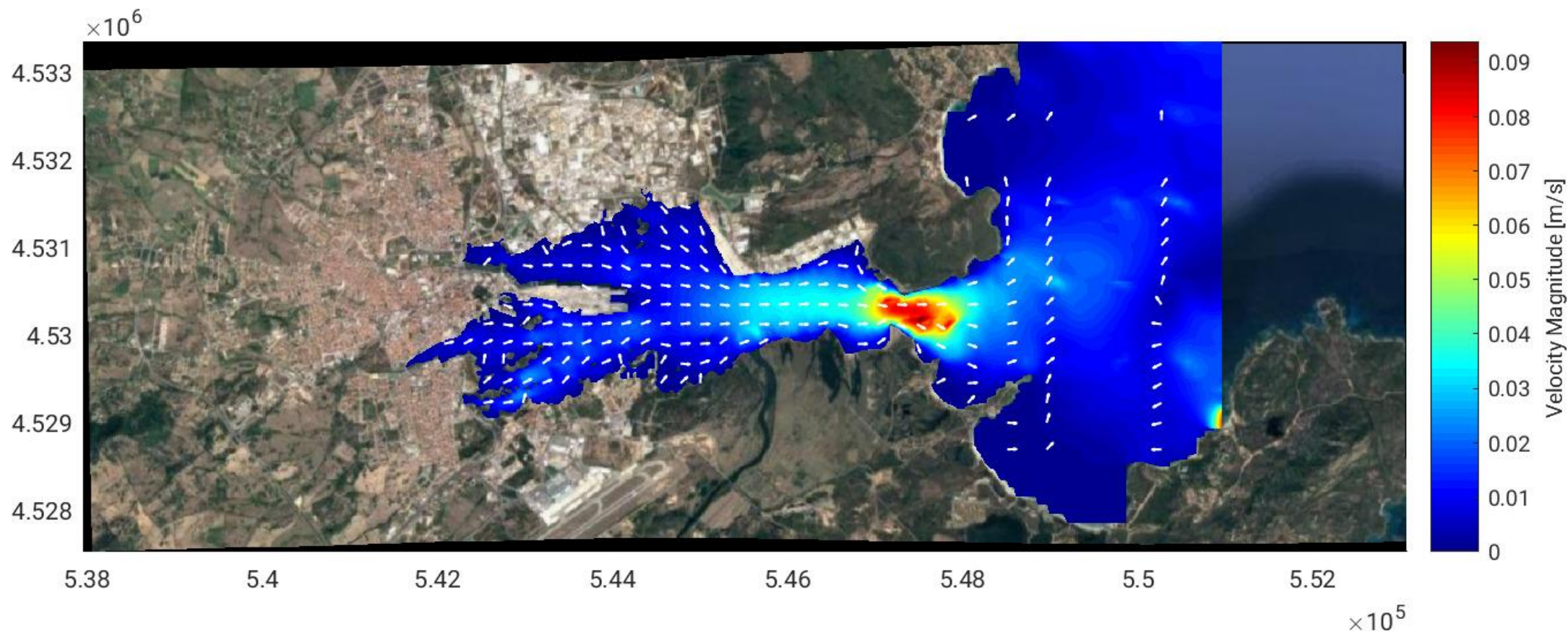
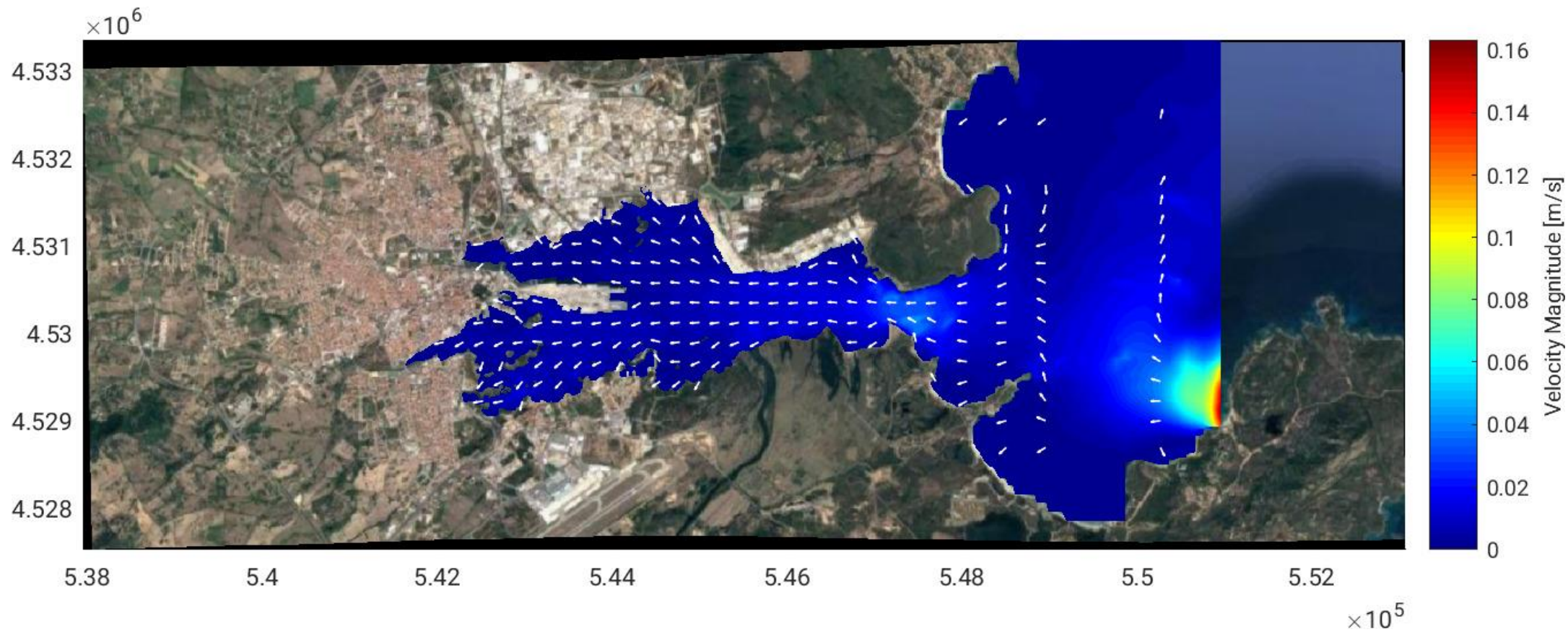
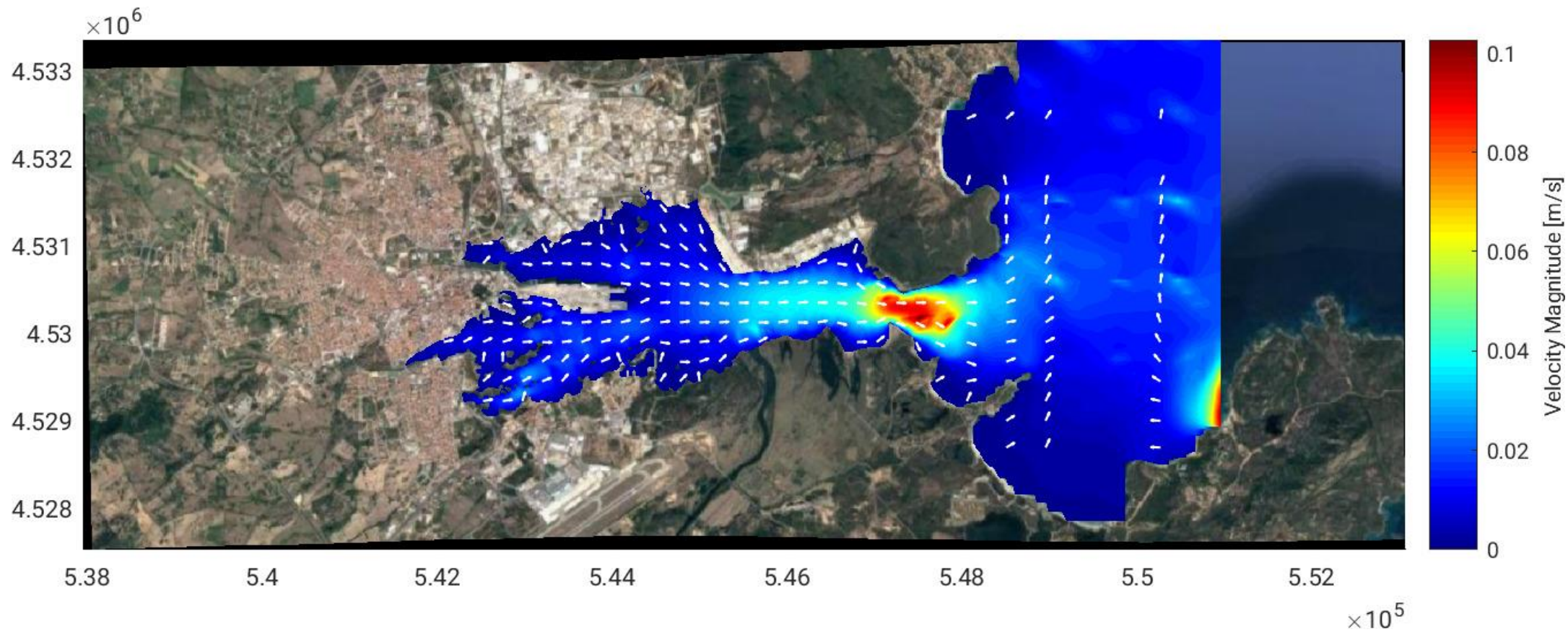
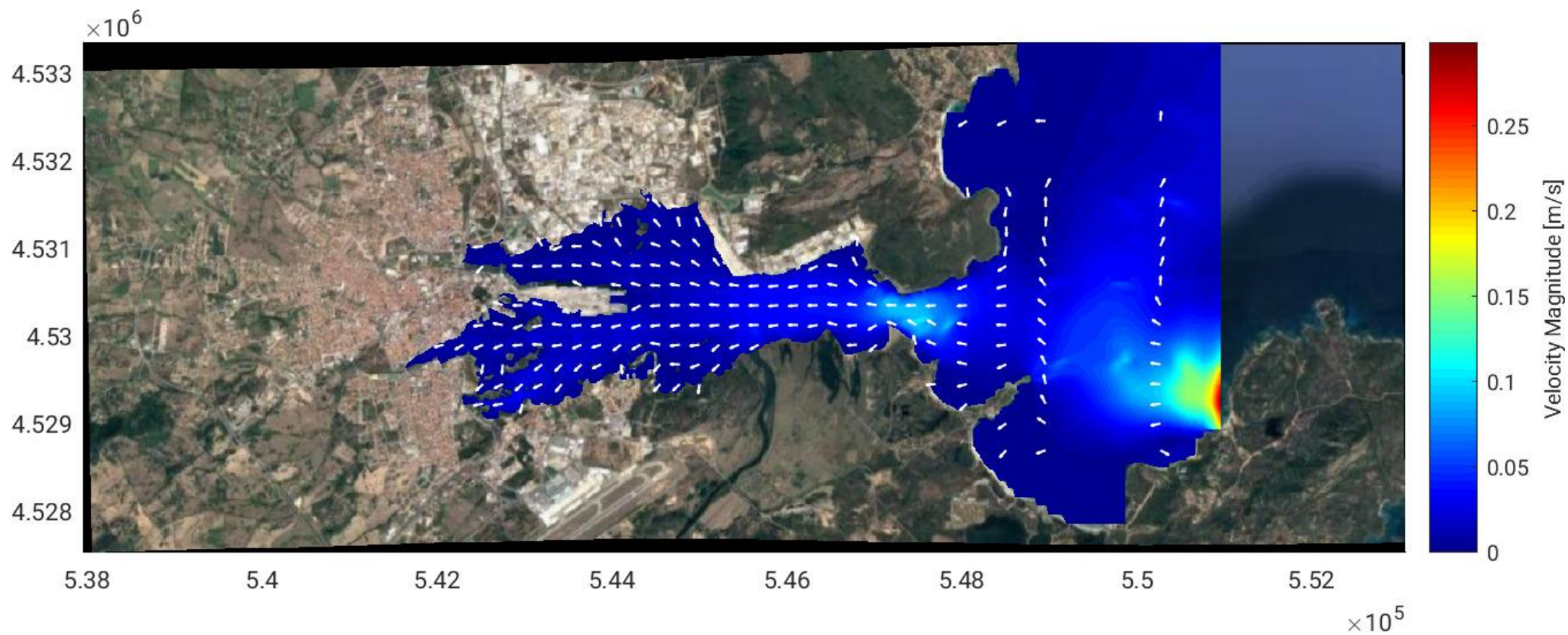


Figura 14: Rappresentazione del campo di velocità in corrispondenza di 4 istanti (6 - 12 - 18 - 24 - h) successive allo sversamento del tracciante [Scenario n. 2]. –
 Figure 14: Représentation de la plage de vitesse à 4 instants (6 - 12 - 18 - 24 - h) après le déversement du traceur [Scénario n° 2].







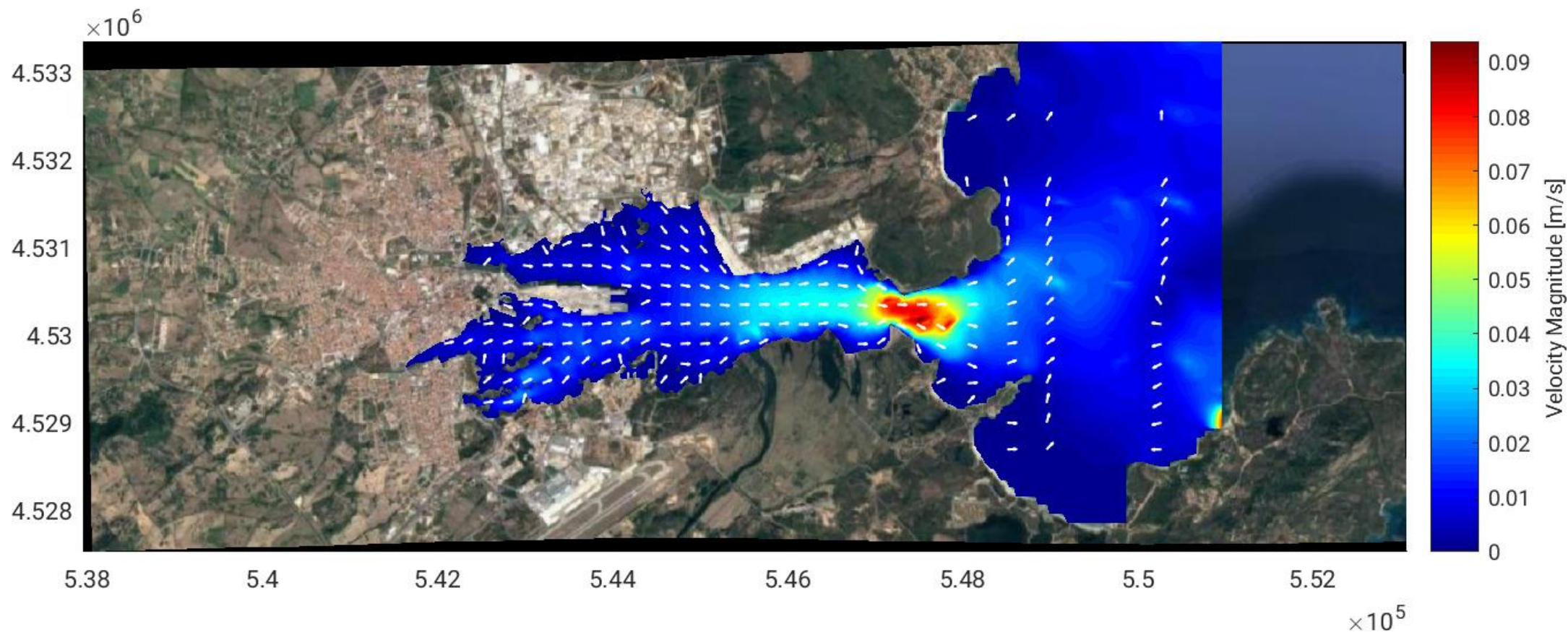
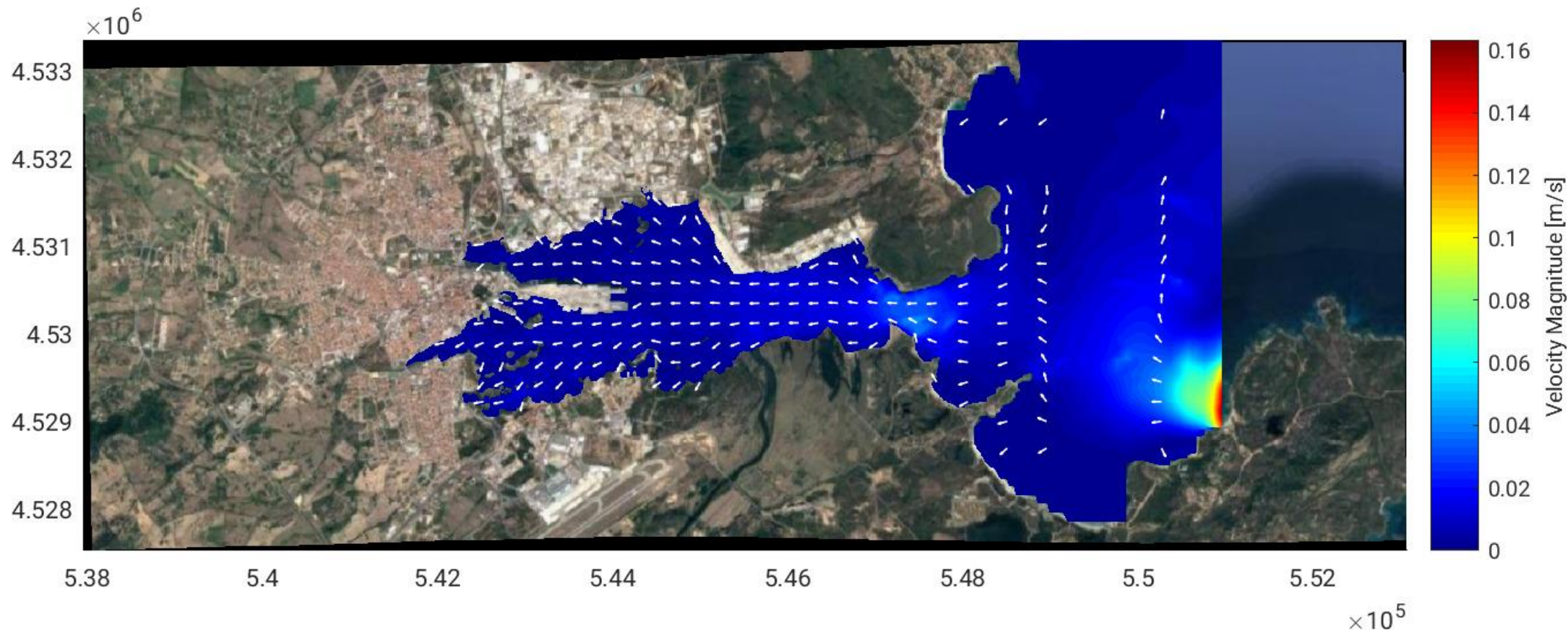
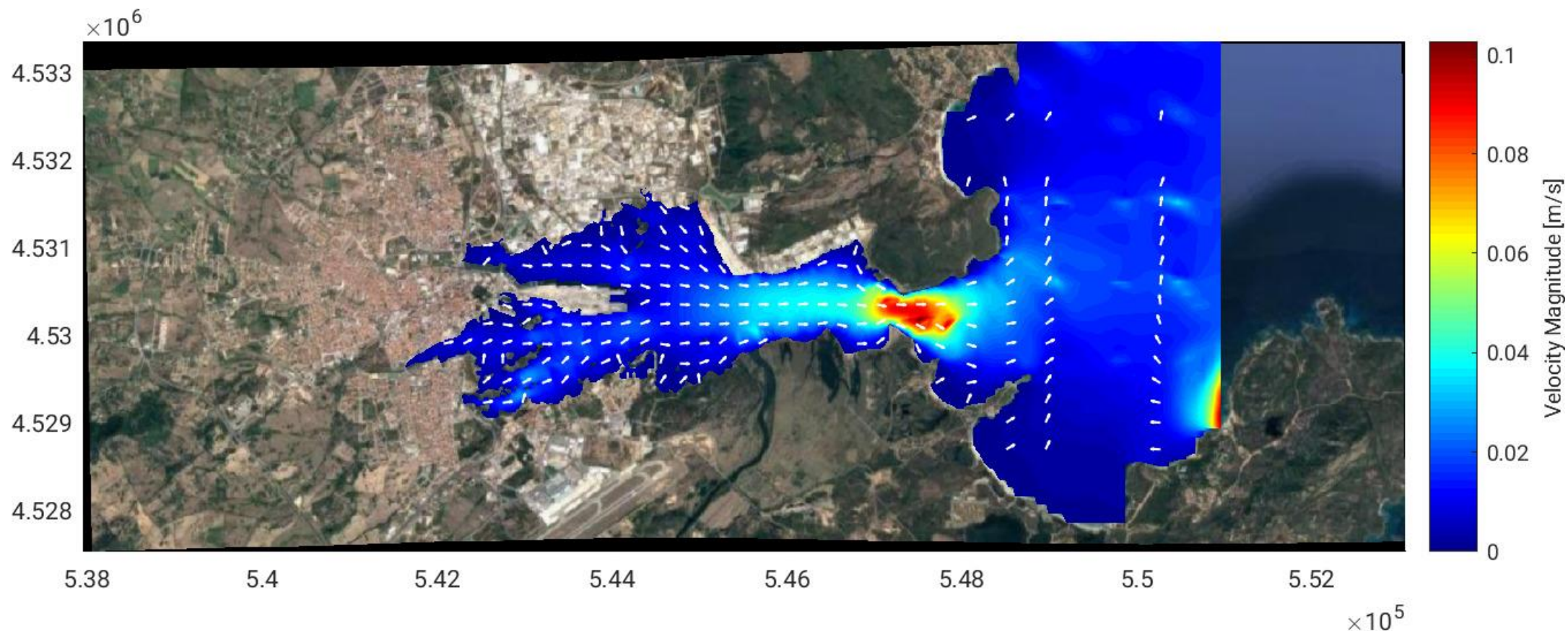
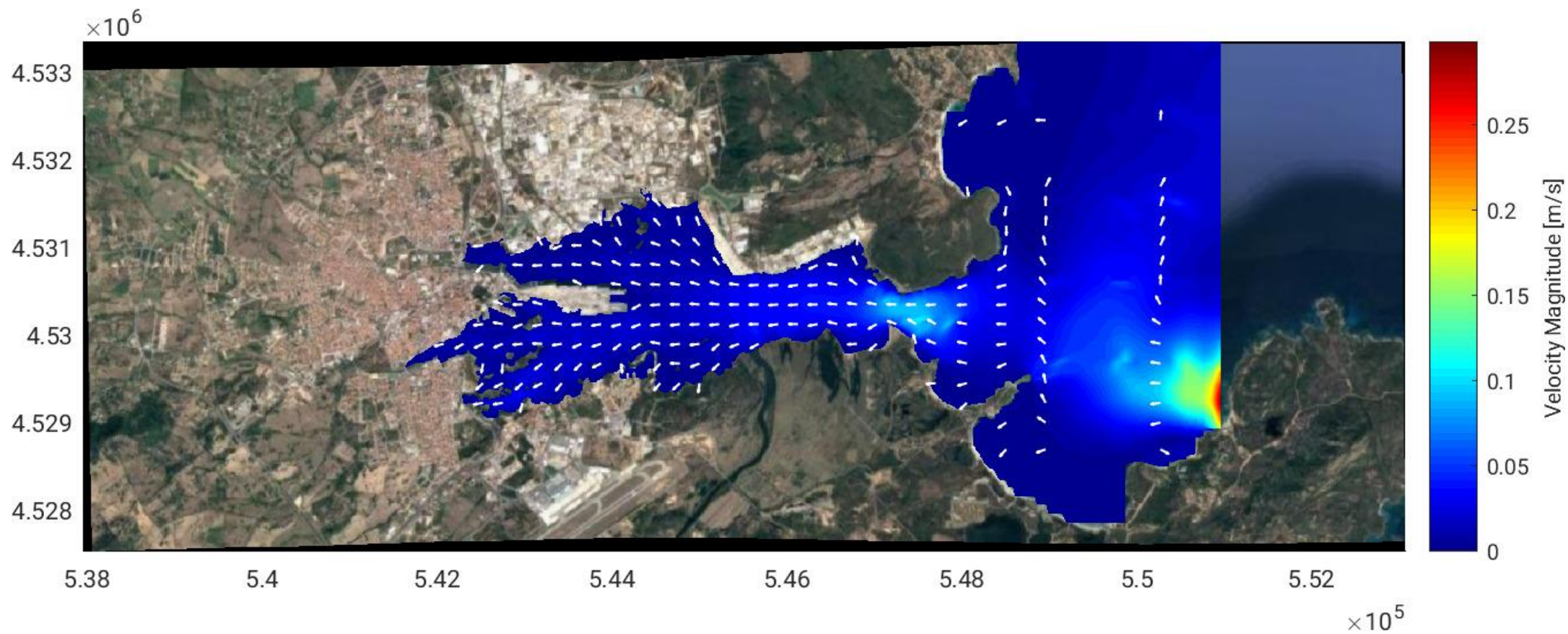


Figura 15: - Rappresentazione del campo di velocità in corrispondenza di 4 istanti (6 - 12 - 18 - 24 - h) successive allo sversamento del tracciante [Scenario n. 3]. –
 Figure 15 : Représentation de la plage de vitesse à 4 instants (6 - 12 - 18 - 24 - h) après le déversement du traceur [Scénario n° 3].







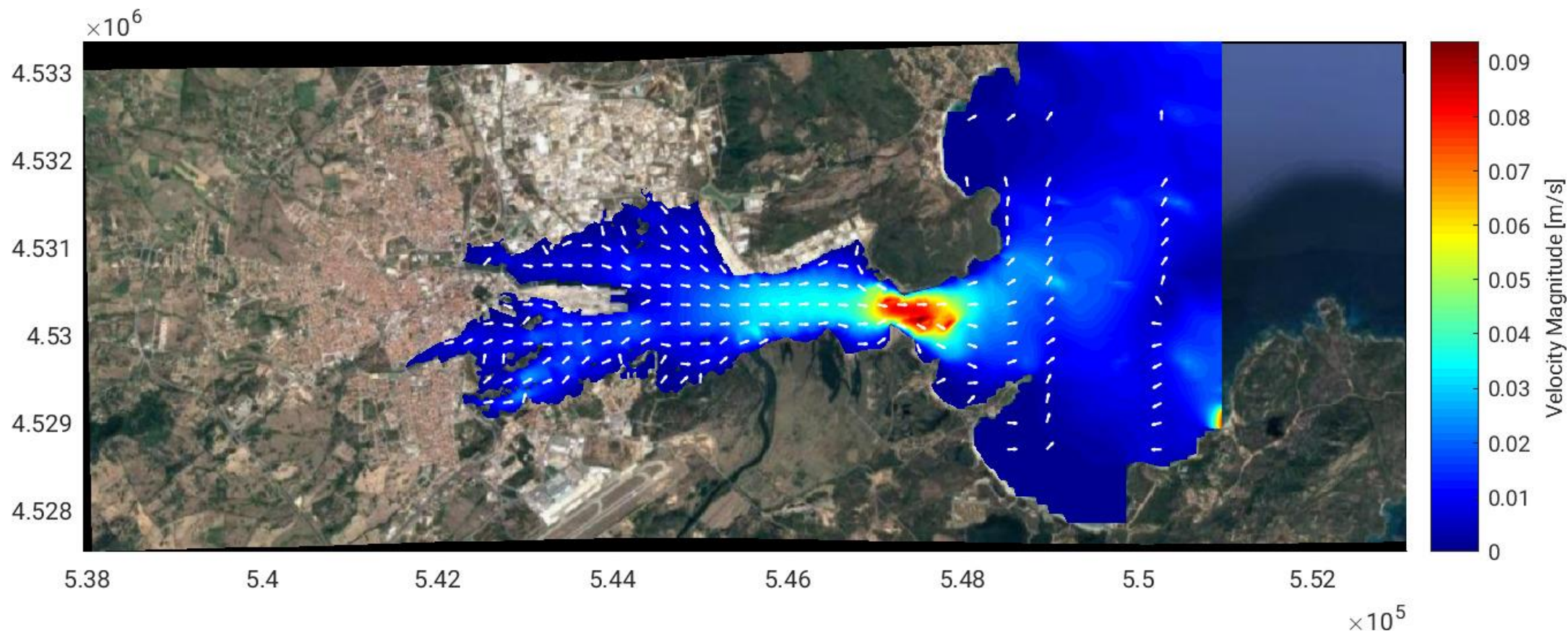
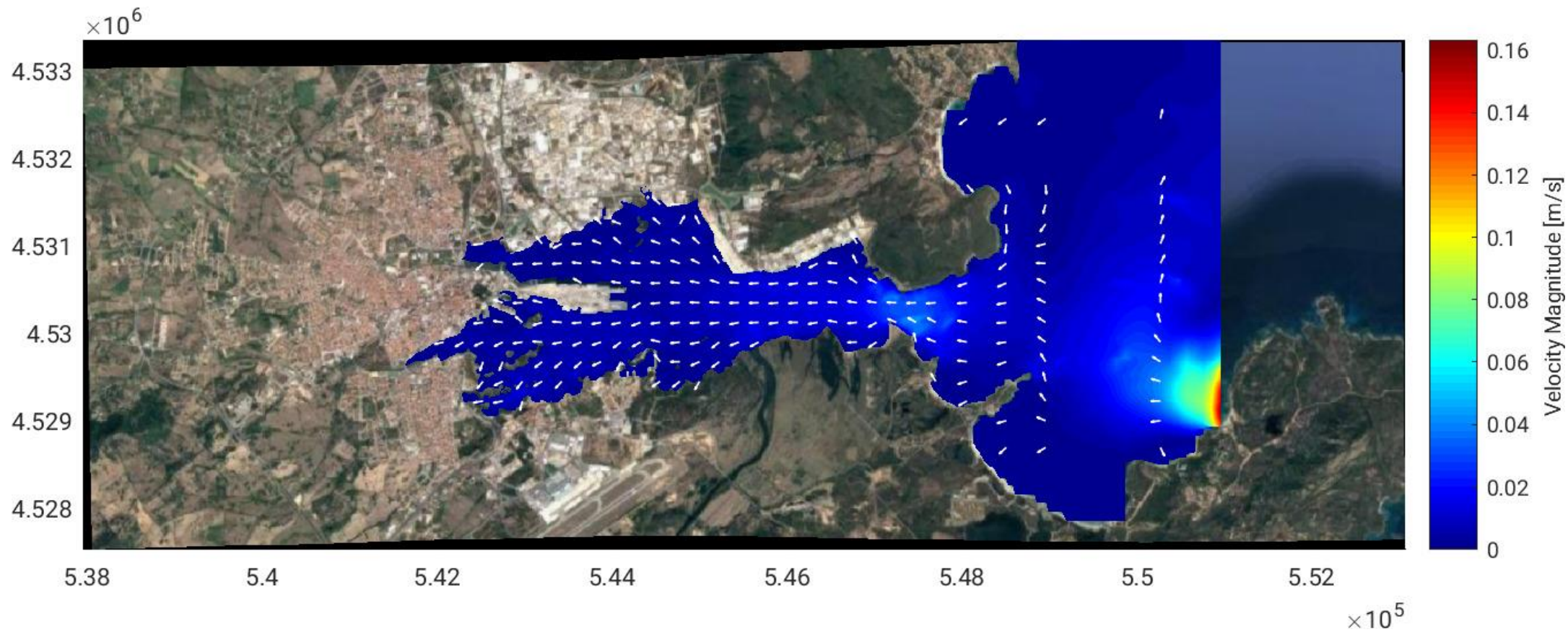
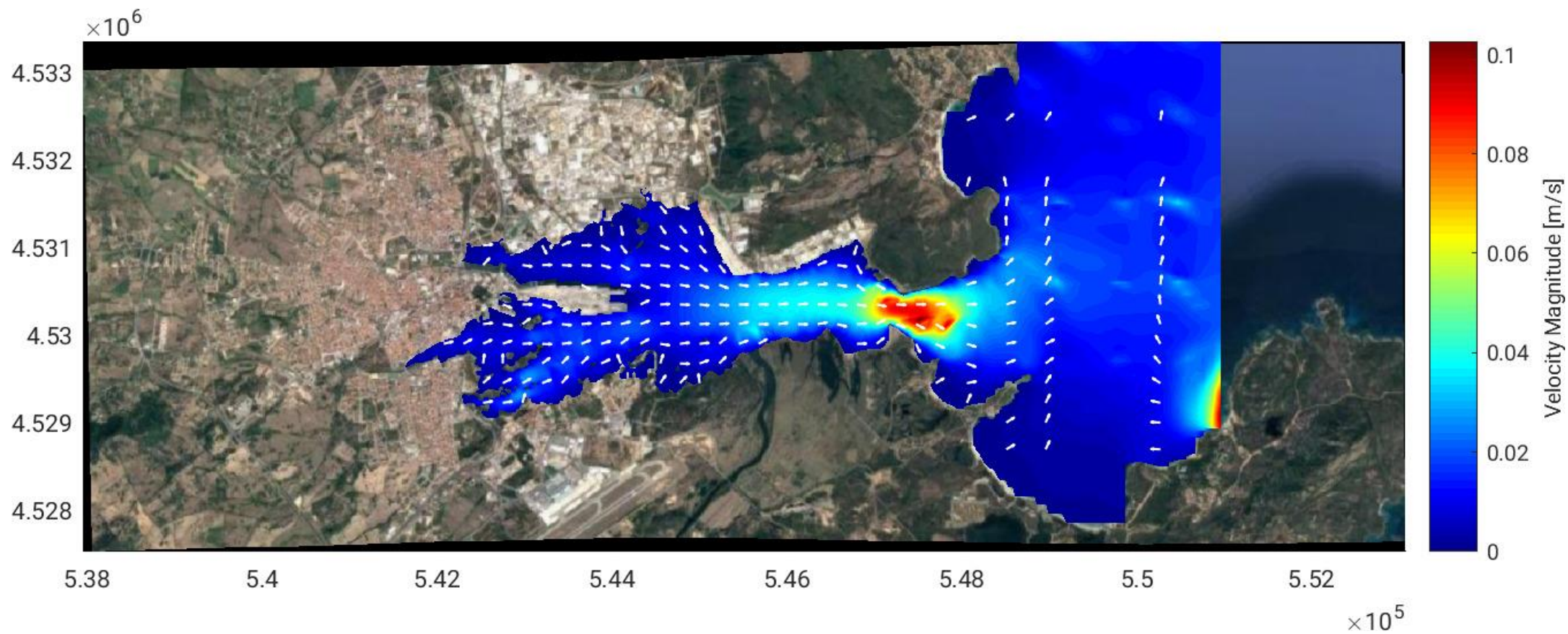
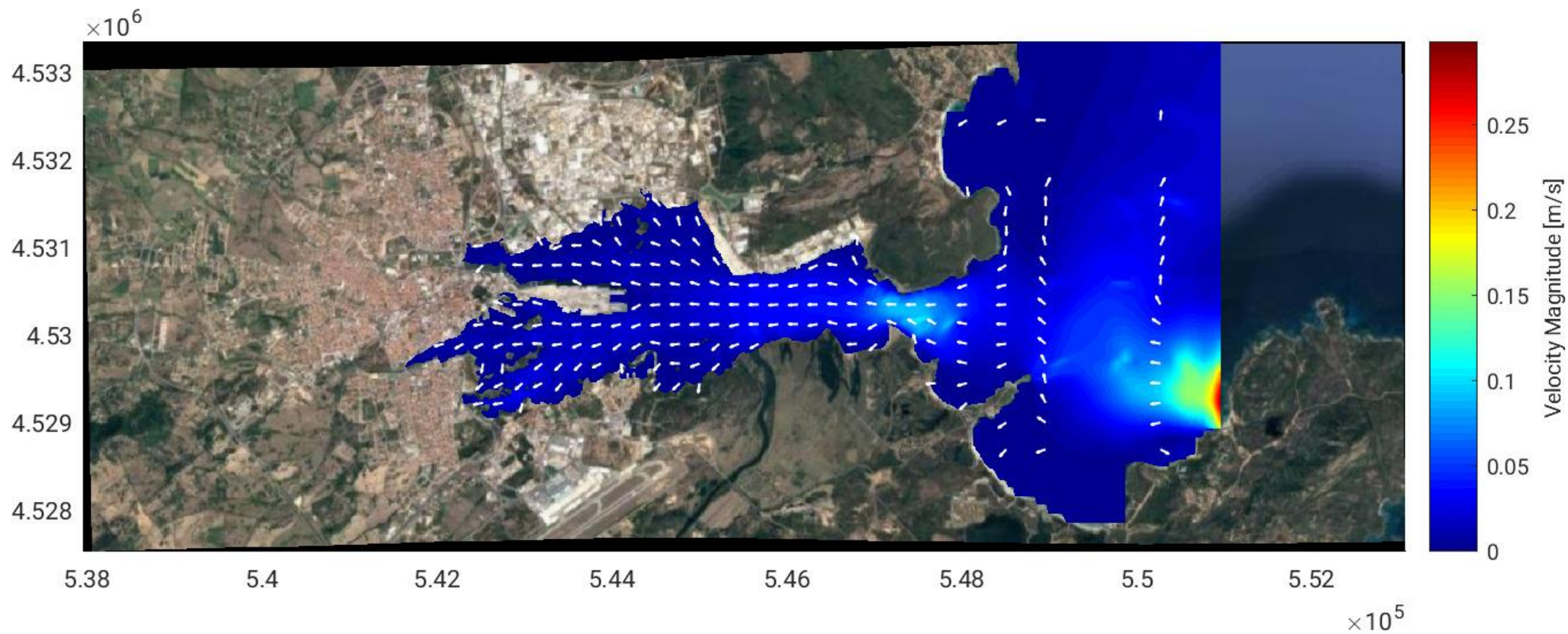


Figura 16: Rappresentazione del campo di velocità in corrispondenza di 4 istanti (6 - 12 - 18 - 24 - h) successive allo sversamento del tracciante [Scenario n. 6]. –
 Figure 16: Représentation de la plage de vitesse à 4 instants (6 - 12 - 18 - 24 - h) après le déversement du traceur [Scénario n° 6].







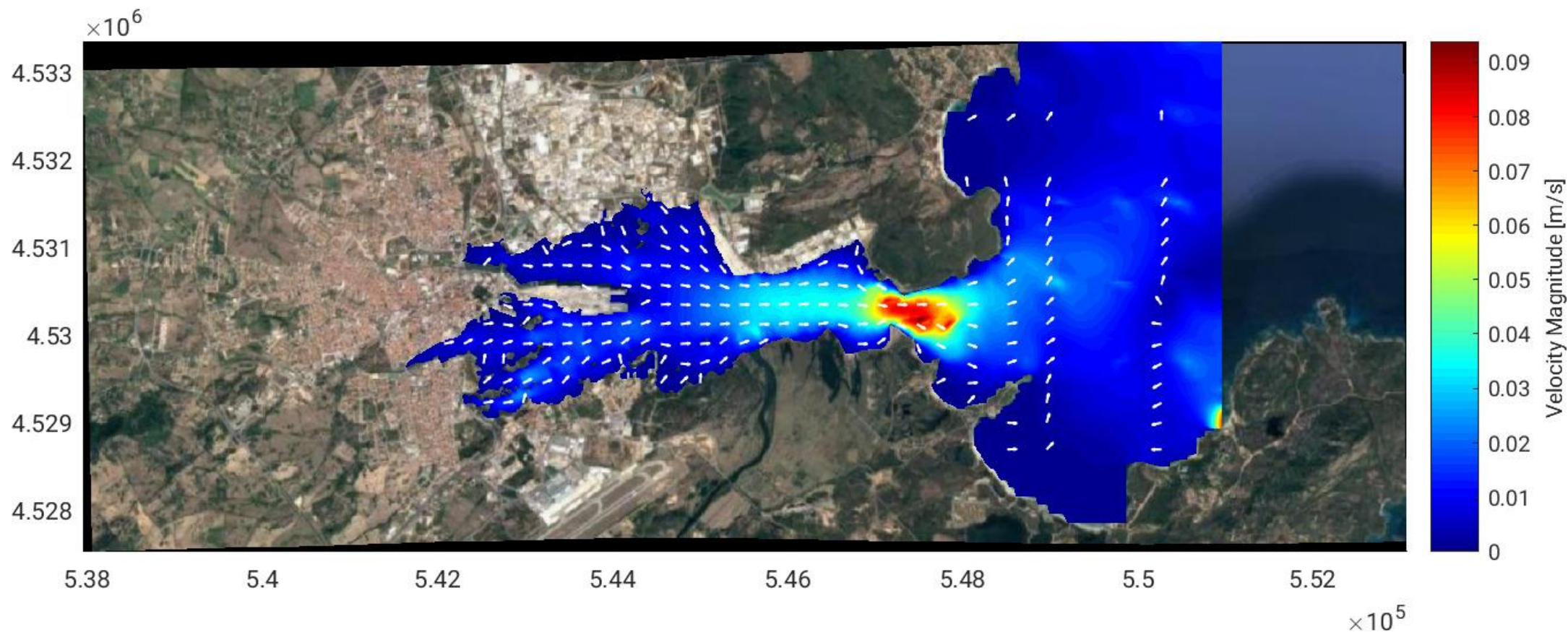
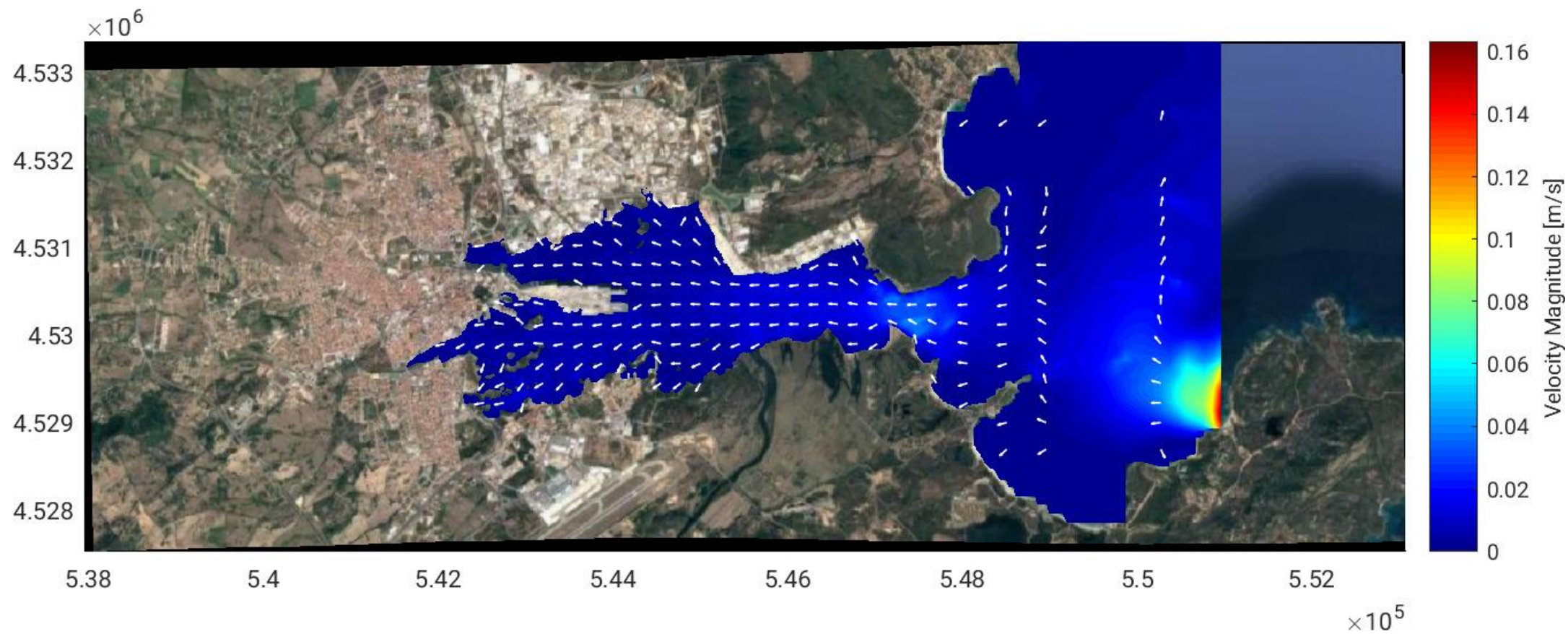
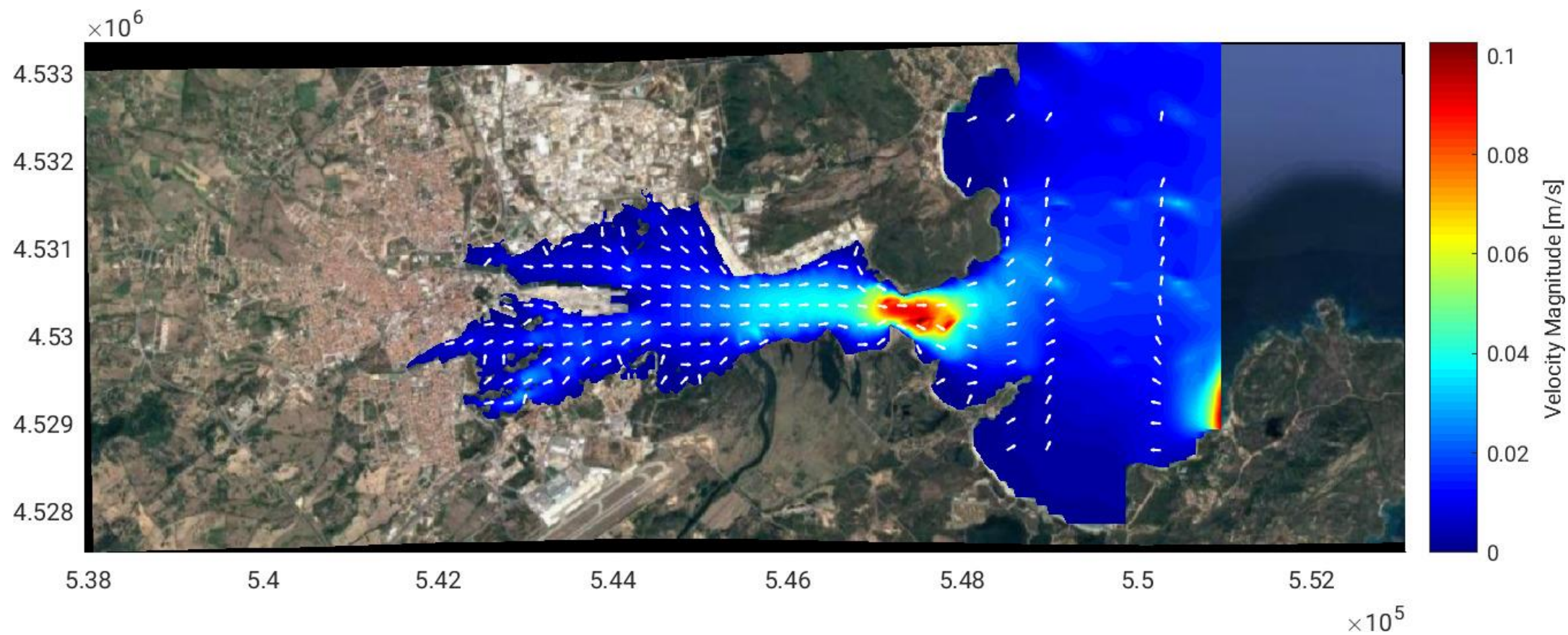
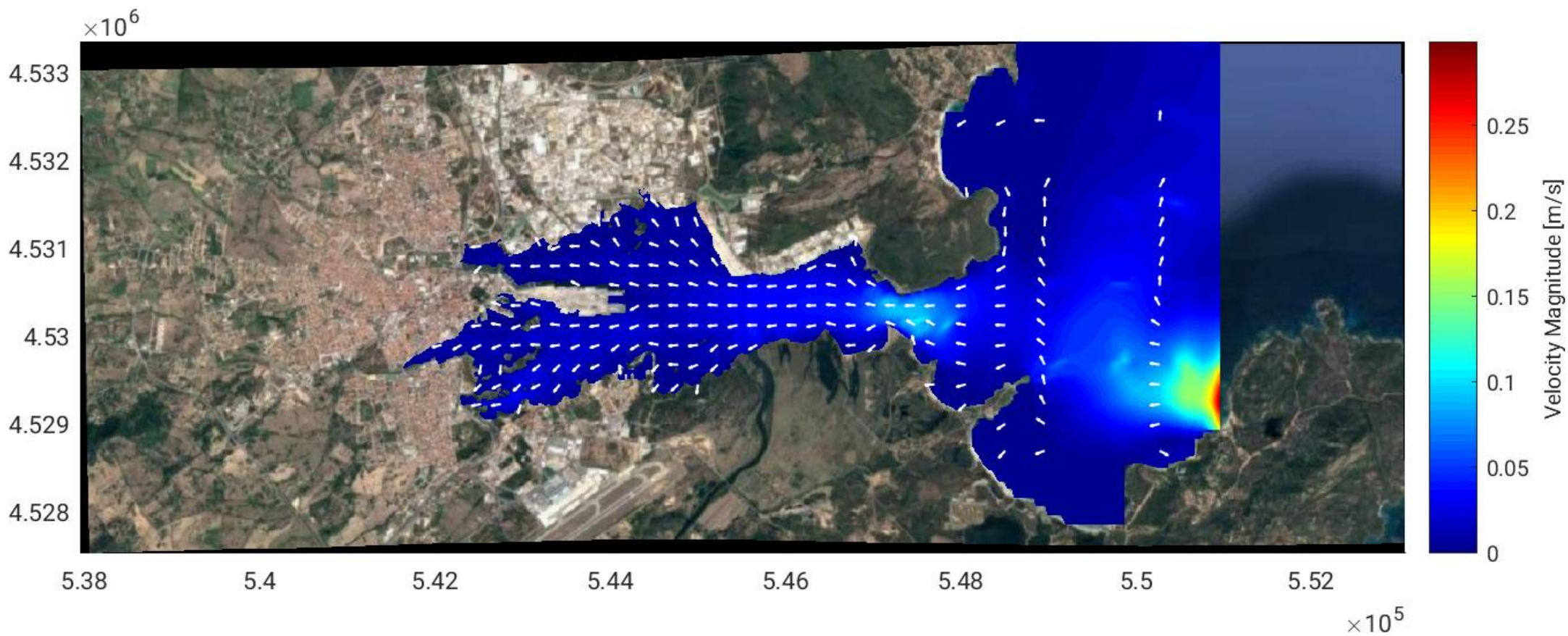


Figura 17: Rappresentazione del campo di velocità in corrispondenza di 4 istanti (6 - 12 - 18 - 24 - h) successive allo sversamento del tracciante [Scenario n. 7]. –
 Figure 17: Représentation de la plage de vitesse à 4 instants (6 - 12 - 18 - 24 - h) après le déversement du traceur [Scénario n° 7].







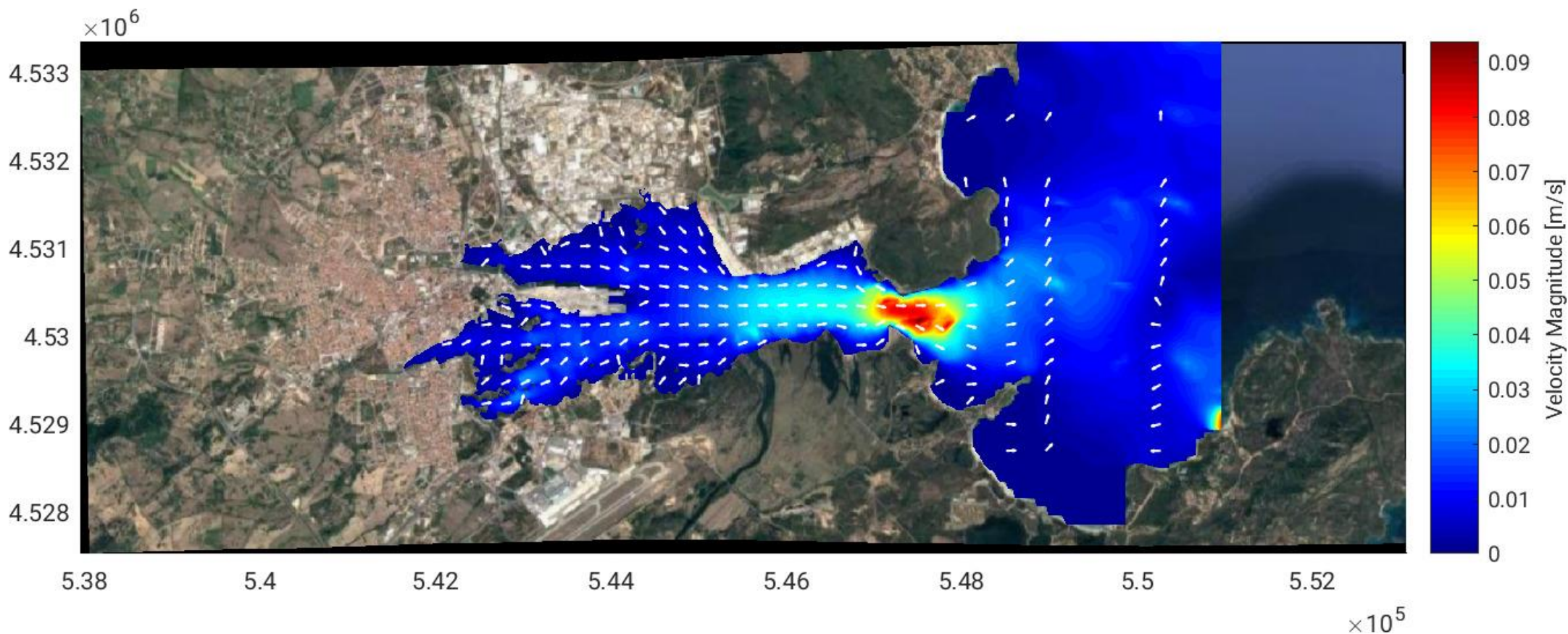
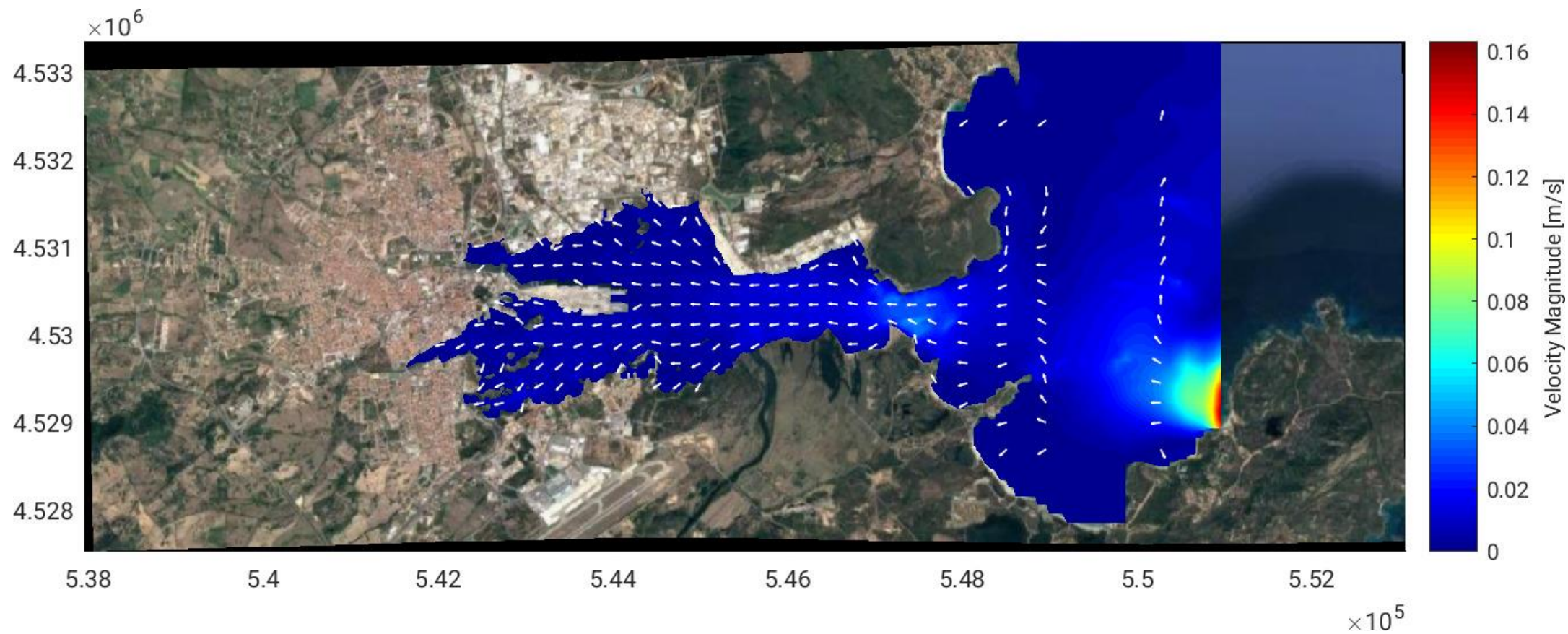
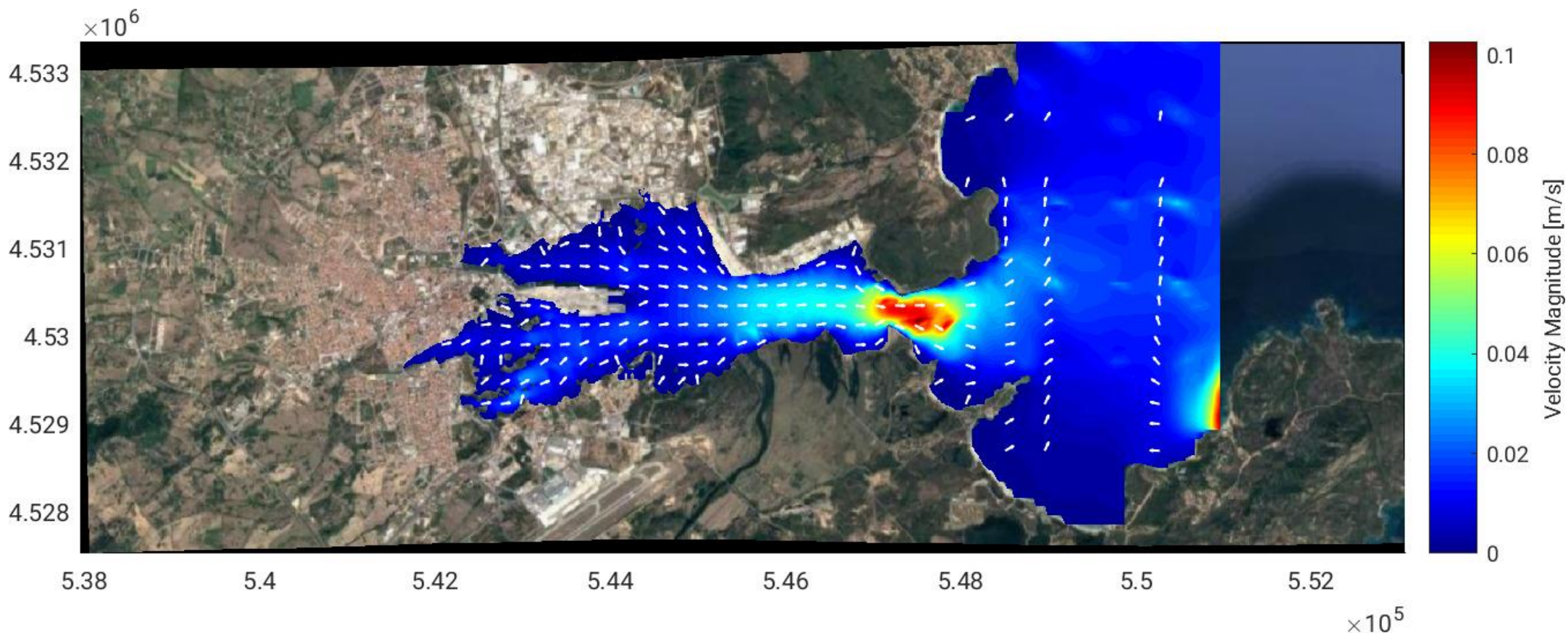
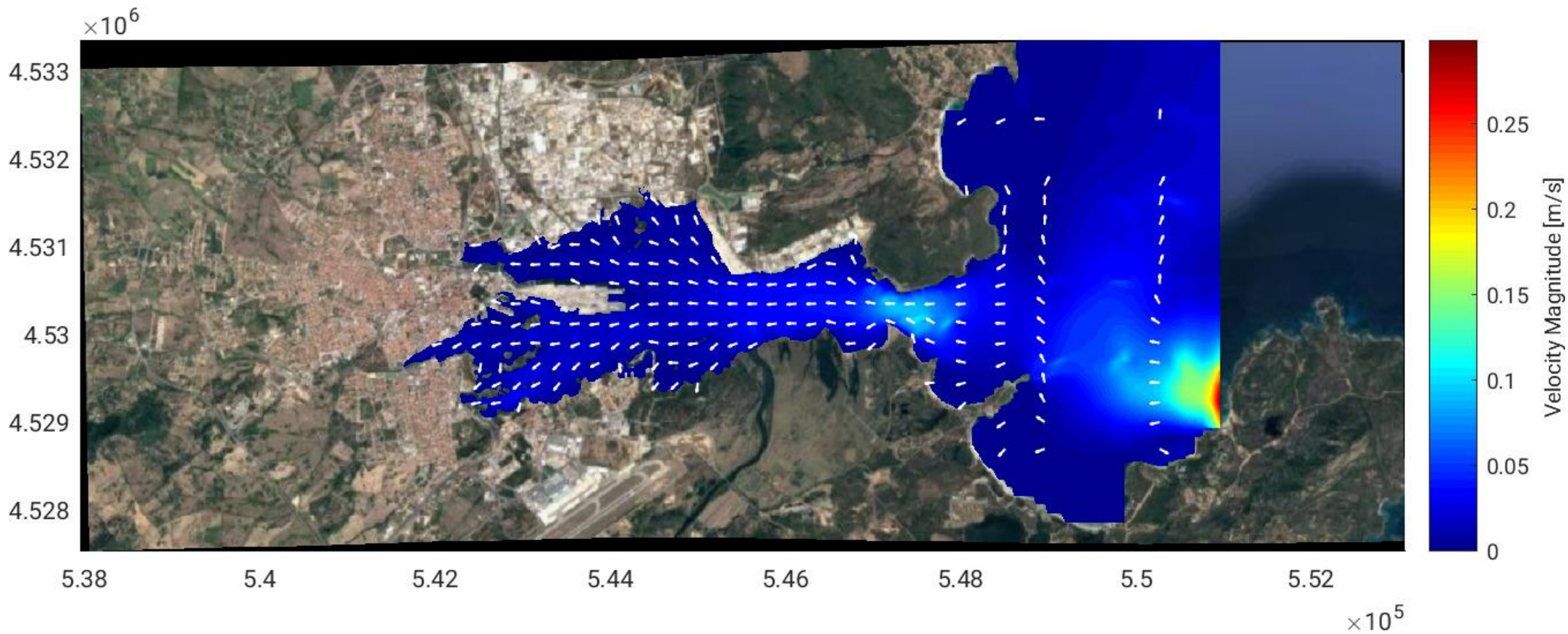


Figura 18: Rappresentazione del campo di velocità in corrispondenza di 4 istanti (6 - 12 - 18 - 24 - h) successive allo sversamento del tracciante [Scenario n. 9]. –
 Figure 18: Représentation de la plage de vitesse à 4 instants (6 - 12 - 18 - 24 - h) après le déversement du traceur [Scénario n° 9].







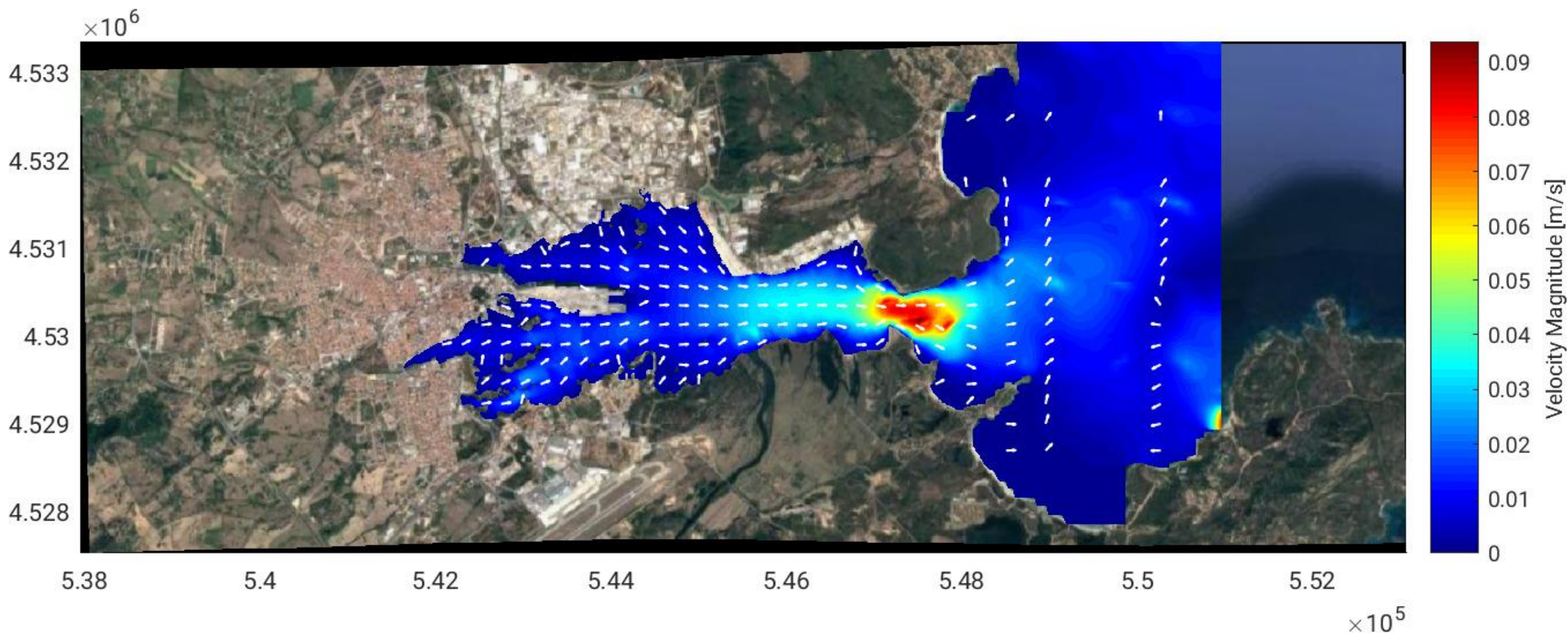
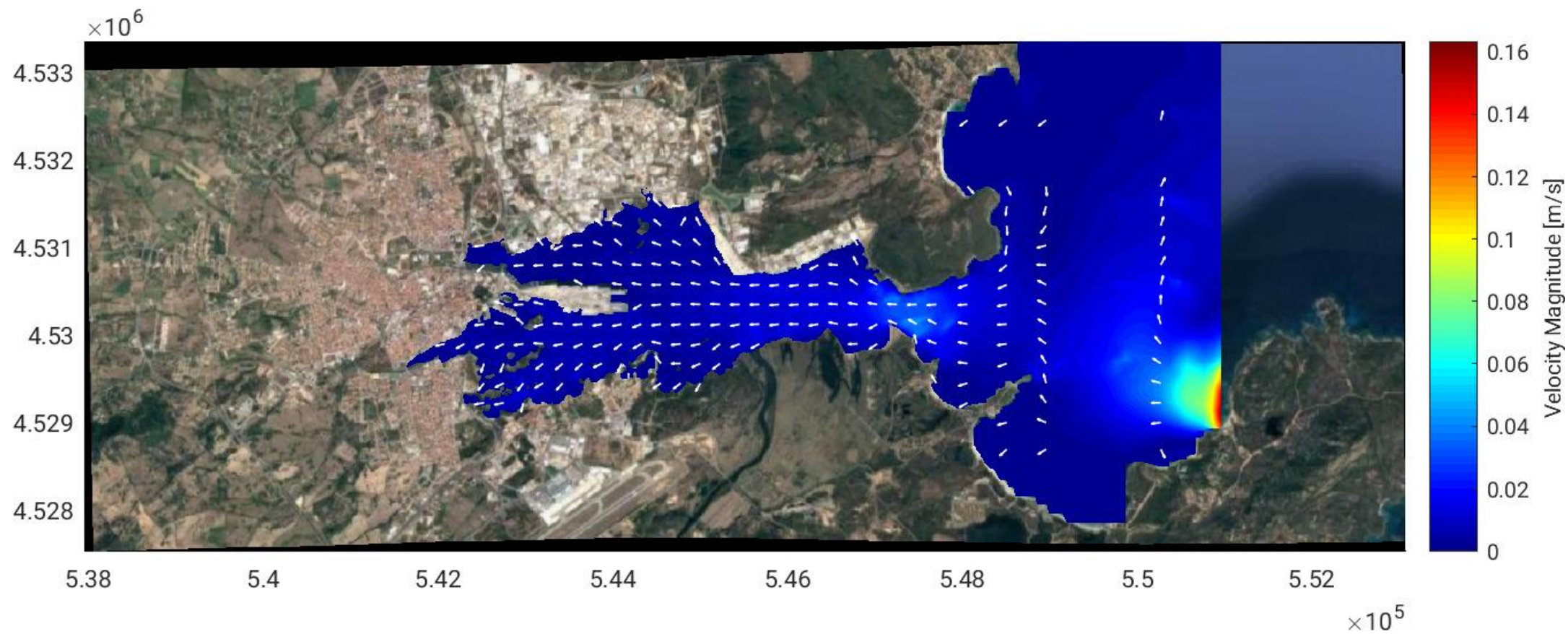
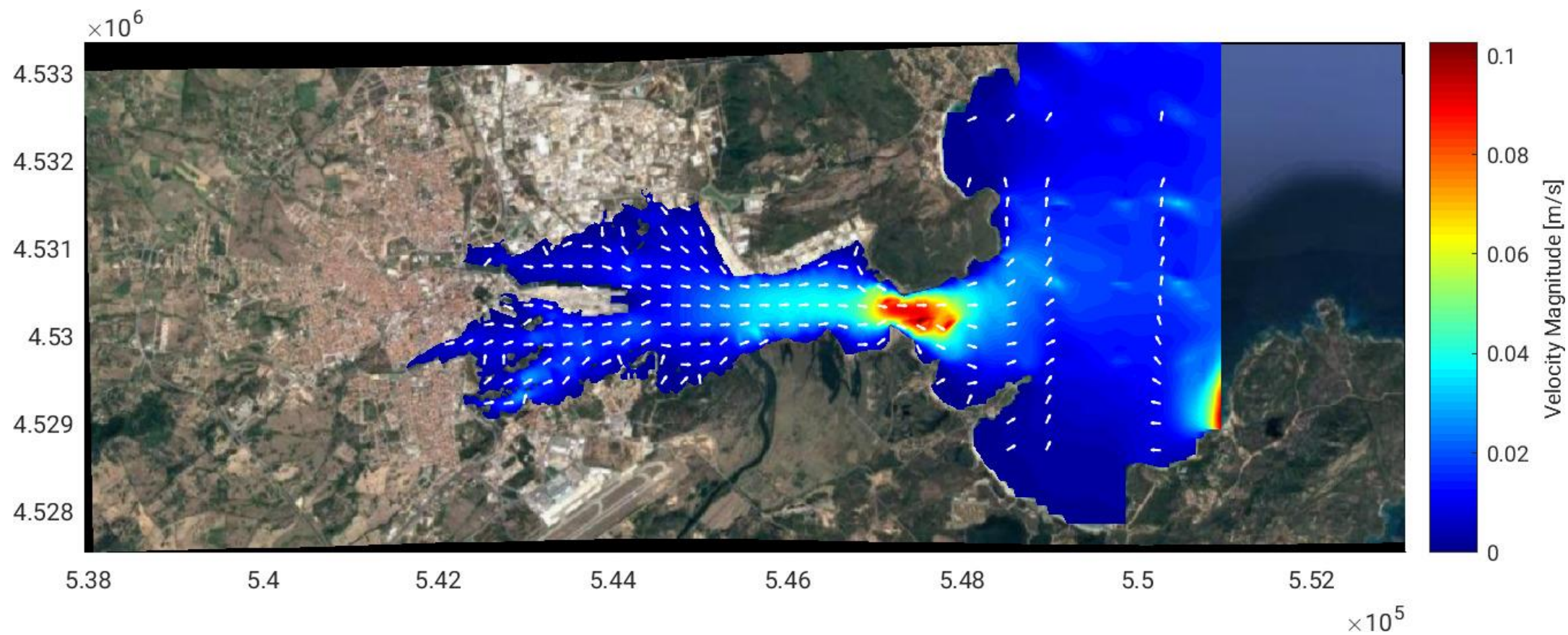
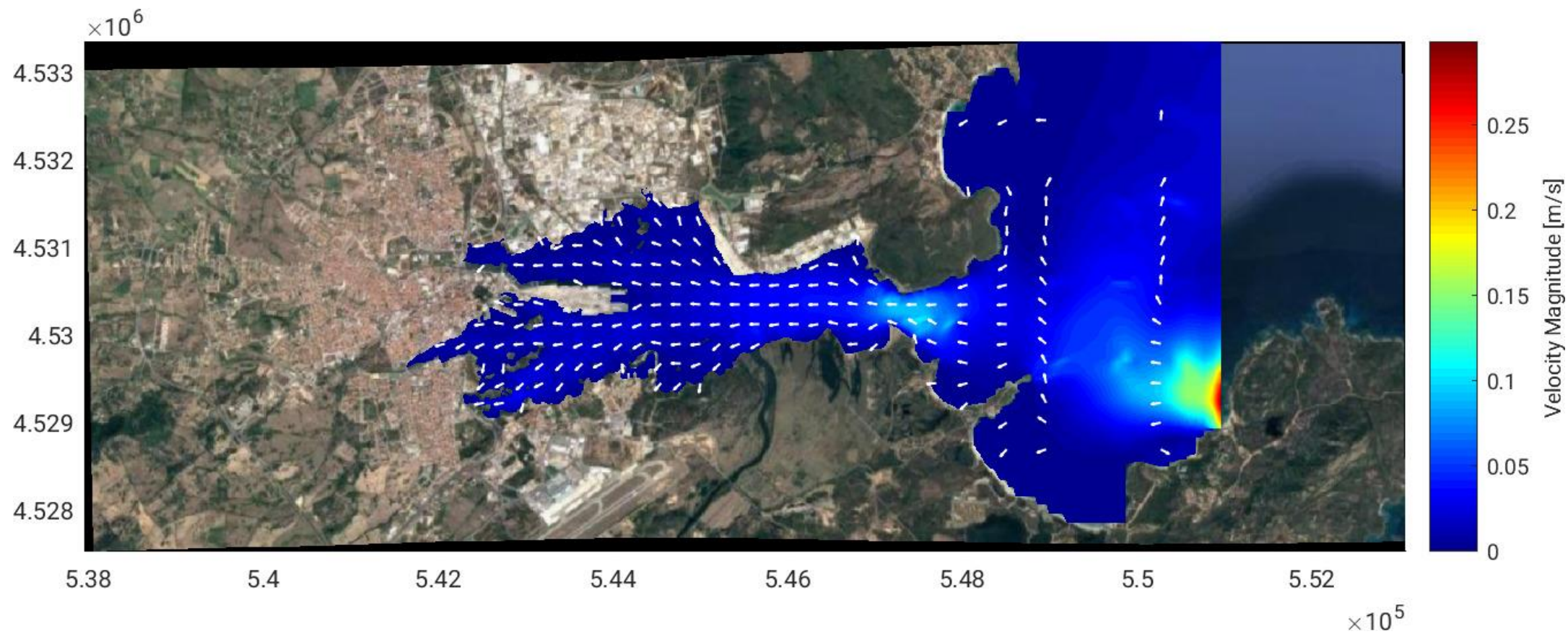


Figura 19: Rappresentazione del campo di velocità in corrispondenza di 4 istanti (6 - 12 - 18 - 24 - h) successive allo sversamento del tracciante [Scenario n. 10]. –
 Figure 19: Représentation de la plage de vitesse à 4 instants (6 - 12 - 18 - 24 - h) après le déversement du traceur [Scénario n° 10].







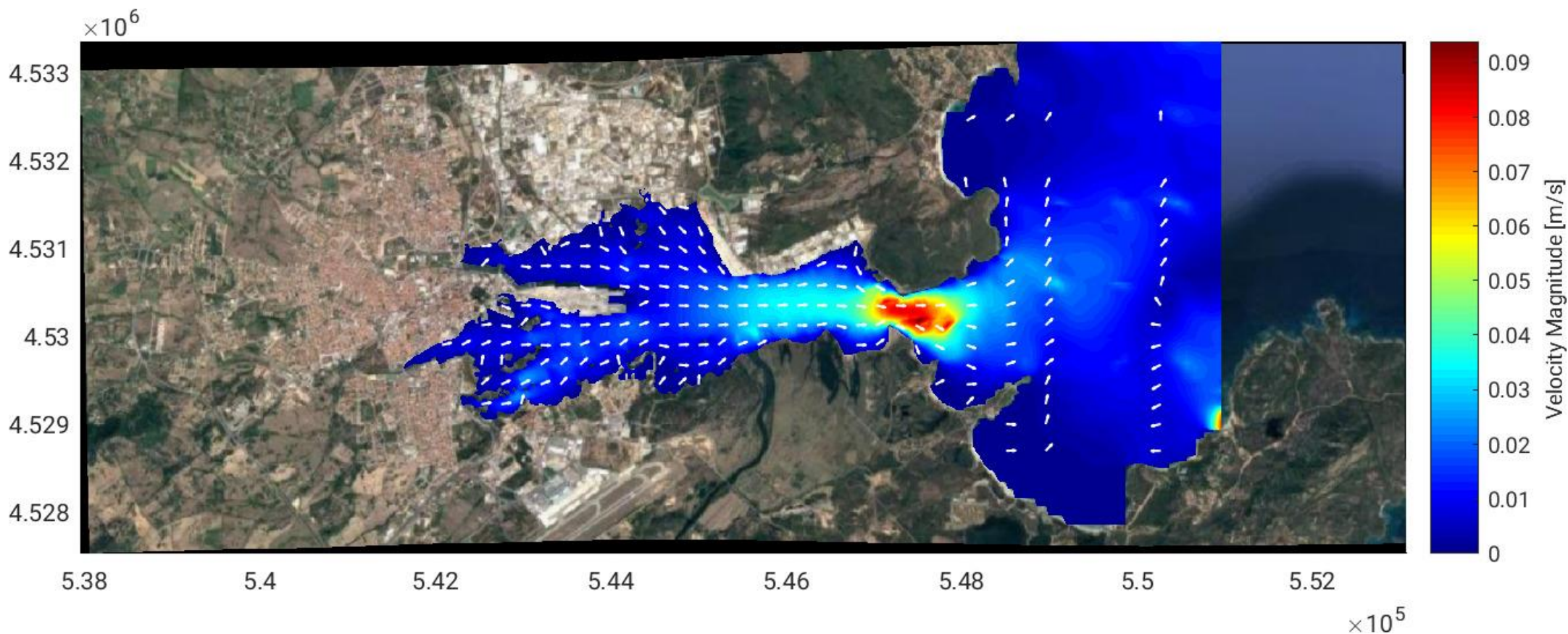
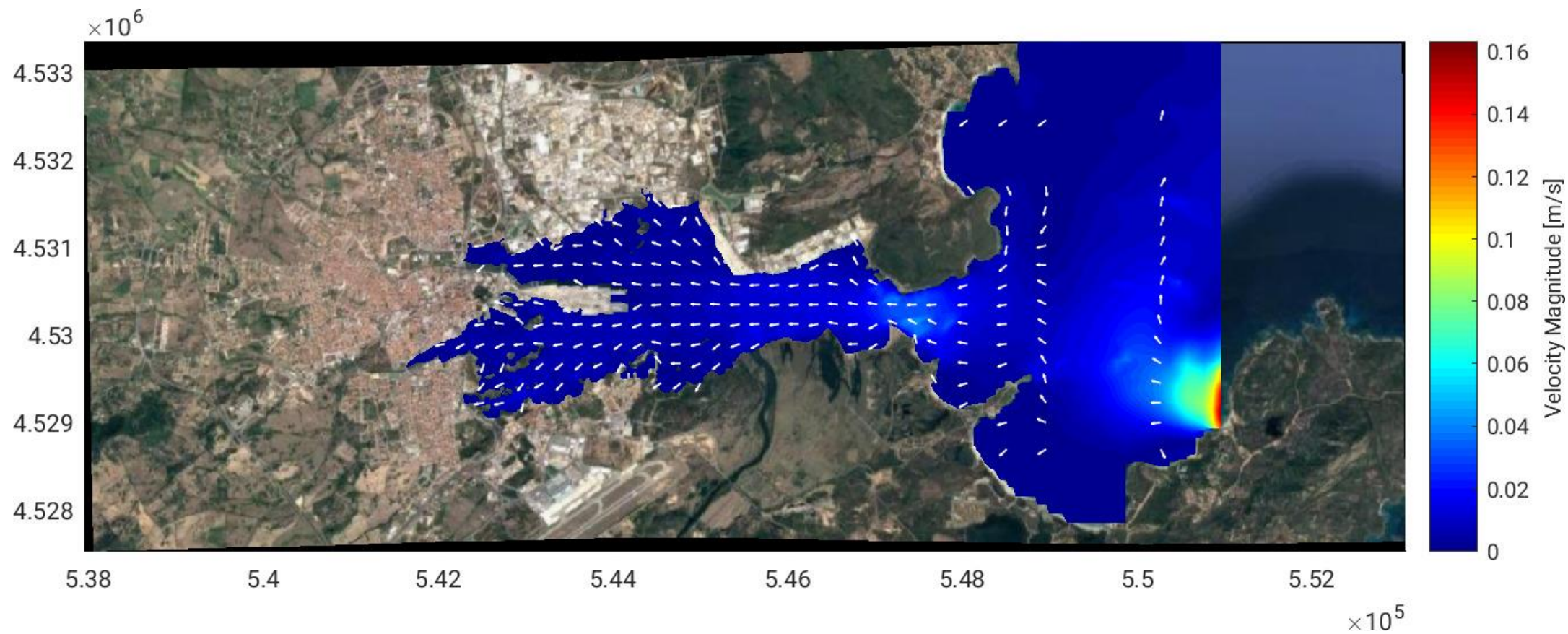
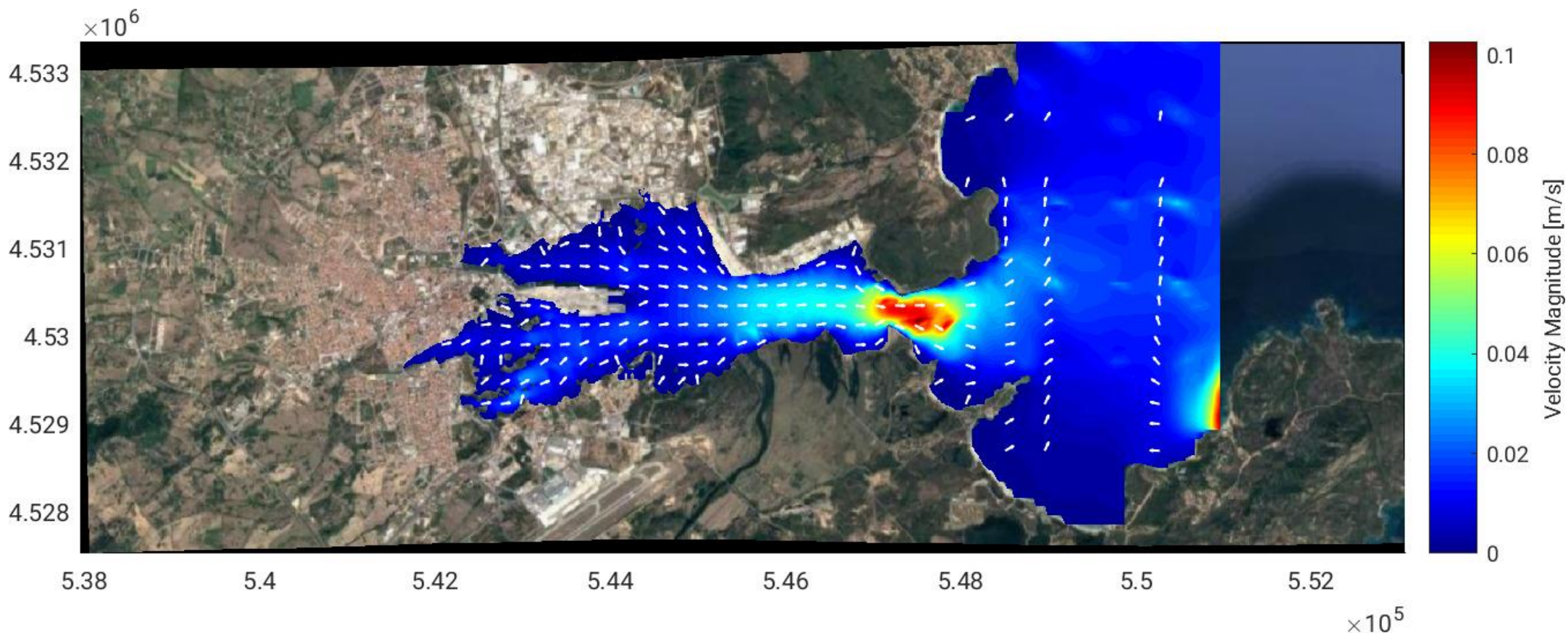
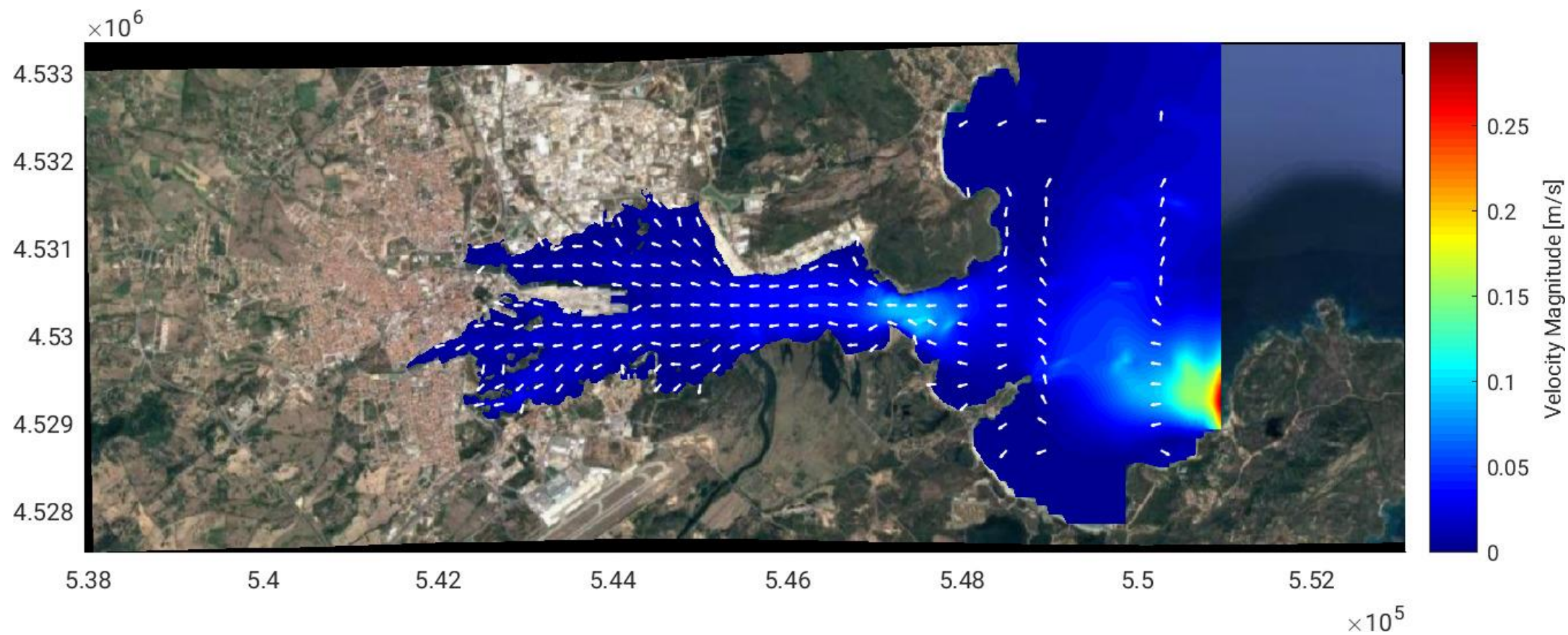


Figura 20: Rappresentazione del campo di velocità in corrispondenza di 4 istanti (6 - 12 - 18 - 24 - h) successive allo sversamento del tracciante [Scenario n. 11] –
 Figure 20: Représentation de la plage de vitesse à 4 instants (6 - 12 - 18 - 24 - h) après le déversement du traceur [Scénario n° 11].







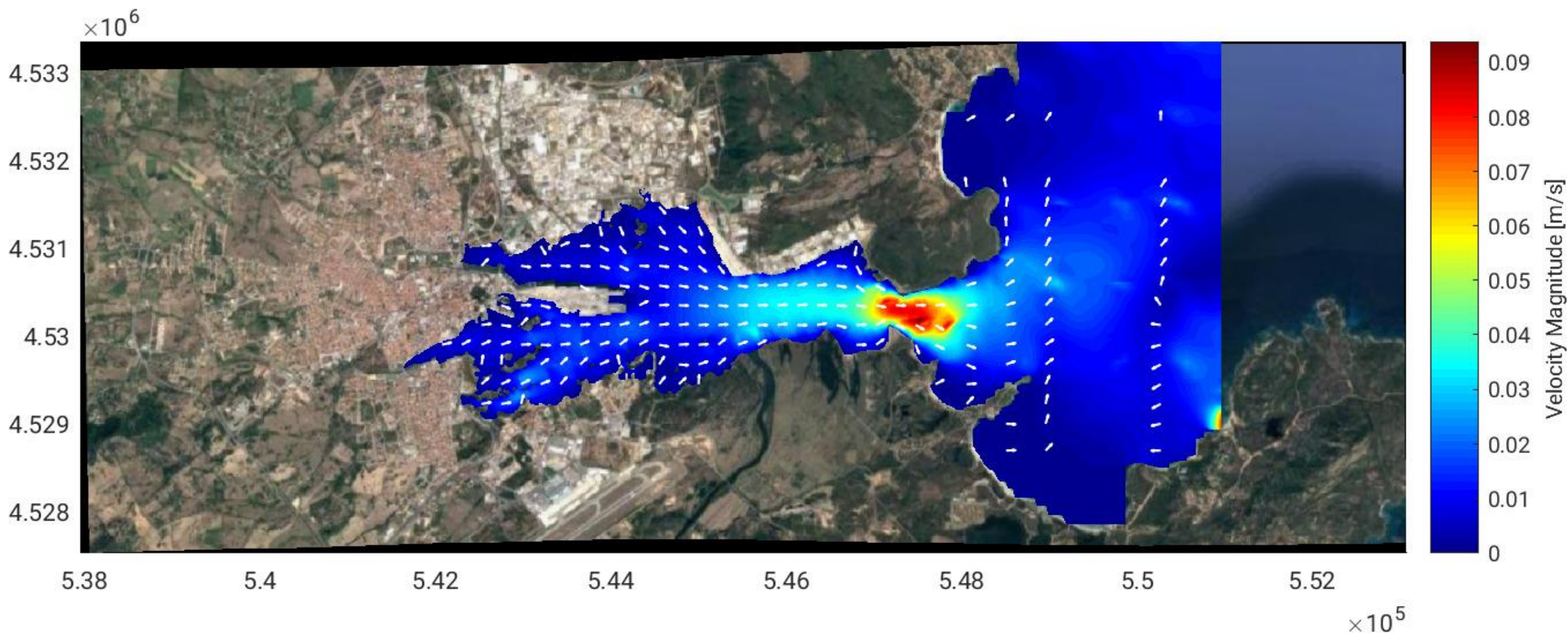
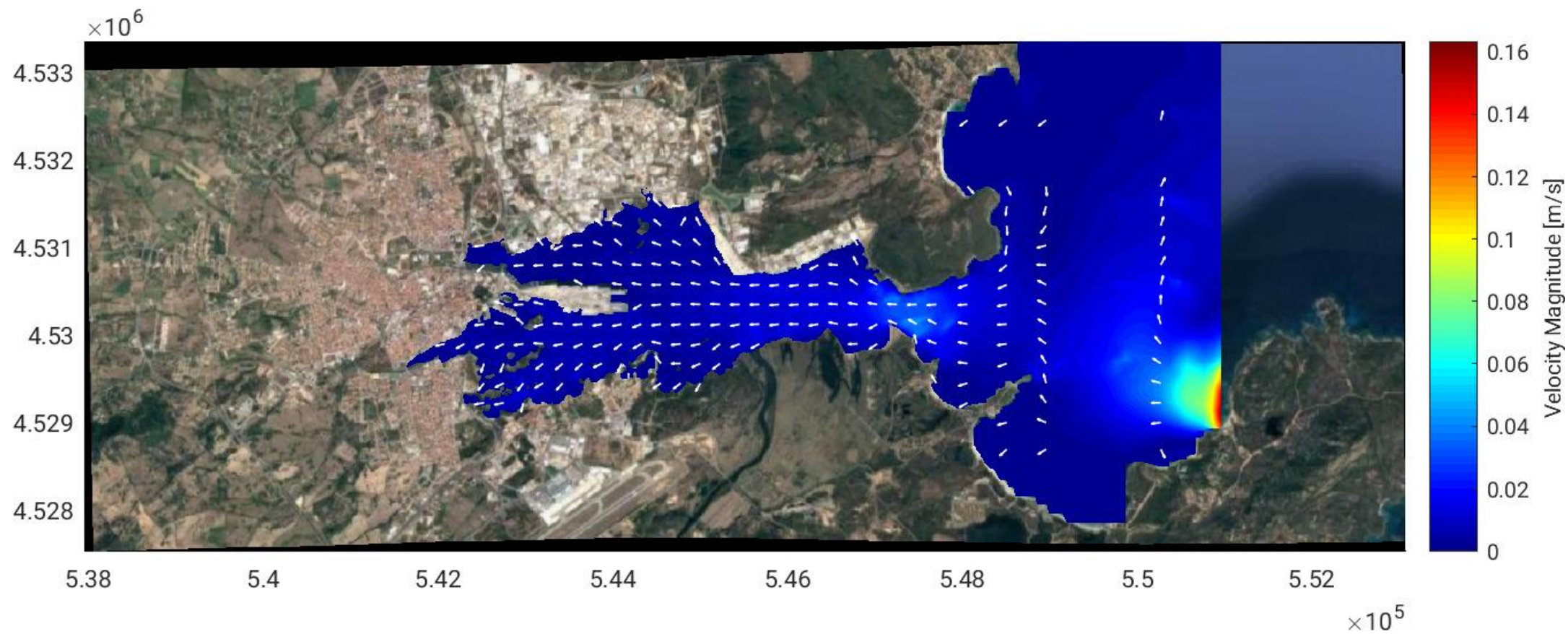
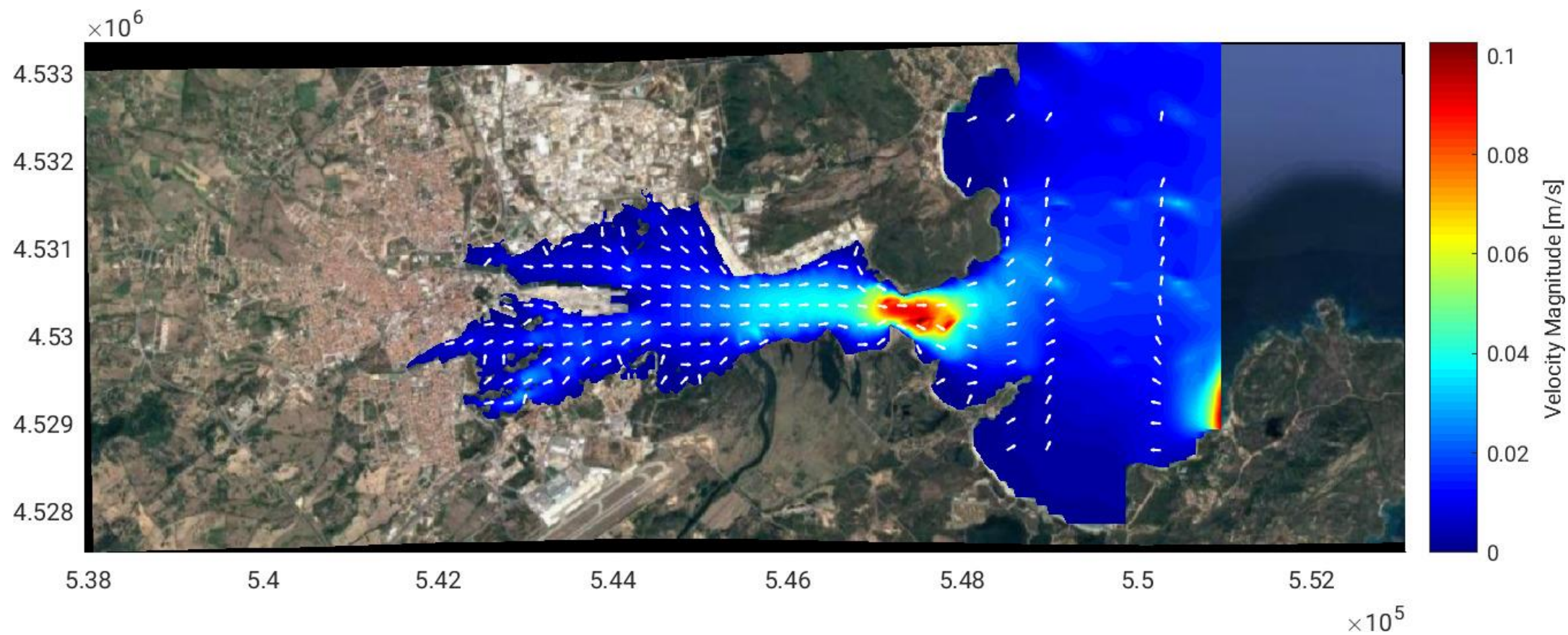
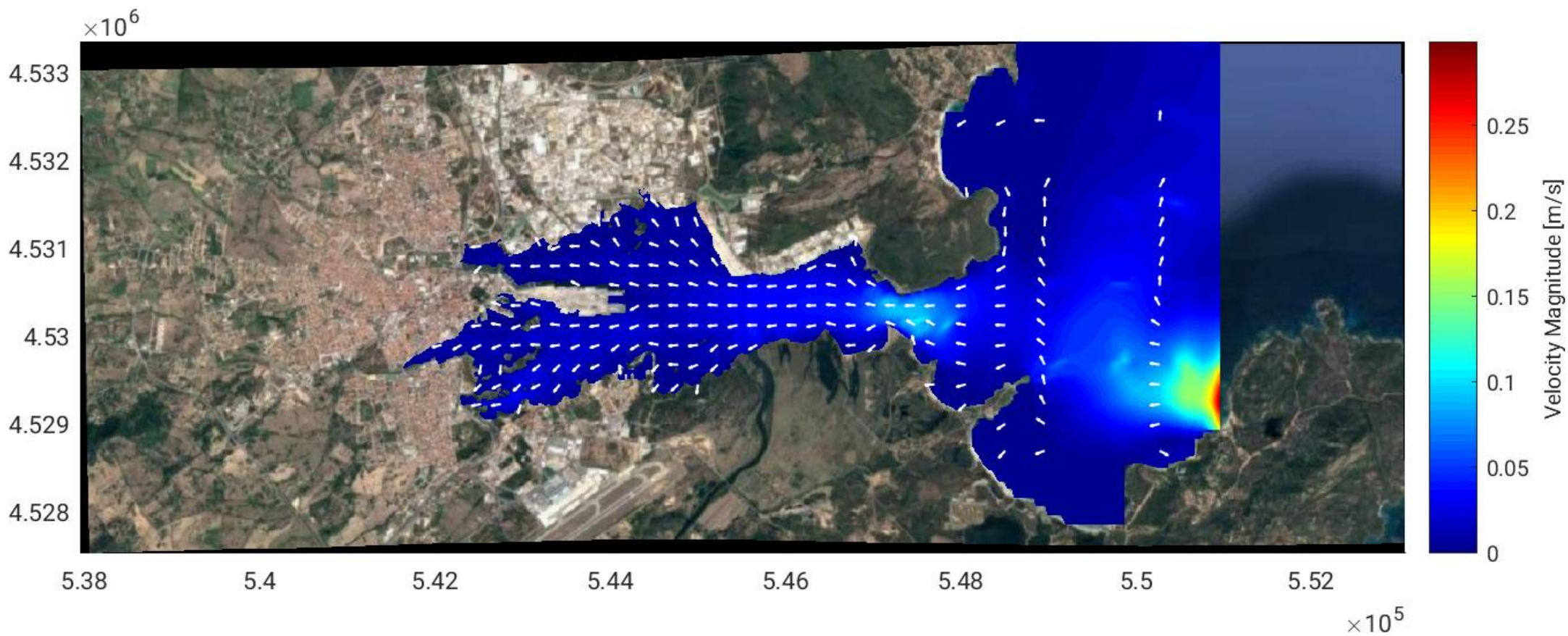


Figura 21: Rappresentazione del campo di velocità in corrispondenza di 4 istanti (6 - 12 - 18 - 24 - h) successive allo sversamento del tracciante [Scenario n. 14] –
 Figure 21: Représentation de la plage de vitesse à 4 instants (6 - 12 - 18 - 24 - h) après le déversement du traceur [Scénario n° 14].







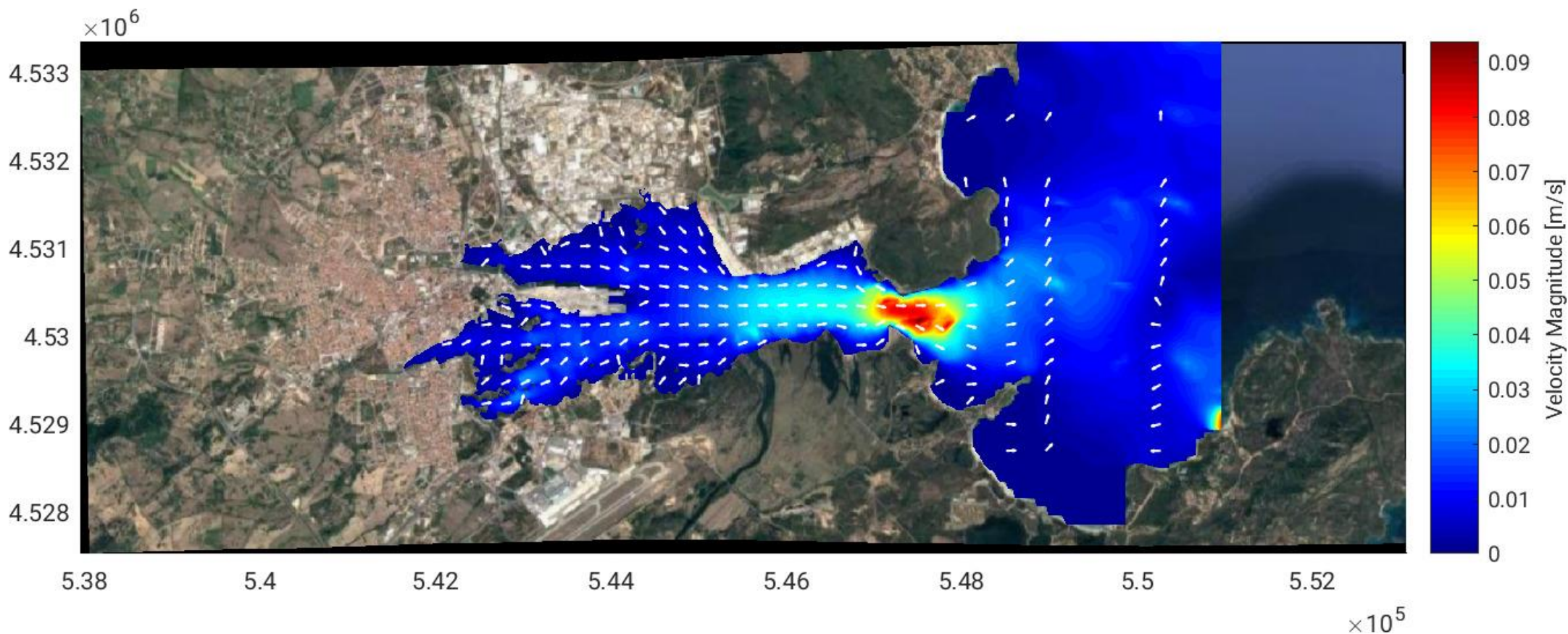


Figura 22: Rappresentazione del campo di velocità in corrispondenza di 4 istanti (6 - 12 - 18 - 24 - h) successive allo sversamento del tracciante [Scenario n. 16] –
 Figure 22: Représentation de la plage de vitesse à 4 instants (6 - 12 - 18 - 24 - h) après le déversement du traceur [Scénario n° 16].